

CONVOCATORIA DE CONFERENCIA
INTERNACIONAL DE INVESTIGACIÓN

EN TECNOLOGÍAS DE LA INFORMACIÓN Y COMUNICACIÓN

Y ESTUDIOS DE INVESTIGACIÓN EN EL ÁMBITO

DE LAS CIENCIAS SOCIALES Y HUMANAS

Y ESTUDIOS DE INVESTIGACIÓN EN EL ÁMBITO

DE LAS CIENCIAS SOCIALES Y HUMANAS

Y ESTUDIOS DE INVESTIGACIÓN EN EL ÁMBITO

DE LAS CIENCIAS SOCIALES Y HUMANAS

Y ESTUDIOS DE INVESTIGACIÓN EN EL ÁMBITO

DE LAS CIENCIAS SOCIALES Y HUMANAS

Y ESTUDIOS DE INVESTIGACIÓN EN EL ÁMBITO

DE LAS CIENCIAS SOCIALES Y HUMANAS

Y ESTUDIOS DE INVESTIGACIÓN EN EL ÁMBITO

DE LAS CIENCIAS SOCIALES Y HUMANAS

INVESTIGACIÓN

INVESTIGACIÓN

INVESTIGACIÓN

INVESTIGACIÓN

INVESTIGACIÓN

INVESTIGACIÓN

國際協力事業團	
受入 月日	'84. 4. + 3
登録No.	02448

TOMO VII - 1981

CONTENIDO

24. Fundición de La Oroya
CENTROMIN PERU
Estudio y Recomendaciones para
el Control de la Contaminación
Ambiental

ABRIL

25. Lima
Planta Piloto-UNI
Descripción de la Planta Piloto
donada por la Misión Japonesa de
Minería y su Operatividad.

JUNIO

CONVENIO DE COOPERACION TECNICA INTER-
NACIONAL ENTRE EL GOBIERNO DEL JAPON
Y EL GOBIERNO DEL PERU

Lima, Abril 1981

Los expertos de la Misión Japonesa de Metalurgia y Minería y los ingenieros del Ministerio de Energía y Minas e INGEMMET expresan su agradecimiento a la Empresa del Centro del Perú CENTROMIN-PERU , por las facilidades y apoyo brindado para el logro del presente trabajo.

**ESTUDIO Y RECOMENDACIONES PARA EL CONTROL DE LA
CONTAMINACION AMBIENTAL EN LA FUNDICION LA OROYA
CENTROMIN-PERU**

I. INTRODUCCION

El presente informe contiene los resultados y recomendaciones del ESTUDIO DE CONTAMINACION AMBIENTAL para resolver los problemas de emisión de polvo y gases en los HORNOS REVERBEROS DE COBRE Y PLATA DE ESPUMADO.

Los trabajos fueron efectuados por expertos de la Misión Japonesa de Metalurgia (JICA) ; Ingenieros : Kazuyoshi Inoue, Mototsugu Matsuno y Akira Hosoi ; Misión Japonesa de Minería (JICA) , Ingenieros : Kazuhiro Chimura y Nagayasu Taniguchi; del Ministerio de Energía y Minas , Ingeniero : Tomás Acero Rosales y del INGEMMET , Ingeniero : Héctor Gamero Ramírez.

Los trabajos en referencia se llevaron a cabo entre los días 30 de marzo al 10 de mayo 1981 , cumpliendo el Programa de Actividades del Convenio de Cooperación Internacional entre Perú y Japón correspondiente al citado año.

Este informe contiene 2 etapas para resolver los problemas de contaminación. El objeto es que CENTROMIN pueda escoger las soluciones de acuerdo a sus necesidades.

En la primera etapa se explica el método de resolver los problemas sin hacer grandes cambios ; asimismo se preparó un manual de operaciones para la prevención de emisión de

contaminantes mediante los equipos de absorción actuales, que los trabajadores deben practicar.

En la segunda etapa se presenta nuevos métodos drásticos adicionales para resolver estos problemas y estamos seguros que si CENTROMIN resuelve las dificultades actuales se producirá un aumento de la producción.

2. RECOMENDACIONES

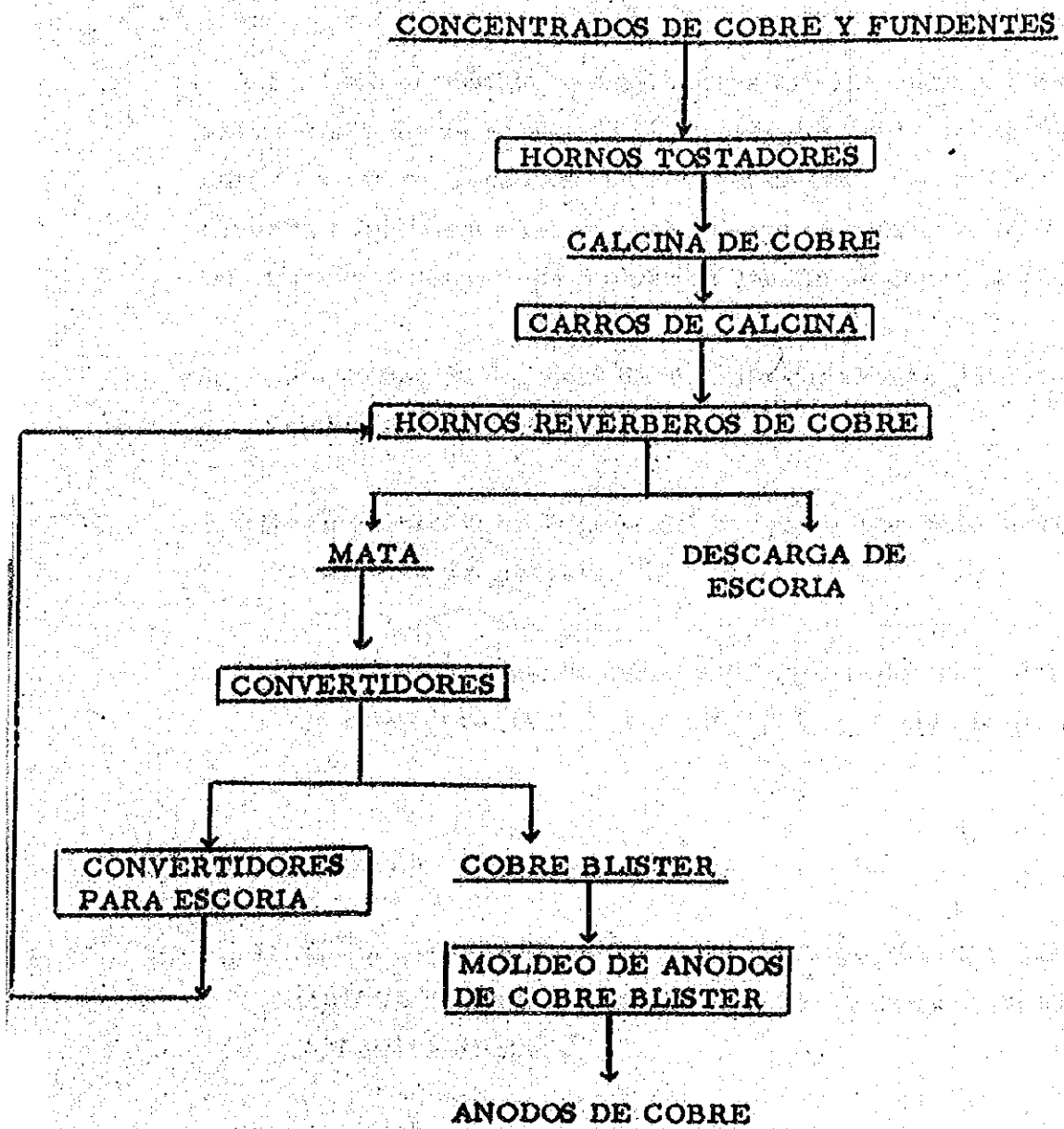
El propósito de estas recomendaciones es mejorar la protección técnica del área de trabajo sin cambiar los actuales equipos de producción, esto quiere decir que las recomendaciones serán muy fáciles de aplicar. Si estas recomendaciones no son suficientes para resolver los problemas del área de trabajo completamente y si Uds. esperan perfección en la solución de estos problemas, tienen que considerar cuidadosamente la sección número tres "advertencias adicionales". En la sección N°2 estas recomendaciones se refieren a métodos no solamente para disminuir la generación de polvo de calcina cuando esta es vaciada al horno reverbero del carro de calcina, sino también la disminución de la generación de humo y polvo cuando la mata y el plomo bullón crudo, en estado de fusión es descargado a las ollas de espumado de las tazas usando la grúa deslizante.

2.1. HORNO REVERBERO

2.1.1. El Problema de Contaminación del Ambiente por Polvo de calcina .

1. Operaciones en la Fundición de Cobre

1) RESUMEN DE OPERACIONES



La calcina proveniente de los hornos tostadores es transportado mediante carros calcineros y descargados en las tolvas de los hornos reverberos.

La mata producida mediante tazas se transfiere a los convertidores, donde se separa la escoria del cobre blister por adición de aire y fundente. La escoria de los convertidores es devuelta a los hornos reverberos. Luego el cobre blister es transferido al sistema de moldeo de ánodos de cobre blister.

2. Contaminación del Área de Trabajo durante la Descarga de Calcina al Horno Reverbero .

(1) Un problema es la generación de polvo de calcina al momento del cargujo.

(2) Constante escape de gases por la tolva de carga del horno reverbero (Ver Fotografía N° 1 y Tabla N° 1).

2.1.2. HORNOS REVERBEROS

1. IDEAS PARA RESOLVER LOS PROBLEMAS DE CONTAMINACION EN EL CARGUJO DE CALCINA A LOS HORNOS REVERBEROS.

(1) La presión interna de los hornos reverberos es casi cero, esto hace difícil disminuir la generación de polvo de calcina solo mediante la succión del sistema de ventilación actual, durante la carga de calcina.

(2) Recomendamos encerrar la operación de descarga de calcina del carro calcinero a las tolvas de los hornos reverberos utilizando el ventilador que actualmente funciona sobre el reverbero N° 1 , o instalando un sistema simple de ventilación para cada tolva. En total cuatro sistemas con solo 2 ventiladores.

La absorción de gas en el punto de emisión es la forma más económica y efectiva para resolver los problemas de generación de polvo. Luego recomendamos construir ambas platinas ubicadas fuera del riel de los carros calcineros. El objetivo de la platina ubicada a la izquierda es de cubrir varias pequeñas puertas para la operación de los trabajadores. La otra platina que llamaremos cubierta lateral se usará para la absorción del gas producido al momento de la descarga de calcina.

(Ver Fig. N° 1 A , Fig. N° 2 A,B, Fig. N° 3 A,B, Fig. N° 5 B .

(3) En relación a la recomendación (2) es necesario encerrar algunas partes del carro calcinero. Los detalles sistemáticos se muestran en la Fig. N° 2 , C .

(2) Es mejor construir las cubiertas con aberturas considerando la eficiencia de la absorción . Fig. N° 3 , B .

(5) El volumen de absorción de gases es aproximadamente 300 m³/min. para 2 bocas de la cubierta

lateral y para absorver la emisión de gases en la boca superior de la tolva del carro calcinero es necesario absorver aproximadamente 200 m³/min. para las tres campanas , considerando que siempre se usarán sola mente 2 campanas. El detalle se muestra en la Fig. N° 1 . D.

2. METODO DE CONTROL DE EMISION DE GASES DEL HORNO REVERBERO A TRAVES DEL SHUT DE CARGA DE CALCINA.

(1) Los trabajadores no cierran los shuts de volteo de carga casi siempre , por que el manipuleo de estas debe ser hecho en el 2 do. piso y ellos tienen que bajar. El problema puede ser fácilmente resuelto rediseñando el sistema, de tal manera que se puedan cerrar los shuts de carga en el piso de los carros calcineros . Además deberá practicarse el manual de trabajo preparado.

Fig. N° 4.

(2) Si no es suficiente el método (1) , anterior para resolver el problema. Recomendamos hacer llegar (soplar) aire del sistema de ventilación por medio de un ducto que descargue debajo del shut de volteo de carga, con el objeto de evitar el escape de gases del horno reverbero. . Fig. N° 4 . E .

2.1.3. MANUAL DE MANIPULEO DEL EQUIPO DE ABSORCION LOCAL

1. ANTES DE CARGAR

(1) Abrir la compuerta del lado izquierdo para permitir el paso del carro calcinero.

(2) Cerrar la compuerta del lado izquierdo después de colocar el carro calcinero en su posición de descarga.

(3) Cuando el conductor del carro calcinero sale de este, tiene que abrir la puerta pequeña de la compuerta situada en el lado izquierdo. Luego de bajar del carro calcinero tiene que cerrar la puerta pequeña.

(4) Abrir las compuertas de los shutes de calcina.

Fig. N° 4

(5) Luego de chequear las conexiones del ducto de absorción con la compuerta principal, debe cerrar la compuerta de control de flujo de aire en el ducto de extracción superior que no es necesario que trabaje. El detalle se muestra en la Fig. N° 1, D y Fig. N° 5 , B .

2. PARA DESCARGAR LA CALCINA

(1) Abrir la ventana pequeña situada en la compuerta principal del lado izquierdo, voltear la manivela para abrir la compuerta ubicada debajo de la tolva de calcina.

(2) Si los trabajadores necesitan limpiar la tolva de calcina del carro calcinero con barretilla, se permitirá abrir la puerta pequeña.

3. LUEGO DE DESCARGAR

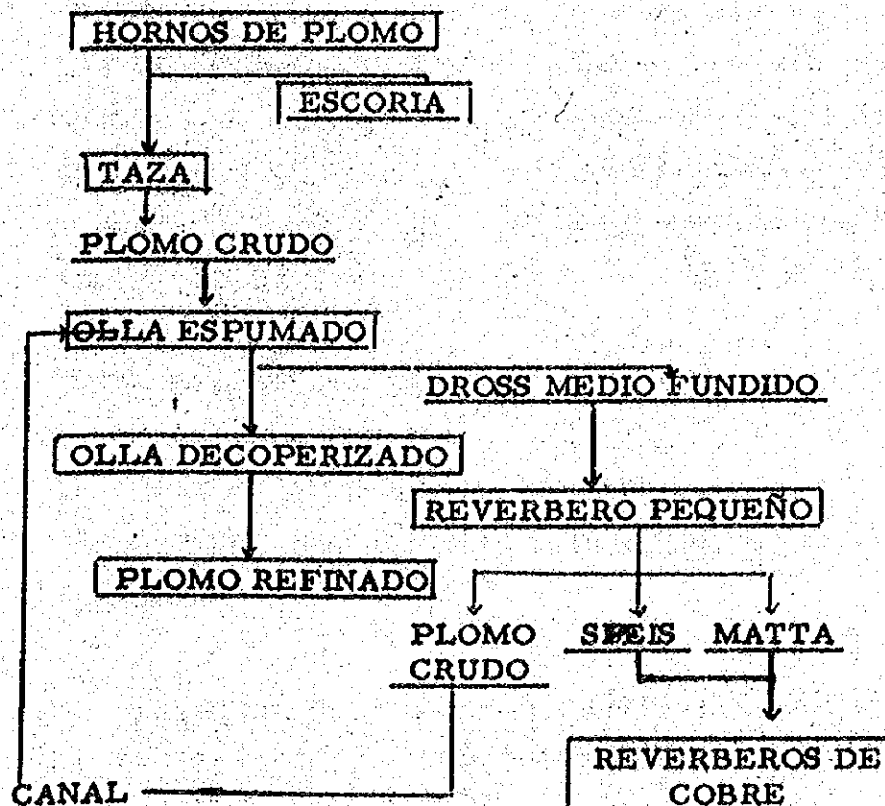
(1) Cerrar las compuertas de los shutes de calcina ubicadas sobre los hornos reverberos.

(2) Abrir la compuerta del lado izquierdo, para dejar salir libremente al carro calcinero.

2.2. Proceso de espumado de plomo

2.2.1. Problemas

1. RESUMEN DE OPERACIONES



El plomo crudo producido en los hornos de plomo es recibido en tazas y llevado al proceso de espumado de plomo crudo mediante una pequeña locomotora. A través de una grúa la taza es transportada hacia las ollas de espumado y descargan en ellas el plomo crudo y dross.

El dross de cobre es limpiado mediante una zaranda y grúa , luego el plomo crudo es bombeado a la olla de decoperizado y posteriormente a las ollas de moldeo.

El dross producto de la limpieza es cargado al horno reverbero de la planta.

2. Problemas del medio ambiente

Cuando descargan el plomo crudo de las tazas a las ollas de espumado, se desprende muchos gases inclusive polvo y humos metálicos. Inmediatamente el ambiente de trabajo empeora y la mayor cantidad de gases ataca la jaula de la grúa. Este es el más importante problema del proceso. (Ver Fot. N° 2 y Tabla N° 2).

3. Problemas para resolver

- a) La grúa tiene solamente un cable principal ello no permite la estabilidad de la taza al enrrollar el cable.
- b) La técnica de operación no es buena, la operación es muy brusca, debe hacerse con mucho cuidado.
- c) Los trabajadores no tienen voluntad de mejorar a pesar del ambiente contaminado, nosotros no podemos mejorar ello.
- d) Si preparamos un plan detallado de operación , tal vez los trabajadores no puedan cumplirlo. Los trabajadores no operan correctamente los sistemas de ventilación. De otro lado el mantenimiento de los sistemas de

de ventilación, no es bueno. Buscaremos un plan considerando estos problemas y prepararemos la operación standar de nuestro método. Además de ello, es necesario entrenar a los trabajadores para lograr un mejor ambiente de trabajo, este es un asunto muy importante.

2.2.2. RECOMENDACIONES PARA CONTROL AMBIENTAL

Es difícil eliminar la emisión de gases totalmente, sin embargo proponemos su extracción con campanas. De acuerdo a la información obtenida de los operadores de la planta, presentamos un plan de trabajo concreto. Se muestra el diseño de la campana en la Fig. N° 6. La campana se colocará en el borde de la olla, esta tiene una abertura en un lado, en esa parte será colocada la taza conteniendo plomo mediante la grúa de donde será vaciada a la olla.

En la Fig. N° 7 se muestra la vista de lado del sistema (campana y taza). La parte frontal de la campana debe ser móvil y con contrapeso. Las recomendaciones son que el operador de la grúa evite golpear la placa móvil (puerta móvil), que lo inutilizaría y de otro lado es necesario que la taza pueda moverse hacia adelante manteniendo sellada la abertura de carga.

En la Fig. N° 8 se muestra la vista de plano de la Fig. N° 7 .

En la Fig. N° 9 se muestra la ubicación de la descarga de plomo crudo y la emisión de gases.

En la Fig. N° 10 se muestra la vista de plano y la posibilidad de la campana y taza. La separación entre las asas de la olla y paredes laterales de la campana deberá ser de aproximadamente 400 a 500 mm.

Para ayudar a colocar la campana en su posición exacta, debe colocarse 2 postes de fierro y una platina guía en la campana (Ver Fig. N° 11) los cuales facilitarán el manejo de la campana con la grúa y evitarán su movimiento.

El ducto de extracción de gases estará conectado al ducto principal de ventilación de la planta mediante una junta móvil y estará conectada a la campana moviéndose sobre sí misma. Este ducto de extracción de gases podrá ser usado para las ollas N° 5 y N° 6. La Fig. N° 12 muestra los detalles de las conexiones. Los gases deben ser extraídos mediante ventilador y lavados con agua, el método de tratamiento de gases debe ser estudiado por técnicos de la Empresa.

(Sigue Pag. siguiente)

De los datos de capacidad de extracción de gases del sistema que funciona en HORNOS DE PLOMO, se concluye que disponen de un flujo suficiente 17,967 pies³/min. Esta es una forma apropiada para extraer los gases de las ollas de dross , pero es necesario comprobar la existencia de presión, y flujo de aire previamente.

2.2.3. MANUAL PARA MANIPULEO DE CAMPANA

1. COLOCACION DE CAMPANA

1.1. Coger la campana mediante los cable de manipuleo con la ayuda de grúa.

1.2. Levantar la campana con la grúa lentamente y llevarla sobre la olla.

1.3. Bajar la campana lentamente y colocar aproximadamente en su posición correcta, levantar y bajar otra vez a lo largo de los postes guía manteniendo el contacto entre el tope de campana y el poste guía. Con estas operaciones la campana quedará colocada justamente .

1.4. Bajar un poco el gancho de grúa para quitar (deseñanchar) los cables para el manípuleo de la campana.

2. INICIO DE EXTRACCION DE GASES

2. 1. Girar el ducto móvil de extracción de gases, ajustar el extremo del ducto a la de entrada fija ubicada en la campana.
2. 2. Si se ha instalado un ventilador exclusivo arrancar el motor.
2. 3. Abrir los controles de flujo (reguladores manuales) ubicados en el ducto sobre la campana y en el ducto móvil. Al finalizar estas operaciones los gases comenzarán a ser extraídos.

3. DESCARGA DEL PLOMO CRUDO EN LA OLLA

3. 1. Levantar la taza del carro transporte
3. 2. Con ayuda de grúa transportar la taza hasta colocarla en la prolongación de la línea central de la olla (paralela al puente de la grúa), conservando una altura aproximada de 20 a 30 m. sobre el borde de la olla. Marcar en el piso con pintura esta posición.
3. 3. Transportar la taza hacia la olla hasta colocarla en posición tal que el integro de la taza esté sobre la olla, a la altura antes mencionada.
En este momento es recomendable que los cables de la grúa estén muy cerca de la puerta móvil de la campana.

3.4. Inclinar la taza con el cable secundario de la grúa, vaceando el plomo crudo dentro de la olla.

3.5. Al término del vaceado del plomo crudo, regresar la taza a su posición horizontal y llevarla hacia atrás manteniendo la línea horizontal. Después de esta operación el carguío ha finalizado.

4. OPERACIONES FINALES

4.1. Cerrar los controles de flujo de ventilación y regresar a su posición inicial los ductos de ventilación.

4.2. Cuando la olla esté llena de plomo crudo. Transportar la campana con la grúa a una posición que no cause molestias a otros trabajos. Es recomendable colocarla sobre la otra olla, si ello no va causar interferencias en el trabajo normal.

3. RECOMENDACIONES ADICIONALES PARA RESOLVER ESTOS PROBLEMAS

3.1. Sistemas de carguío del horno reverberos y transporte de calcina.

3.1.1. EN CASO DE USAR CARRO CALCINERO

El propósito es impedir la formación de puentes en la tolva del carro calcinero e impedir la formación de polvo de calcina.

1. REMOCION DE TERRONES :

Una de las razones de formación de puentes son los terrones contenidos en la calcina. Algunos ladrillos de los tostadores se observaron al momento de descargar al horno reverbero. Debe investigarse la forma de remover estos terrones y trozos de ladrillos antes de cargar el carro calcinero en la planta de tostación.

2. Modificación de la posición de cargado al horno reverbero.

La calcina es cargada del techo del horno reverbero al fondo del shut de carguío. En este momento la presión de gas será ligeramente positiva y el flujo de aire se dirige hacia arriba a través del shut. De tal modo que es difícil impedir la emisión de gases que suben a través del shut de carga.

Pero en la pared lateral del horno reverbero la presión de gas usualmente es negativa . Cambiando el lugar de descarga del ducto de calcina al costado del horno sería mejor para prevenir la emisión de gases en este shut debido a que se puede utilizar esta presión negativa.

Usando este método , la presión del interior del shut es mantenida siempre negativa y el problema de emisión de gases será resuelta.

En La Oroya como los shutes de carga están situadas a ambos lados del techo no es necesario por tanto hacer una gran reconstrucción.

3.1.2. EN CASO DE NO USAR CARROS CALCINEROS

Cargado y transporte sin generar emisión de polvo

1. Transporte de calcina de los tostadores a los hornos reverberos

A) Para utilizar el transporte neumático de la calcina. Hay gran distancia, cerca de 300 metros de los tostadores a los hornos reverberos, por tanto pensamos que el transporte neumático es lo mejor para evitar la emisión de gases porque la gravedad específica de la calcina es apropiada para el transporte neumático. En este caso es necesario remover los ladrillos y desmenuzar los terrones de calcina. Para el transporte neumático de calcina es necesario utilizar equipo adecuado ; esto es tolvas, ciclones y precipitador electrostático.

Este sistema de transporte es un poco caro de construir y difícil de operar en comparación con el actual sistema, pero es el mejor camino para prevenir la emisión de gases.

3.2. Recomendaciones Adicionales para Resolver los Problemas de Contaminación en la Planta de Dross.

Se han observado 2 problemas principales de contaminación :

- Descarga de plomo crudo en las ollas N° 5 y N° 6 .
- Carga de dross en el horno reverbero

RECOMENDACIONES

- Instalar 2 nuevas ollas de espumado (Drosing) en el área exterior de los Hornos de Plomo , N° 1 , N° 2 .
- El plomo de los tanques de escoria de los Hornos N°1 , N°2 será conducido por medio de un canal a las nuevas ollas de espumado , que serán similares a las usadas en la planta de dross.
- El dross de cobre será sacado mediante una máquina especial para limpiar el dross de la superficie de la olla.

- Cada olla tendrá una campana para control de contaminantes y será movida por la máquina para quitar el dross . El modelo y diseño de esta máquina puede ser solicitado por CENTROMIN-PERU a TOHO ZINC CO. LTD.
- El dross producto de la limpieza de las ollas, será descargado en un vibrador enfriado con agua, luego podrá pasar por una zaranda y posteriormente mediante faja transportadora directamente descargado en el horno reverbero de la planta de dross.

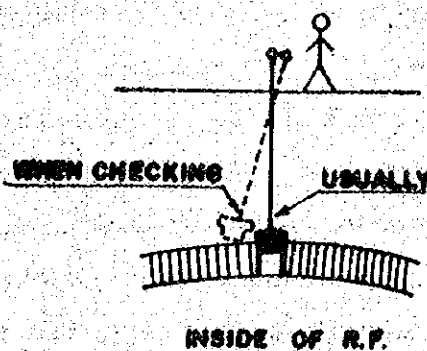
3.3. PREVENCION DE ESCAPE DE AIRE

Después de visitar el piso de carga de hornos reverberos, hornos convertidores y hornos de plomo y observar las operaciones , llegamos a las siguientes conclusiones :

Una de las causas que empeoran el ambiente de trabajo es la existencia de múltiples fugas de aire. El sistema de ventilación tiene una gran capacidad pero una gran cantidad de gases producidos se escapan. Como resultado de estas fugas de aire se pierde mucho de la capacidad del sistema de ventilación . Luego disminuyendo las fugas de aire , aumentará la capacidad de extracción de gases y mejorará el medio ambiente de trabajo en cada una de las fuentes de contaminación actual. Estos son problemas importantes que CENTROMIN deberá resolver para cumplir nuestras recomendaciones.

A. HORNO REVERBEROS

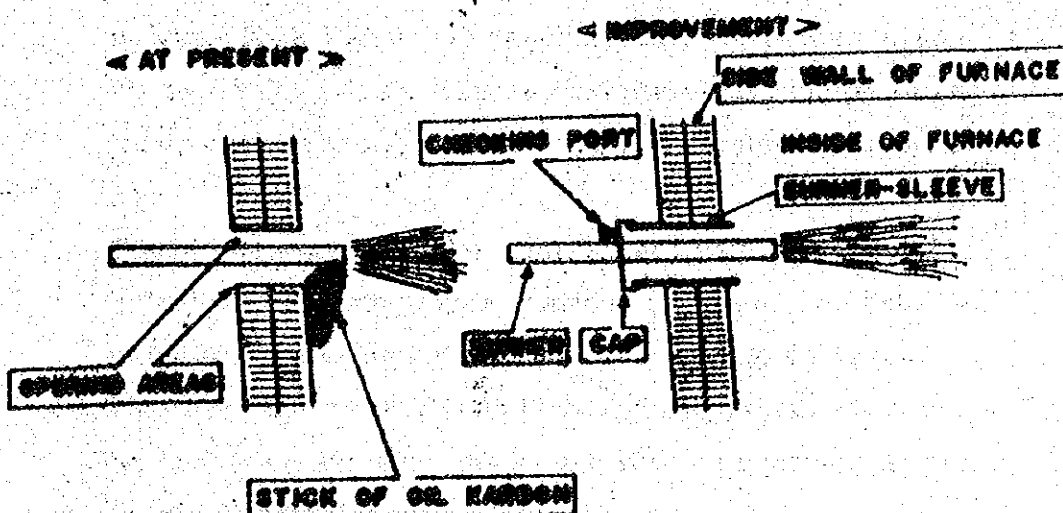
- 1) Los trabajadores siempre olvidan o no cumplen con cerrar las compuertas de entrada de carga de caliza al Reverbero. Estas compuertas deben ser cerradas tan pronto termine la operación de carga.
- 2) El actual sistema de ventilación que funciona sobre el horno Reverbero N° 1 , no controla los gases debido a que el diseño deja espacios abiertos muy grandes . Opinamos que estos espacios libres deben ser reducidos para mejorar la velocidad de succión en estas partes.
- 3) Existen muchos intersticios entre los ladrillos del techo de los reverberos, lo mismo que aberturas usadas para el control del nivel de mata . Estos intersticios deben ser selladas con el mismo material que están hechos los ladrillos y las aberturas para el control del nivel de mata deben ser cerrados con un tapón, cuyo diseño se muestra en el siguiente dibujo :



4) El área libre alrededor de los quemadores, es usada para observar el interior del horno y limpiar el material adherido al quemador. Estos espacios abiertos no son convenientes para la fundición, ocasionan pérdidas de calor y interfieren con la ventilación.

Para mejorar la eficiencia (combustibilidad) de los quemadores es necesario instalar mangas de quemador que resolverán el problema.

El diseño se muestra en el dibujo siguiente :



5) La pendiente del canal de descarga de mata es muy pequeña. Algunas veces la mata no puede discurrir y se queda en el canal. Por esta razón los trabajadores siempre abren las campanas ubicadas sobre el canal para observar, ocasionando disturbios en la ventilación. La eficiencia de la captación de contaminantes por esta razón es extremadamente mala. Esto debe ser estudiado con más detalle.

B. HORNOS CONVERTIDORES

Los espacios abiertos entre la campana de succión y la boca del horno convertidor son muy anchos. Es necesario mejorar el diseño de la forma de la campana de tal manera que se logre sellar estos espacios libres.

C. PISO DE CARGA DE HORNOS DE PLOMO

Con el propósito de controlar la emisión de gases , el método de sellado con los materiales de carga (sinter, coke y otros) es usado generalmente . Pero en el caso de La Oroya, se forman costras alrededor de la entrada esto causa disturbios en la supresión de gases.

Cuando se remueven las costras el nivel de material baja y se produce mayor cantidad de gases, en este momento debe aumentarse el tiraje (flujo de ventilación) manualmente. CENTROMIN no dispone de este control , siempre se move una misma cantidad de aire por el sistema de ventilación .

Es muy importante para el mejoramiento del control ambiental, proyectar o preparar el correcto método de operación de la planta.

D. FUGAS DE AIRE DE DUCTOS DE VENTILACION

Es necesario constatar el buen estado de los ductos de ventilación especialmente clausurar los huecos y fugas por donde se pierde presión . En la fundición

La Oroya es muy importante ejecutar el mantenimiento de todos los equipos de ventilación, por que las instalaciones se han construido hace muchos años.

4. MISCELANEAS

4. 1. Comparación con las recomendaciones de la Misión Japonesa anterior

Estas recomendaciones son casi las mismas que las hechas por la anterior misión japonesa en lo referente a los métodos de control ambiental para la solución de estos problemas.

Sin embargo hay algunas diferencias en el contenido , las cuales son , las dimensiones explicadas , son más cercas a lo real y más detalladas.

En consecuencia , esta misión ha discutido con ingenieros no solo del departamento de seguridad sino de la sección de operaciones en varias oportunidades sobre el estado de métodos de investigación y planeamiento , resueltos los problemas y luego de haber conseguido la aceptación para construir estos simples equipos con ellos. Esperamos que construyan los equipos simples aconsejados por la misión tan pronto como sea posible.

Estas recomendaciones son hechas teniendo en cuenta lo más fácil de contruir y poner en práctica y también bastante fácil de manipular por los trabajadores que sigan el manual de operaciones, no incluyendo la técnica moderna del Japón.

4.2. Recomendaciones sobre como lograr la solución de los Problemas en la fundición La Oroya .

Nosotros creemos que es posible que el Departamento de Seguridad de la Fundición La Oroya con más celo podría resolver los diferentes problemas existentes.

Sin embargo observamos cierta indiferencia en la comprensión de los problemas entre los ingenieros de operación y del Departamento de Seguridad que no discuten los problemas entre los ingenieros de planeamiento, seguridad y operación.

Creemos que los ingenieros de las distintas secciones trabajan muy independientemente por lo que recomendamos que ante cada problema se reunan y discutan hasta lograr resolverlo. Además hay falta de entrenamiento de los trabajadores quienes no practican un manual de operaciones.

Si nosotros construimos equipos para resolver los problemas desde su origen no tendremos éxito si no entrenamos al personal para que siga un manual de operaciones.

Pensamos que el Departamento de Seguridad debería tener más influencia en las operaciones , para ello los ingenieros del Departamento de Seguridad deberán estudiar más para lograr un mayor conocimiento de las operaciones de la Fundición La Oroya, lo que proponemos será el camino más corto para lograr éxito y evitar la causa de los problemas.

De todas maneras desde el punto de vista de la solución de los problemas en la Fundición La Oroya nos gustaría decir que por favor pongan atención a los demás problemas que tienen. Refiriéndonos a nuestras recomendaciones deben resolver los problemas paso a paso tan pronto como sea posible.

Finalmente esperamos continuar colaborando lo suficiente con todas las Organizaciones que tengan relación con J. I. C. A.

5. CONCLUSIONES

Las recomendaciones de esta Misión no incluyen grandes modi~~ficaciones~~ como la reconstrucción de plantas de la fundición.

Es posible poner en práctica las recomendaciones y es lo más efectivo para resolver la emisión de contaminantes. Al poner en práctica las recomendaciones debe educarse a los trabajadores a seguir los manuales de operación escritos en este informe.

En el capítulo 3 de este reporte anotamos advertencias adicionales para resolver los problemas.

Esta Misión, ha tratado de utilizar las más nuevas técnicas utilizadas en Japón .

Sin embargo el primer punto para resolver los problemas de emisión , es necesario educar a los trabajadores para que respeten y cumplan el manual de operaciones a fin de usar los presentes equipos adecuadamente.

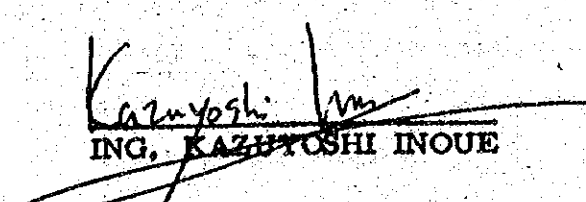
Como segundo punto es necesario crear en todos los supervisores y trabajadores una conciencia de Seguridad e Higiene Industrial , ellos siempre deben pensar en mejorar o mantener las mejores condiciones de trabajo.

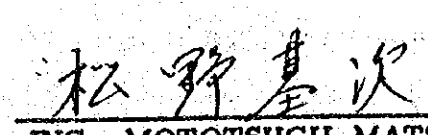
Sin esta forma de pensar, ninguna recomendación va conducir al éxito permanente.

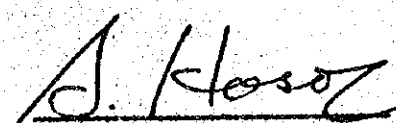
TAR/lat

JAPAN INTERNATIONAL COOPERATION AGENCY

MISION JAPONESA DE METALURGIA


Kazuyoshi Inoue
ING. KAZUYOSHI INOUE


Mototsugu Matsuno
ING. MOTOTSUGU MATSUNO


Akira Hosoi
ING. AKIRA HOSOI

TAR/lat

ANEXOS

RESULTADO DE LAS MEDICIONES DE POLVO EN EL PISO DE CARGA DEL HORNO REVERBERO

Para la medición de polvo de calcina en el piso de carga del Horno Reverbero de Cobre N° 1 , se utilizó el MEDIDOR DIGITAL DE POLVO, y para la corrección de los datos se empleó el MUESTREADOR DE AIRE DE BAJO VOLUMEN. El factor de Corrección hallado fue 7.0 .

LUGARES DE MUESTREO

En la Fig. N°.13.. se anotan los puntos de muestreo en el piso de carga del horno reverbero N° 1 . Las 8 muestras se tomaron debajo de las campanas de extracción y al costado de los rieles , donde usualmente permanece el operador del carro calcinero. Todas las mediciones fueron hechas en momentos que no descargaban calcina.

RESULTADO DE MEDICIONES

Nº Medición	Datos del medidor digital mg/m ³	Datos finales corregidos mg/m ³
1	2.5	17.5
2	6.43	45.0
3	1.24	8.7
4	1.31	9.2
5	5.81	40.7
6	2.36	16.5
7	0.98	6.9
8	0.82	5.7

T A B L A N° 1

CONCLUSIONES

Considerando el límite permisible para polvo establecido en el Perú de 5 mg/m^3 , los resultados muestran que las condiciones ambientales en el piso de carga del horno reverbero N° 1 que dispone de campanas de extracción es muy mala generalmente. Al momento de descarga de calcina la concentración de polvo es insopportable, asumimos que es aproximadamente 100 mg/m^3 .

2. RESULTADOS DE LAS MEDICIONES DE POLVO EN LA PLANTA DE DROSS

La técnica de muestreo empleada fue la misma que en los hornos reverberos. El factor de corrección hallado fue 23.1., debido a la densidad del polvo.

LUGARES DE MUESTREO

En la Fig. N°. 14., se muestran los lugares de muestreo en la Planta de Espumado.

Las mediciones 1, 2, 3, y 4 fueron efectuadas en condiciones comunes de trabajo y la 5 y 6 durante la carga de dross al horno reverbero y fundición de ánodos usados en la olla N° 7. No se muestreó al momento que descargaban plomo crudo a las tazas, debido a la gran emisión de gases y polvo en ese momento.

RESULTADOS DE MEDICIONES

N° Medición	Datos del Medidor digital mg/m ³	Datos finales corregidos mg/m ³
1	0.72	76.6
2	1.01	23.3
3	2.19	50.6
4	0.61	14.1
5	1.06 *	24.5 *
6	3.80 **	87.8 **

TABLA N° 2

- * Muestra efectuada en el piso de carga del horno reverbero, en el momento de carga.
- ** Muestra cerca a la olla N° 7 durante el fundido de ánodos de plomo usados.

CONCLUSION

Las condiciones ambientales de trabajo en la planta de dross son muy malas en todo momento. Asumimos que en los peores momentos la concentración de polvo sobre pasa los 100 mg/m^3 .

FIG. 1 - SIDE FIGURE OF CALCINE CARRIER

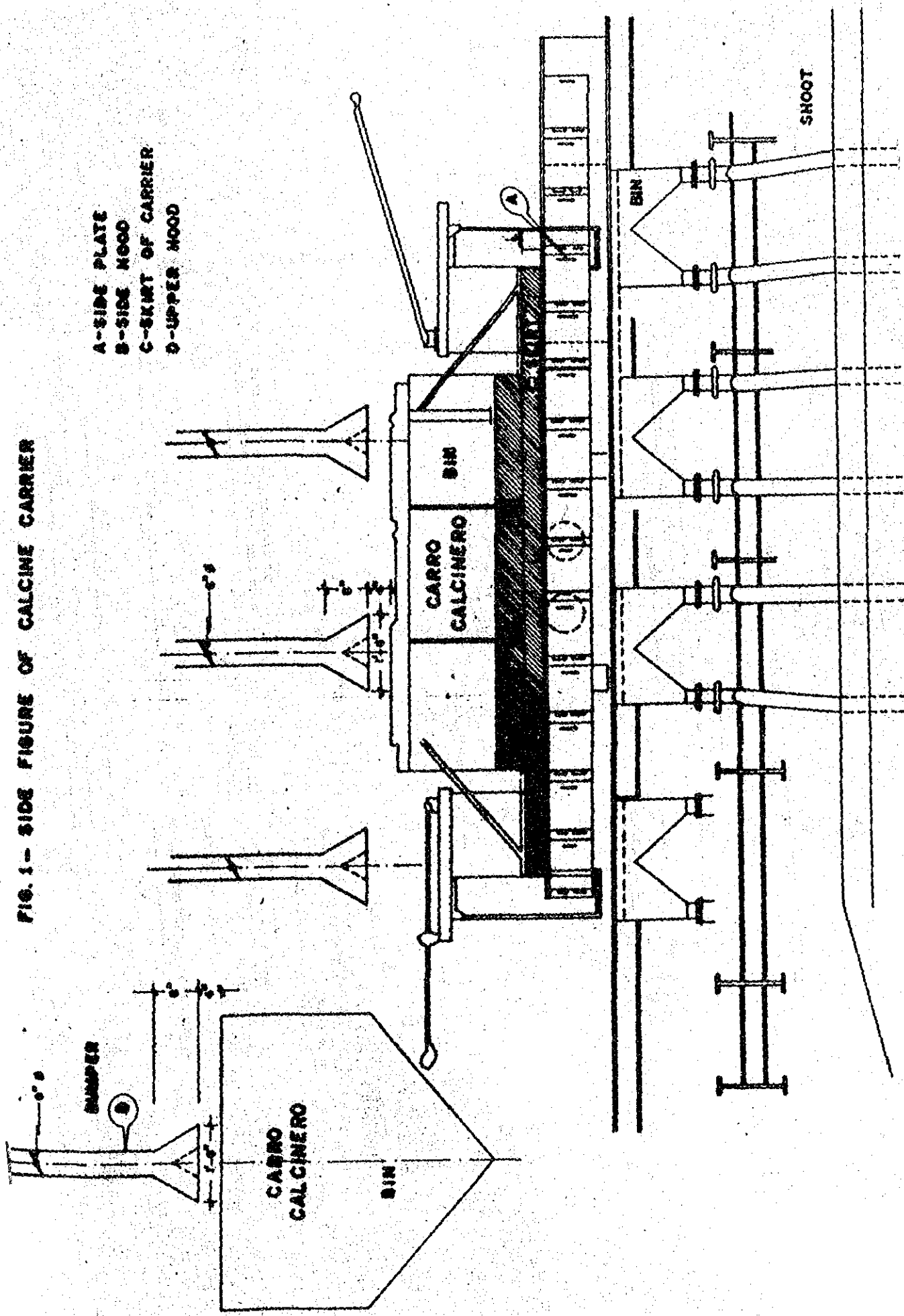
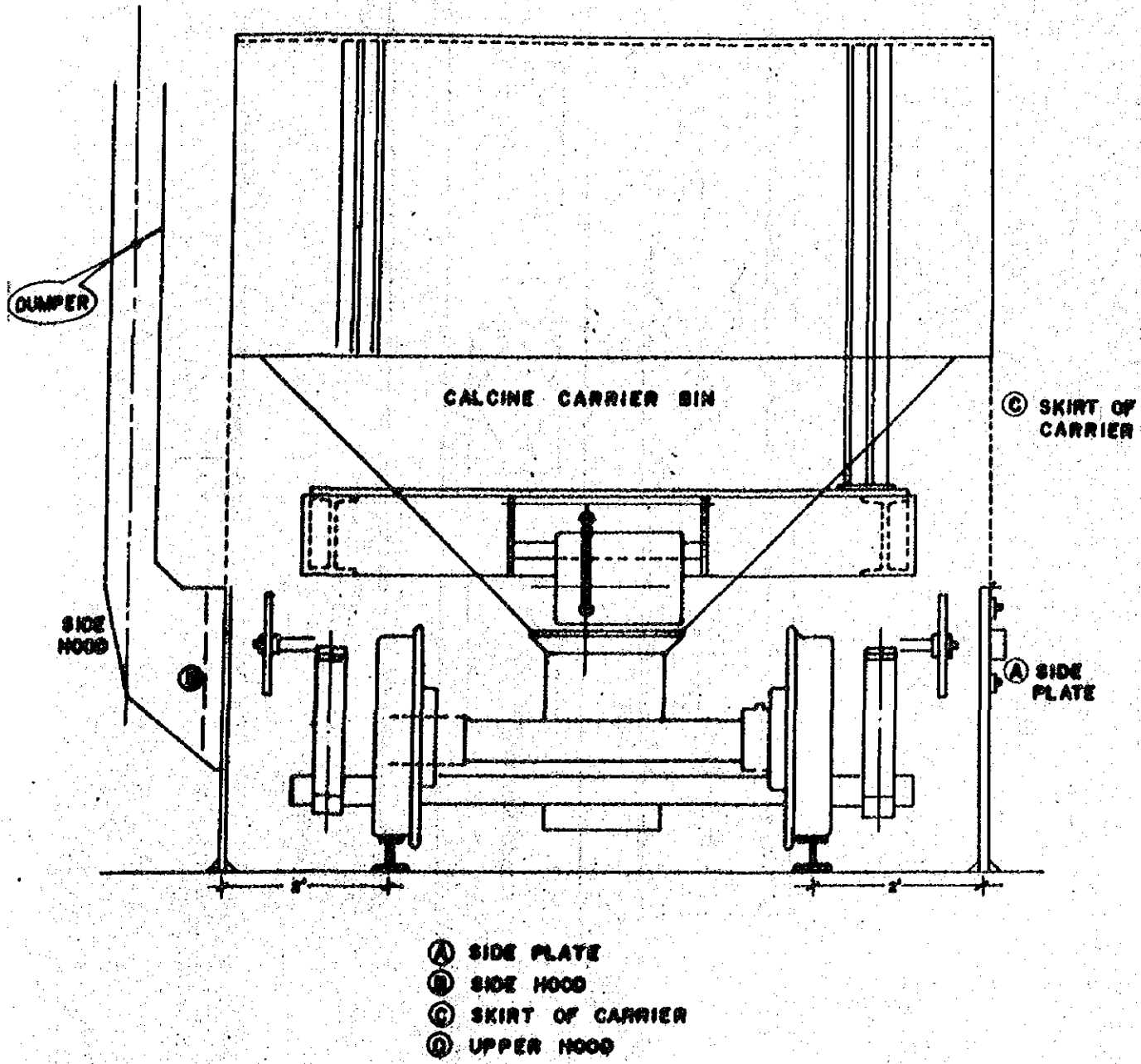


FIG. 2 - VERTICAL FIGURE OF CALCINE CARRIER



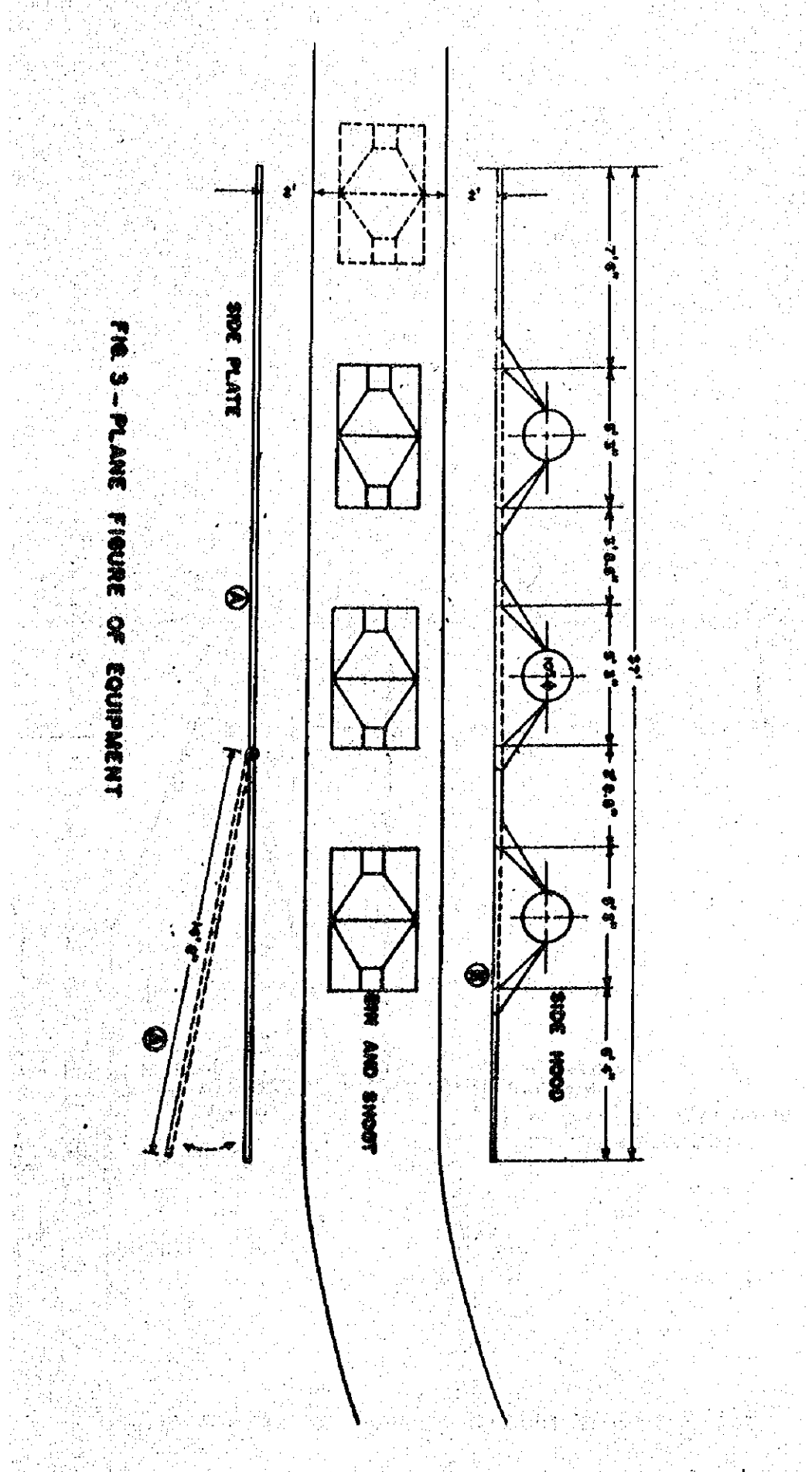


FIG. 3 - PLANE FIGURE OF EQUIPMENT

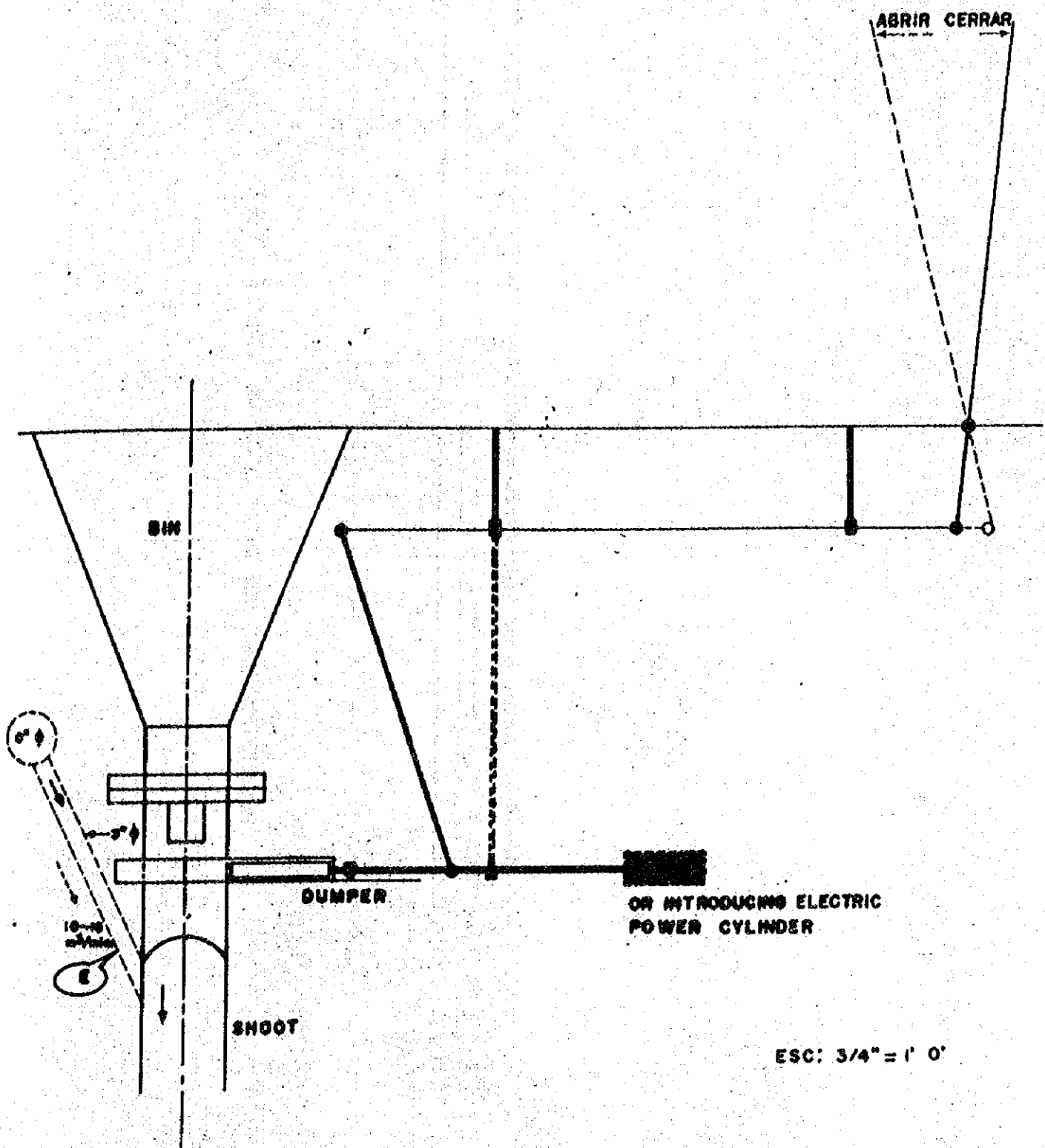


FIG. 4 - FIGURE OF DUMPER HANDLE MODIFICATION

FIG. 5 - FIGURE OF SIDE HOOD ON EQUIPMENT

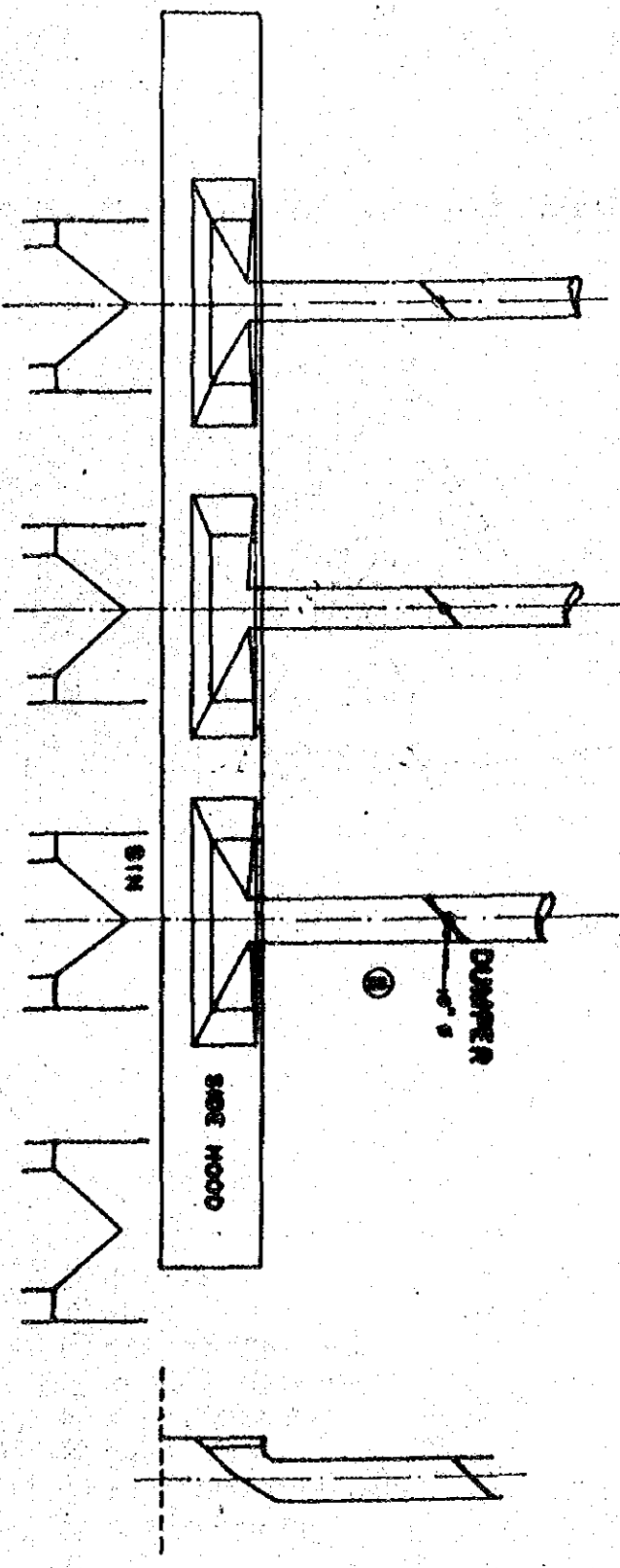
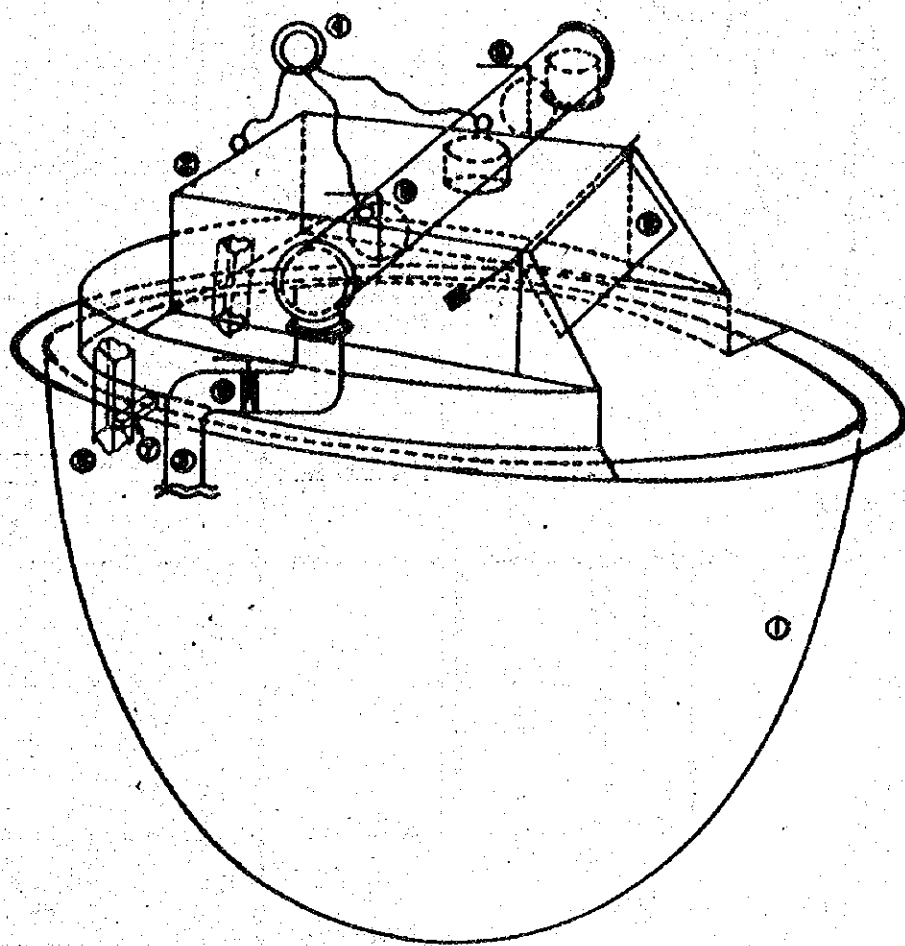


FIG. 6 - THE SKETCH OF HOOD AND KETTLE



- ① KETTLE
- ② HOOD
- ③ GAS DRAWING PIPE
- ④ HANGING INSTRUMENT
- ⑤ HANDY DUMPER
- ⑥ FIXED POST
- ⑦ BAR FIXED WITH HOOD
- ⑧ MOVEABLE HOOD

FIG. 7 - A SIDE VIEW OF HOOD AND POT

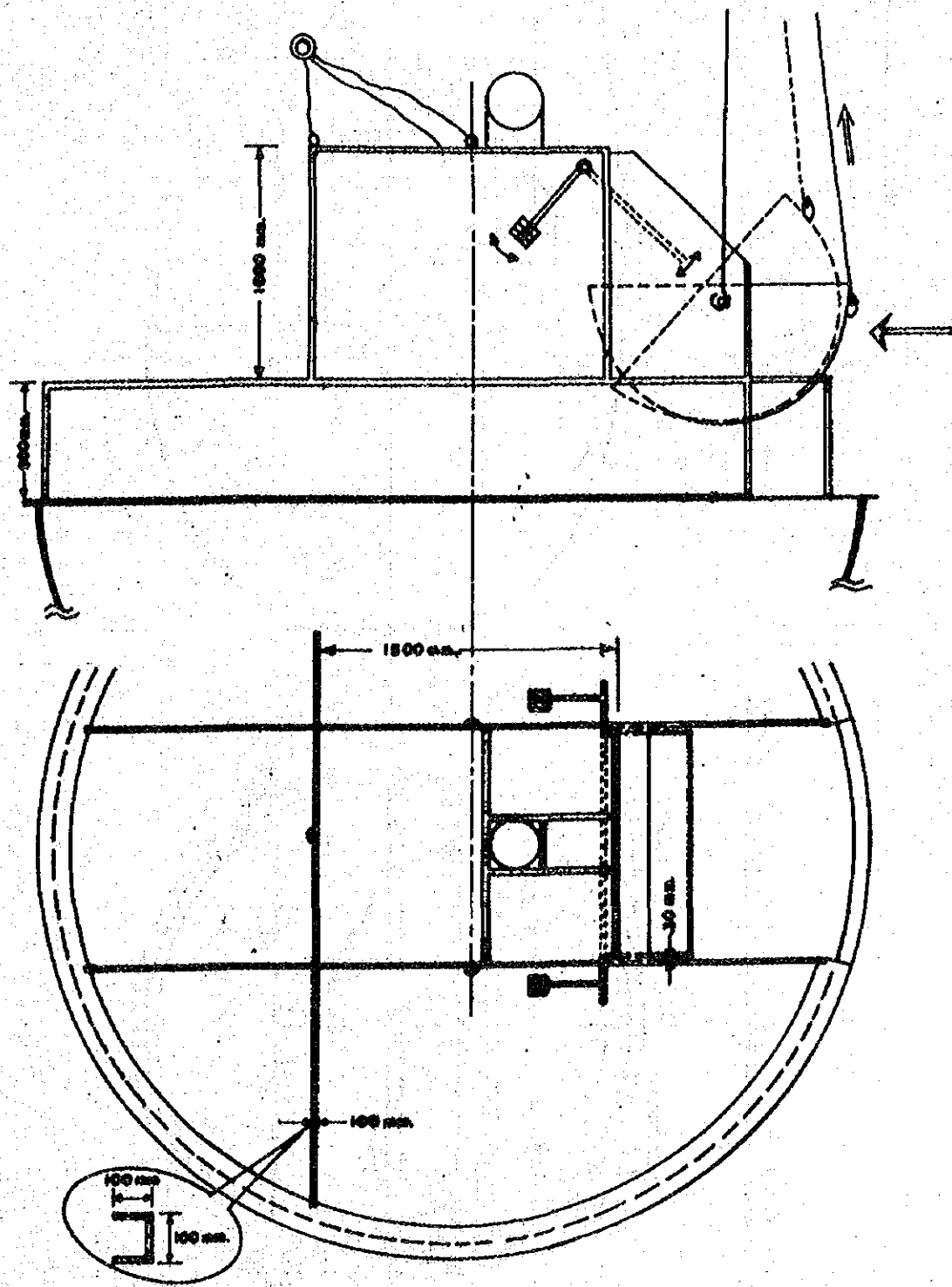


FIG. 8 - A PLANE OF VIEW FIG. 7

FIG. 9 - SITUATIONS OF POURING OF CRUDE-LEAD AND DRAWING GASES

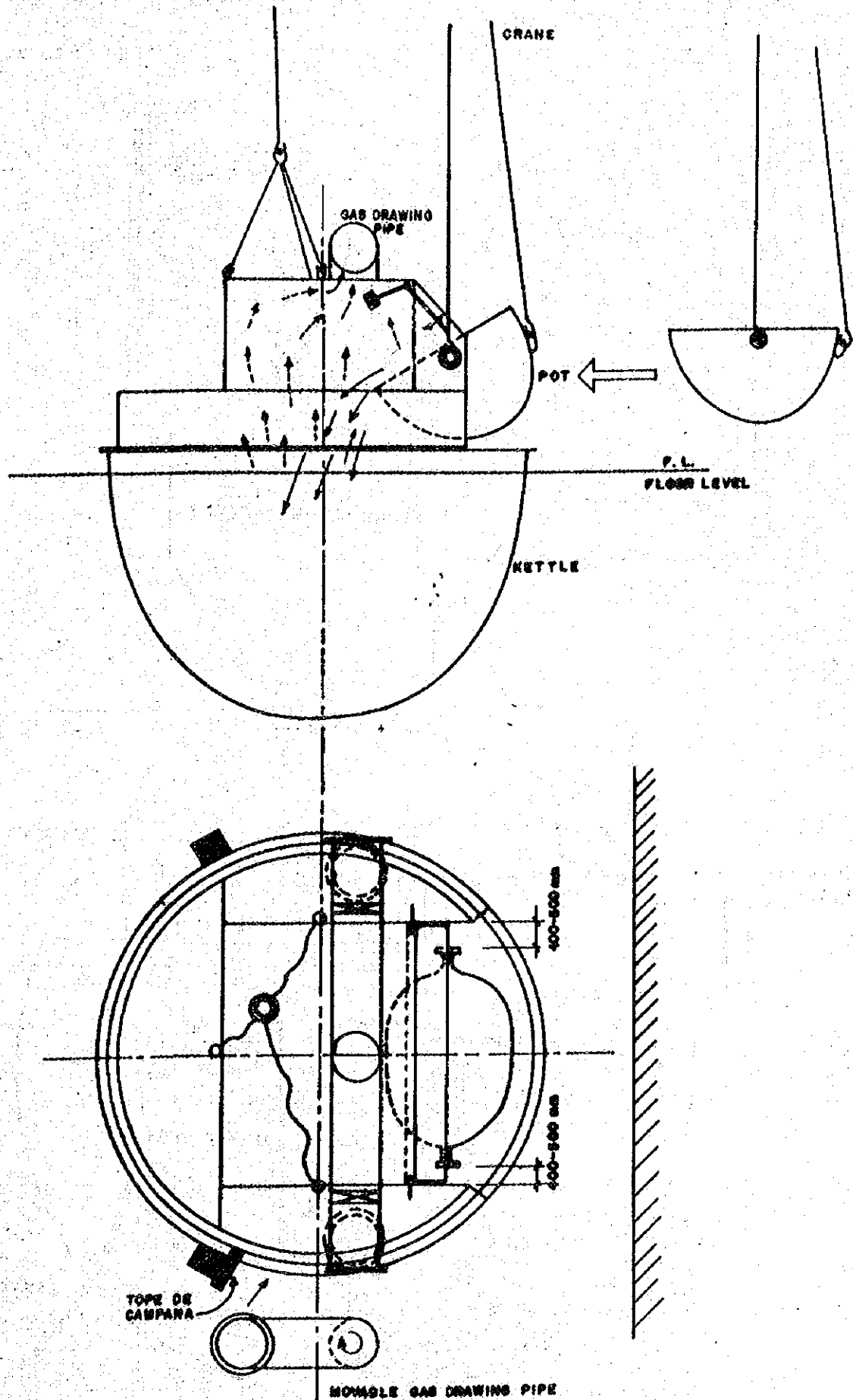
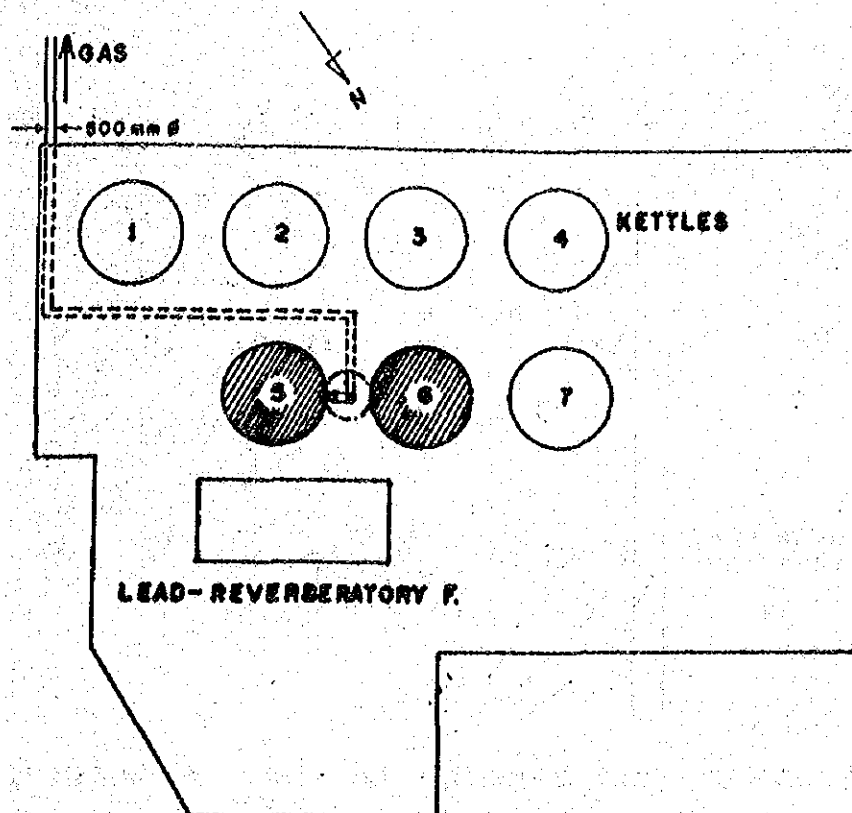


FIG. 10 - A PLANE FIGURE OF POSITIONAL RELATIONS ON HOOD AND POT

FIG. II - A PLANE FIGURE OF KETTLE ARRANGEMENT AND THE POSITION OF GAS DRAWING PIPE.

VISTA DE PLANTA



VISTA FRONTAL

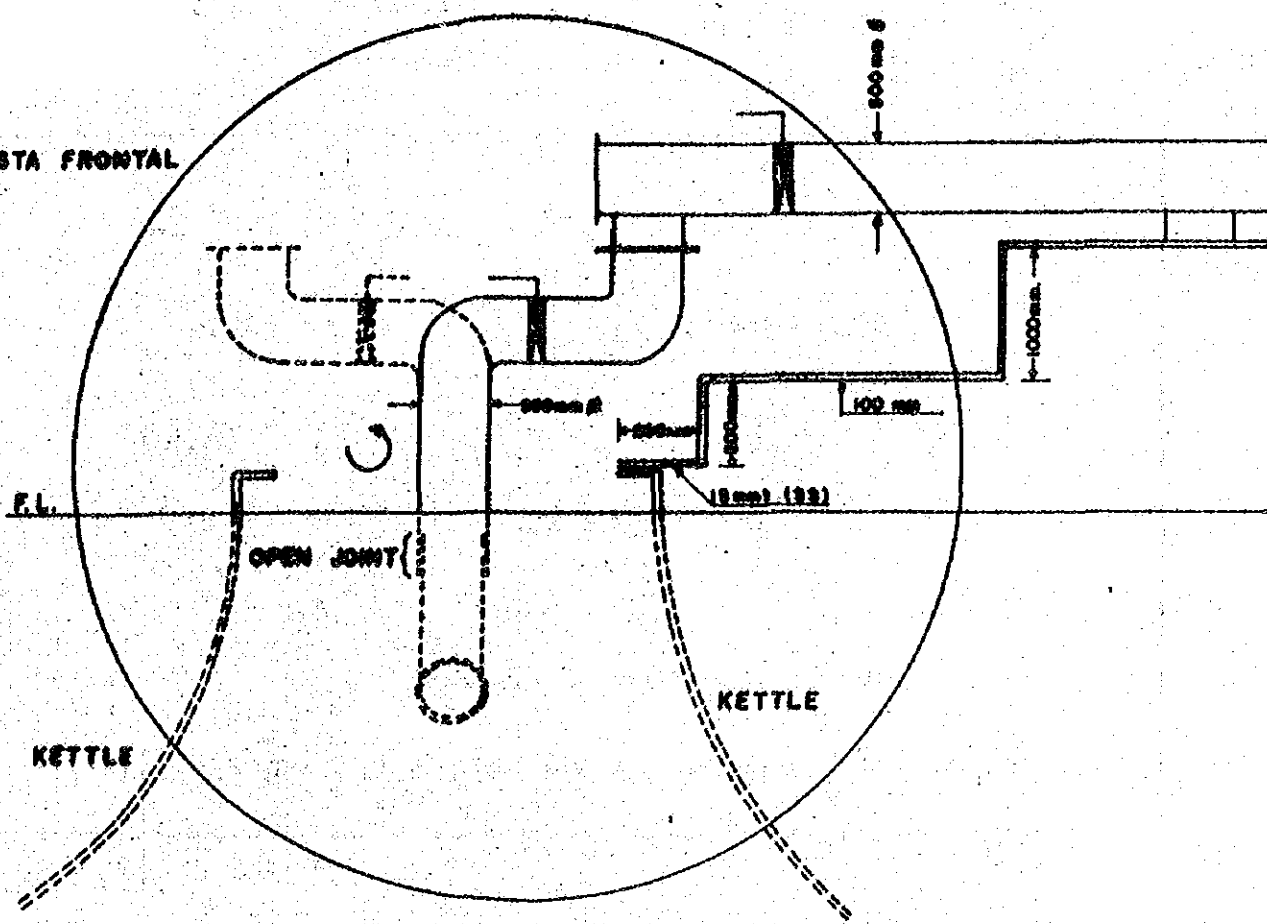
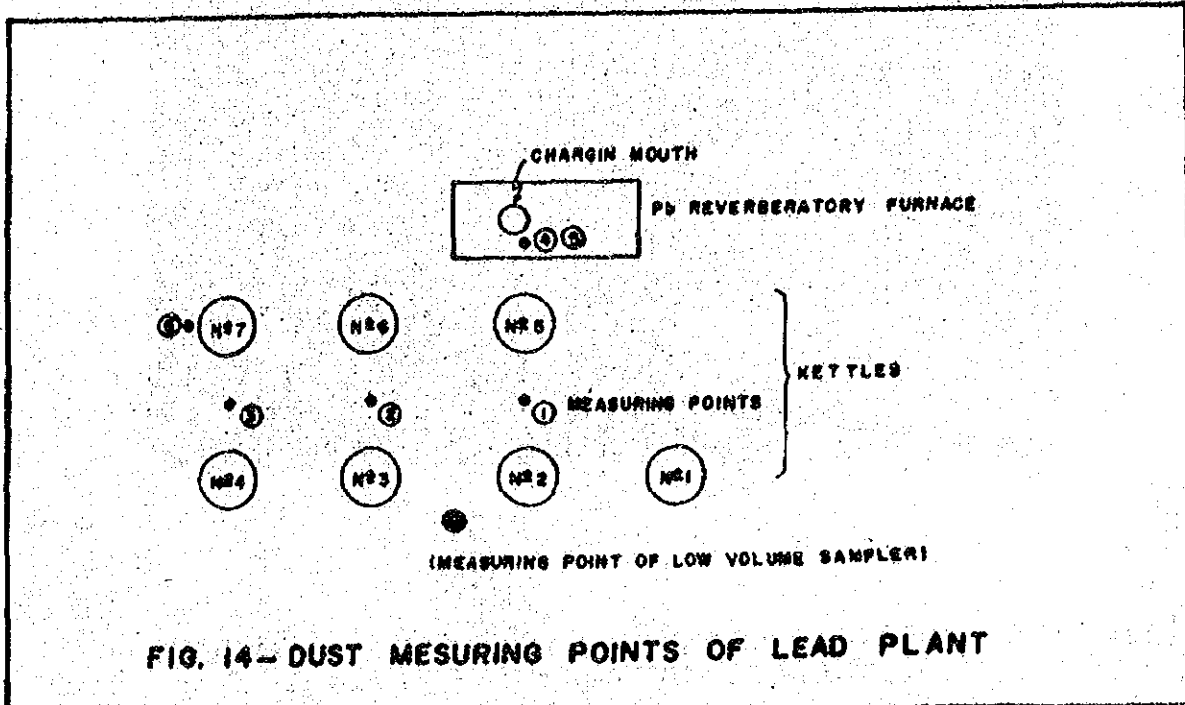
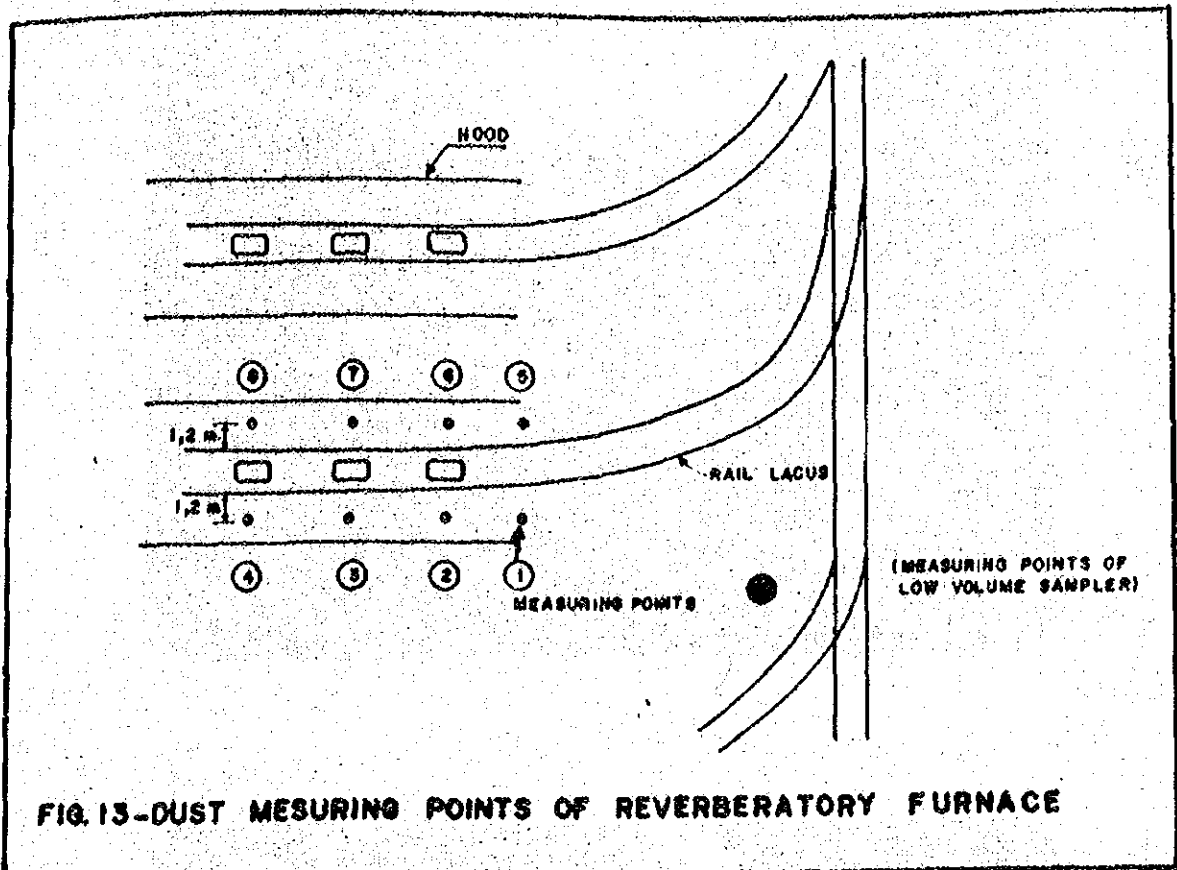
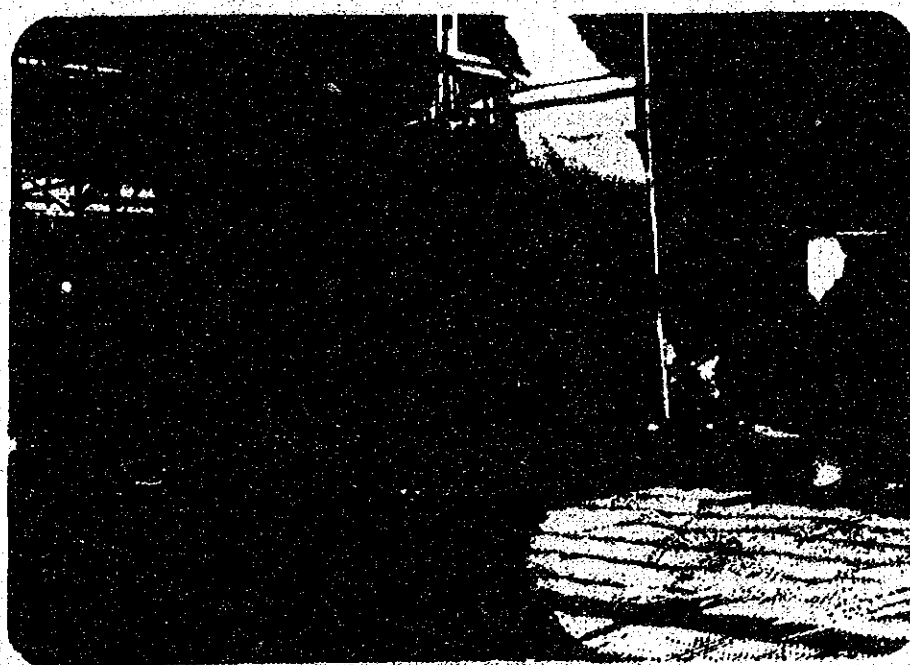
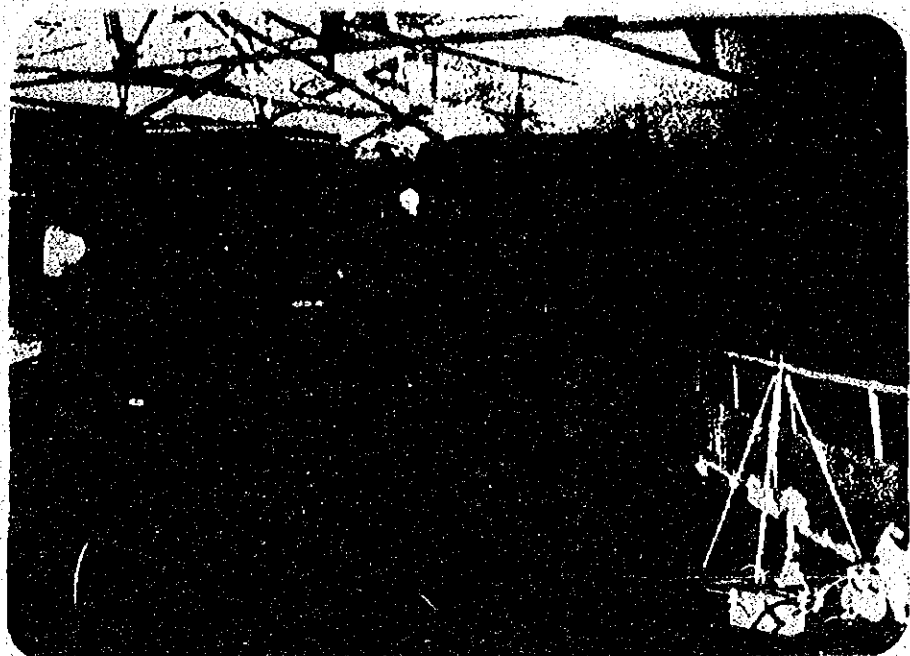
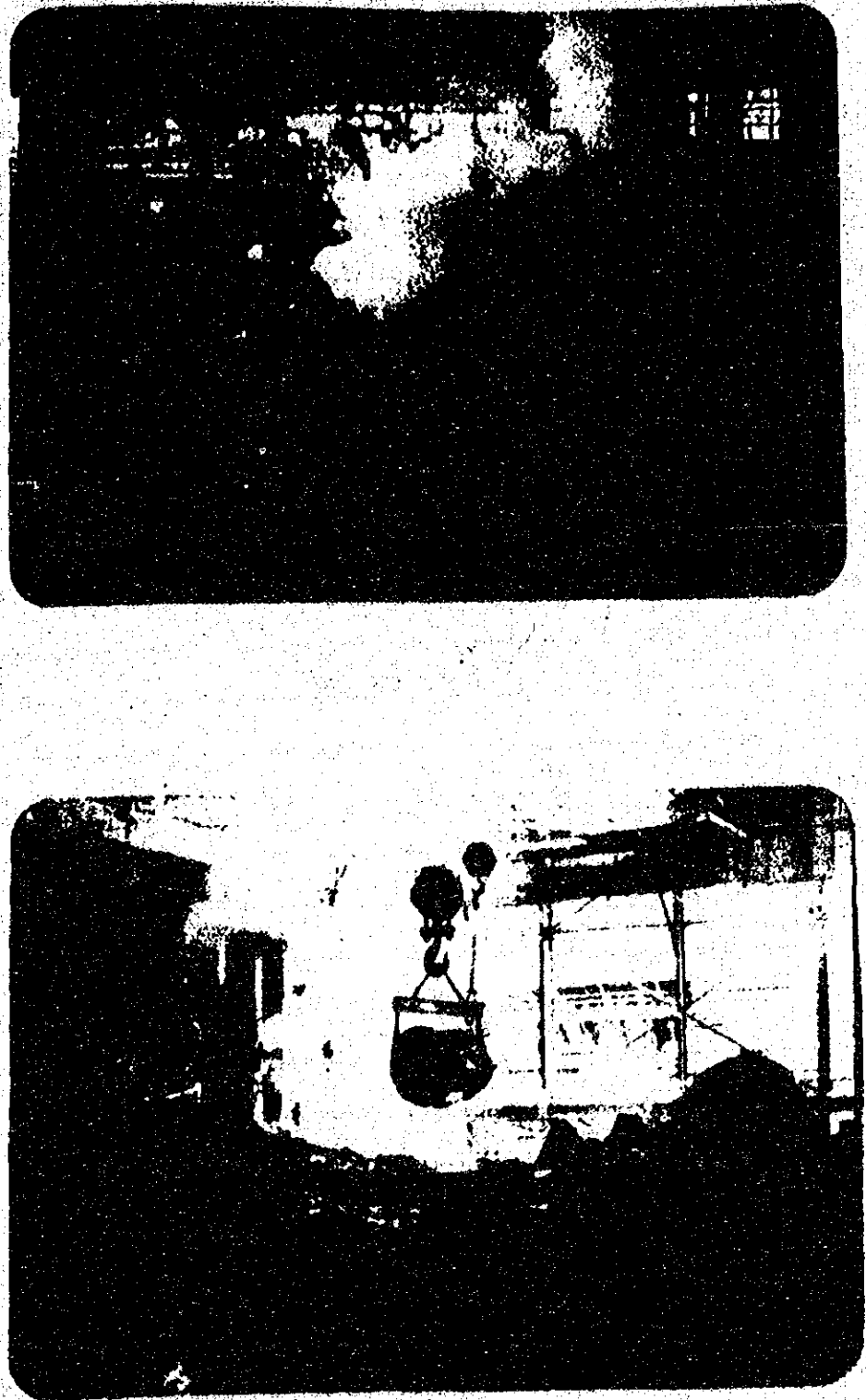


FIG.12 - DETAILS OF CONNECTING PART OF GAS DRAWING PIPE





FOTOGRAFIA N.º 1 CONTAMINACION EN EL CARGUJO DE CALCINA A LOS HORNOS REVERBEROS.



FOTOGRAFIA N° 2 CONTAMINACION AL DESCARGAR EL PILOMO
DE LA TAZA

製鍊保安技術ミッショソ報告書

昭和 56 年 5 月

於 リマ

No.

J. I. C. A.

目 次

ページ

1 はじめに

1

2. リコメンデーション

2

2-1 銅反射炉の構造

2

2-1-1 反射炉へカルサイト給鉱方式の問題点

2

2-1-2 反射炉用深層炭渣引出

3

2-1-3 操作マニュアル

4

2-2 鎔ドロッキング鍋内保

5

2-2-1 ポット内の粗鉱をドロッキング鍋に入れた際の問題点

5

2-2-2 ドロッキング鍋内保運送引出

6

2-2-3 操作マニュアル

8

3. 手本の改善案と提示

9

3-1 銅反射炉へのチーリングによるカルサイト輸送方法

9

3-1-1 カルサイト・カーラ使用する場合

9

3-1-2 カルサイト・カーラ使用しない場合

10

3-2 鎔ドロッキング鍋内保運送

10

3-3 全般的なフリーアップの防止方法

11

4. その他

14

4-1 前回のリコメンデーションとの関係

14

4-2 作業環境改善に対するアドバイス鉱山方針

14

4-3 作業環境の測定方法

15

4-3-1 銅反射炉着入口付近の測定

15

4-3-2 粗鉱ドロッキング鍋付近の測定

17

5. 結言

20

6. 謝辞

20

1 はじめに

この報告書は今圓三番目からペルー共和国銅鉱保安技術ミッションが CENTROMIN PERU ラ・オロヤ銅鉱所に於ける調査の結果と、その改善の計策について記載したもの。

この調査はラ・オロヤ銅鉱所側の要請に基づき、銅及鉛炉 13t/h 用のドロッピング鍋の設備に関する粉塵防止計策を行った。
また、今圓のラ・オロヤ銅鉱所側の事情により、改善計策の採用と進度をまとめた配慮を行った。

- (1) 現在の生産 13t/h 保安設備の不適な改進と実施方法及び作業環境の改善などを基準で算定
- (2) 粉塵防止装置の取扱いと改善計策の実施と新方式の生産設備並びに環境改善設備を導入する取扱いの計策の実現性と現行設備による改善計策の提案

特に集塵装置による粉塵防止改善、及び保安の安定化による生産性の向上と粉塵の量の削減を主な目的とした。また、集塵装置の作業計画の実施の実績における粉塵量の削減と改善の実現度合いの評価と改善の計策と、同時に操作手順と改善の明示化を行った。

一方、新方式による生産粉塵防止計策の新規方式導入下期の実現と、其のための方針確立を行った。

この報告書はペルー共和国銅山保安技術委員会による技術部による報告書である。会員は下記の最高技術者である会員委員会 (MEM, INGEMMET, CENTROMIN PERU, 日本国大使館 BUREAU が構成) による。スペイン語と翻訳した報告書である。

専門ミッションの構成員のメンバーである。

井上知義 東邦亜鉛株式会社、鶴島営業所

佐野基次 住友金属鉱山株式会社、別子事業所

細井 明 国際鉱業株式会社、小西鉱業所

2 リンメンテイション

このリムメンテイションは現有設備下生れの作業環境を改善する事と目的とするものである。主に設備の又は仕事の進行率を向上させるリムメンテイションである。同時に作業環境を完璧に改善するものである。完璧に改善するまでの間、次節の技術の改善と検討すべきである。

当節では銅反射炉へのカルサイン投入時引落 36 钟の TD. が
銅への粗鉛投入時引落についてのリムメンテイションである。

2-1 銅の反射炉関係

2-1-1 反射炉へカルサインと給鉛と際の内炉火

[1] 改善概要

改善フロー図を次に示す。

COPPER CONCENTRATES AND FLUX

WEDGE ROASTERS

COPPER CALCINE

CALCINE CARS

REVERBERATORY FURNACES

MATTE

SLAG

CONVERTERS

CONVERTER-SLAG

BLOSTER COPPER

HOLDING FURNACE

ANODE CASTING

ウエッジローストからカルサインは電動のカルサイン・カーブト：A
反射炉上部に運搬され、投入される。

3-2トロットルは反射炉とレードルが運搬され、転炉フランジブリッジ・カルバーバー
分離される。ブリッジ・カルバーバーは保持炉と移動する铸造用
アームトロットル。

[2] 作業環境上の問題

(1) カルサインカーブトから反射炉へカルサインを投入する際、反射炉
上部にドロップホルダーを介して投入ビン付近で発塵し、作業環境上
悪化させる。写真 No. 1 参照。圧粉塵測定データを
参照。事。

(2) 反射炉からガスが投入ショート下通り、投入ビンの口を
発生する環境悪化の要因。1つ目は、2つ目。

2-1-2 反射炉周囲環境汚染

[1] カルサイン投入時一発塵防止策 V. つ。?

(1) カルサイン投入時の発塵を反射炉の炉内圧を丁度10-100kPaで
防止しようとすると、炉内圧が(1)で2つある無理である。

(2) カルサインを反射炉へテーザーする際に発生する粉塵を局所発塵
寸法が最も効果が高く経済的である。すなはちカルサインを
停止する位置の片側の(1)作業用扉を開け、プレート(左側)E
又は右側 F を入り口31a, 7-1と取付け、プレート(左側)E
又は右側 F を入り口31a, 7-1と取付け。Fig. 1.A, Fig. 2.A,B, Fig. 3.A,B, Fig. 5.B 参照。

(3) (2)の実験で発塵防止強化し吸引力が2倍が最少限
である。カルサインカーブト自体のスカート等を取り付ける。
Fig. 2.C 参照。

(4) 7-1の構造(2)の2倍の吸引力を上げる為、7-1構造
473. Fig. 3.B 参照。

(5) 吸引風量は1m/s局所発塵部側の竹17.7-1を約300m³/min
カルサインカーブト、カルサイン投入口、上部、P₇₋₁ = 7-1, 3, 25 300m³/min

4.3. Fig. 1, D 参照

[2] 芯入り炉心棒3炉内ガス充満

- (1) 乾燥炉心棒 - 1操作は、反射炉本体の元井戸の側面に設置された
2D2-レベルゲージ操作レバ、より、チャーチルの窓: 1m開け
作業室で炉心棒3炉内ガス操作位置と端門が1m離れた所。
1:2" 開き 5:1" の操作位置を炉心棒ガス進入レベルゲージ
2D2-2操作位置とし、各自自己。Fig. 4 参照。

- (2) (1)と第2章2-3節の方法で "2D2" (乾燥炉心棒) 2S
DBSIが2.5 10 m³/min / 4.4m³ / 密度: 各 "n-1.0" まで
"n-1.0" で下へ導入する方法を用い。Fig. 4, E 参照。

2-1-3 ガルサインカーフから反射炉へガルサイン給銑3除。集塵設備 操作マニピュレーター

[1] ガルサインカーフ集塵設備 (今後 "4" と表す) へ入る3除。作業手順

- (1) ガルサインカーフ進入方向左側のカバーが開け、3部確認する。Fig. 3, A 参照。
(2) ガルサインカーフ導入位置レバ停止位置。開けた3部集塵3-ドア
開める。

(3) 運転手が運転席から前に3除 運転席左側、昇降用扉正面
2階上、必ず開める。

(4) 反射炉炉頂ビン下に位置するランプ - 下用灯。Fig. 4 参照。

(5) タスク用引出物 - ドア 3ヶ所を設置する。1m×1.3m 74UT1-3-d
位置 v. E, 213 ガスと DBSI 33必要あり。ドア 1.2m 在り
2m×1.3m×2.5m 2-ドア接続 (E, 2) トバ設置 24-2-3
ランプ - 上開める = 3m 10m 2m 2-ドア 3-ドア 1.2m
1.3m 2-ドア確認する。Fig. 1, D, Fig. 5, B 参照。

[2] ガルサインカーフ炉頂ビン → 反射炉へのガルサイン給銑の3除。作業手順

- (1) ガルサインカーフランプ(?) 1.3m 位置と3除扉正面 1.3m 2-ドア開
3-ドアガルサインチャーチル。

- (2) ガルサインカーフビンを空へ33移入。必要がある。小213扉 E 1.3m
2-ドア、2-ガルサインカーフビン下でく。

[3] ナルサ12: カーフガ集塵装置の>本工場へ作業手順

(1) [POT] C- > 5'ンハ- 下層23. Fig 4 参照

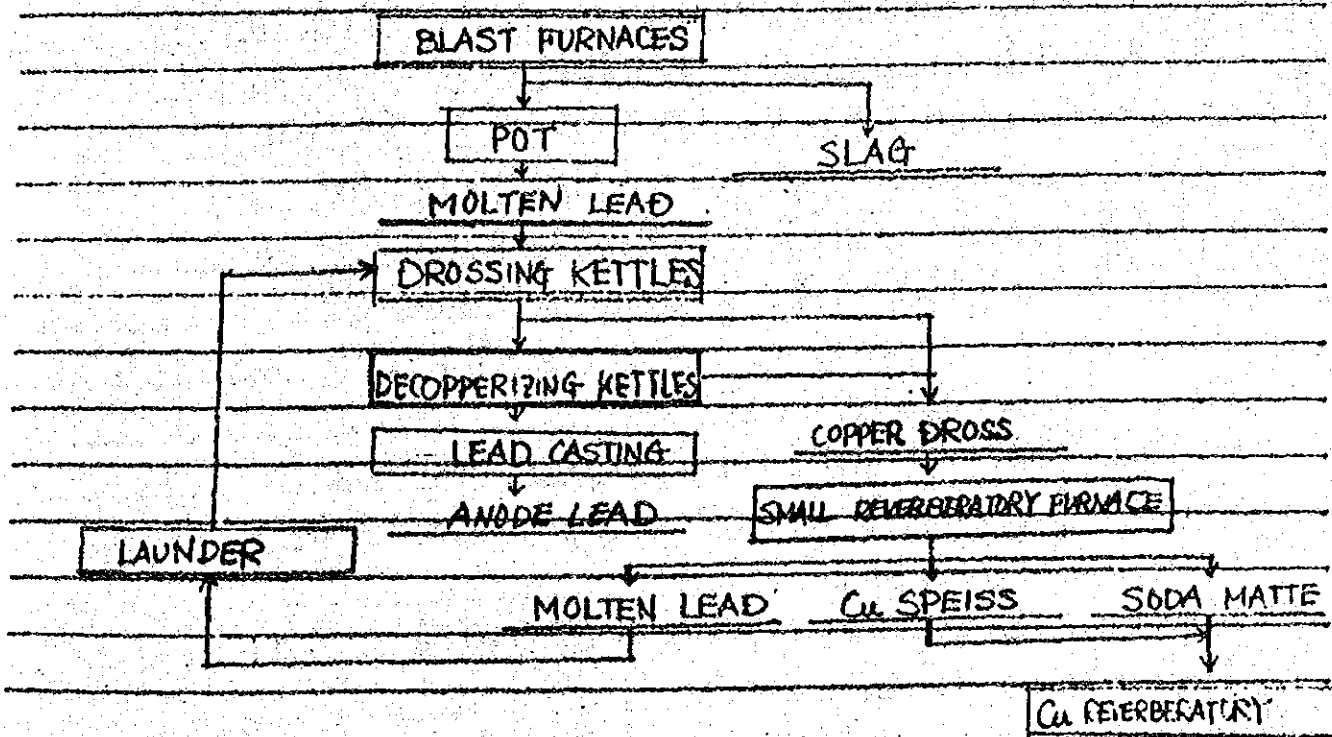
(2) [1] a. (1) (2) (3) (4) (5) (6) (7) (8) (9) (10) (11) (12) (13) (14) (15) (16) (17) (18)

2-2 製錬・ドロッジ鉛回路

2-2-1 ポット内の鉛をドロッジ鉛として投入する方法

[1] 條款概要

技術仕事 712-1-1 次に付す。



溶鉱炉P35 HF±24% 相鉛量約 0.5 m³ → ポットへ 注入=4
台車ヘリクス ED-225 I様 H 高さ3.2m W 1.1m T 1.2m
吊り下し用 約26t ED-225鉛へ 注入=4t3. 鉛鉱の重り
T=20kg送り鉛金の高さ H 高さ3.2m 重量W 鉛道金量 H 高さ3.2m
→ ED-17 T=26t 重量H 高さ3.2m 重量W 鉛道金量 H 高さ3.2m

支山 小型トローラー用砂利投入車

[2] 作業環境上の問題点

ホット内、粗飼料D₄₅が砂利投入了陣 分散。粉塵空気
濃度と含んでガスが悪化し(ホット室の空気も同様)。作業
環境の悪化は勿論、高浓度ガスが瓦井ケーン空気室下
直撃、被り2名の労働者環境状況不良。これが最大の問題である。
写真No.2 参照 BM 粉塵測定データ参照。

[3] 施工上の問題点

打量下地前までの間砂利溝を浚い、砂利を考慮した改善を行
った。以下に問題点を列挙する。

- (1) 瓦井ケーンの高差が15.8mあり、砂利の用輸送距離が長い。
- (2) クレーンフック操作技術がやや未熟であり、操作が難しく至る。
- (3) 作業者の改善の力と意欲が薄く、需要の作業環境に対する
改善に対する意欲が低い。
- (4) 日本式。細工でなく実際作業者がより正確な操作を行
期付の薄い従事者、過大設備を強引に集積しなければなら
ない事情がある。

以上で考慮して打量と検討し、操作手順と追記(2-2-4)。
環境改善について記述する。施工の作業員の教育が不可欠である。

2-2-2 ホットシングル側面環境対策

高さ15.8mの高さの範囲で上部PB31-2-1E型の堆積方法を行
う。方法は現場訂輪車より現場へ納得した上で得た知識を記
述する。具体的には以下の様子だ。尚使用方法は2-2-4に
記す。

第6回車→ドリフト用取扱方である。ドリフトは荷物の積み落と
し形となり中央部が高く一方が開いた形となる。この車の上部
を下へ落とすと、粗飼料が投入される。

DB31Jはフード付とルーフ、ダクト、アリ...フード部と車体...
H2TTS4K DB31槽道と接続される。前 DB31槽道には
・DB31防炎のため手動グンバーで各々馬力。

→ 7/2 13 フードとボットの位置関係の側面図である。水平
方向に走るボットはテブ26-1を基準にヤード運動フードの横幅
位置で停止し、出入り口。この時ボットが上部フードの幅を21
3mmの位置で、上部フード-1をうねりバウスした運動方
向を示す。従ってオートドア奥へ進むと出入り口事はない。
この時ハンドル操作も它可以して保たれる。

→ 8/14 13 オフ1室。平面図である。34門。吊りの位置
通りに決める必要がある。

→ 9/14 13 相鉄の出入り口は、奥側に運転室があり、左
右側用の場合は、食槽位置は中心よりやや左側に位置する。
DB31Jの位置は直角と並ぶべきである。

→ 10/2 13 フードとボットの位置関係の平面図である。オートド
ア側面の1m隔は400~500mm程度であることが分かる。
固定ボットはフードの位置決めの為、左側の車輪停止位置
から固定ボットの横幅まで車両のDB31槽道と連結部を合計
して求めると2.2mとなる。

又床面に位置するDB31槽道は、10/2 13の車両より以前の車両
→ 11/13 13 No.5 BU No.6と箱の両用とする。

→ 12/2 13 DB31槽道連結部の詳細を示す。

1) DB31ガスはフード2 DB31、途中洗浄装置が望ましいガス
2) 72,177 13 5.0DP洗浄門を決めるべき問題である。

3) 10門底盤門テクニカルアドバイスの理が付けてある。前カシ
余裕があり(最高能力 92,327 pcf/min v. 72,177 pcf/min 余裕がある)
13,74,360 pcf/min 2 72,177 pcf/min 余裕がある) 前のDB31ガスは
車両第1-2号洗浄室、本フードとF3ガス DB31室は 53,11,203 pcf/min
である。之が余裕で10門が可能である。10門の余裕は付ける
所がない必要がある。

2-2-3 ドロッパの簡易度合操作手順

[1] 簡便フード方式

- (1) 簡便フード、3段引から取り吊す下天井クレーンハーフクルリットル。
- (2) 天井クレーンレバー静かに吊り上げ、該当アーム側とレバ操作なし。
- (3) 静かにフード下降3m、前方側と該道方向に食合せ3.3本。固定オストレーブ、2階3m位置決めして後、前軸停止バーを固定オストレーブ接觸させた後、静かに下降3m。
- (4) 天井クレーンを下げ、フード吊す下ラックから吊す。

[2] ガス吹込み開始

- (1) 前輪の脱落装置で42m3回転速度を3m/sに2m/sとフード吊り行い5mまで3グロトが4mに食合せ3.
- (2) 車両吹込み装置下に供給バルブ2つ、車両下部開始3.
- (3) 回転速度3m/s、2-1側1回転、前方、グロトを4mに下す3.

[3] 相鉛注入

- (1) ポット下天井クレーン2吊す。
- (2) ポット下定位装置2停止3.
- (3) ポット下静かに下降3m、2-1と相鉛の通切行管2停止3.
- (4) ポット下前方水平に移動3m、ネジ7個の方3m、ノブ上の2-1側の通切行管2停止3.
- (5) 天井クレーンの補差を10mm、ポット石側面、相鉛下部内へ注入3.
- (6) 注入終了後、ポット下水平に戻し、前方の水平移動3m。

[4] 俊帰

- (1) 俊りに相鉛が通切行管となり、相鉛注入作業が1分以上となる。記録2シート24時間と同一にして回転速度を高め位置反転。
- (2) 油圧作業の障害有り場合3、2-1と40.6度上へ位置3.

3. 技術的改善策・提示

当節にて、現行設備工事手順による完全な作業環境を改善する方法について述べる。

3-1 管内取扱いから炉内へ 12t 加圧注入装置の運転手順

3-1-1 加圧注入・カーフ使用した場合

目的： 加圧注入・カーフ内 12t の搬入、現象防止； 14t 22t の現象防止。

[1] 廃水物の除去

加圧注入・カーフ内は現象の一要因となり得る物質の混入が確認された。検査結果 D-2.2-2 では加圧注入・カーフ搬入時に既に加圧注入物の廃水物が存在する事が判明し、2 1)-23-a にてガラス管(炉内)搬入時観察された後、2 加圧注入・カーフ 2t から廃水物を除去了事で現象が止めた。

[2] 炉内炉内搬入作業手順

現在、搬入口炉天井より 9m, 2m 従って搬入口 2-1 間にかけて現在の炉内 12t 以内の炉内ガスと上昇気流が起り、炉内の漏洩防止工事を難しくしている現状である。

通常、反射炉炉壁部の炉側壁部分は直圧下で、2-1 間や炉天井、場合によっては直圧下で 2-3 ～ 2-4 間にかけて現象が起る現象の発生する方法が「炉側壁の搬入方法」、炉底 2-1 間で炉内圧と大きな差がない方法が「炉底直圧下搬入法」、炉底直圧下搬入法の漏洩は解消された。

2-1 間や炉底直圧下搬入 2-1 間の炉天井の直圧下搬入法

3-1-2 カルサインカルト使用による易食

目的：粉塵の発生の防止方法 B.W. 運搬方法

[1] 空気輸送

カルサインの高発生が大きな事(約1.8)より空気輸送による可能性がある。二つ易食技術の導入(2-3)が現行等の現状物と統合(併せれば)方法。一方輸送カルサインの現行は貯蔵ビン、サイロ、B.W.コンテナが必要である。
輸送方法は色々な方法があり、機械装置上極めて有効な方法である。

[2] 炉窓ビンから反転炉への搬入

炉窓ビンから切出された入シートへ落とす方法(手動)と手動ドローベルト-4段式である。3.ドローベルト-4段式
どちらも現行の炉窓ビンから炉窓炉へ搬入する方法である。
「T.R.V.13 7-5-部13 オバー工場にて完全に一回目半を
実現である。

3-2 鋼 TD, リング鋼 固定 4-2-3

現在のスリット用、粗鉄と鋼鐵の方法では TD, リング鋼へ
粗鉄を搬入する時に発生する粉塵を根本的に解決する事は
困難である。2.2キミングカルトドローベルト TD, リング鋼へ
搬入する際に発生する粉塵を防止する事が困難である。
2.2 次の事で検索する。

1. 鋼塔板炉(No.1, No.2)とC型炉各2基。
120T炉6台である。

2. ドローベルト-4段式導向装置を設置する。

3. 2キミングカルトドローベルト水冷振動シリンダ- B.W. 入口
シリンダ-2 小型反転炉2炉間、搬入口2箇所ある。

4. ジベルカ-金庫内漏れ構造下計3箇可能である。

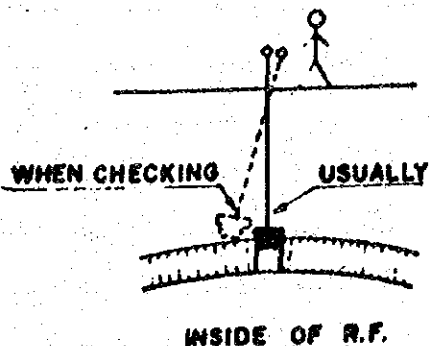
5. FD.シングルカル・粗金の) フラップ輸送の運送会社の名前。
抽は完全レシール73.
6. 新設・付の) DW-LD3輸送用荷の充金量が下限。

3-3. /空船の) DW-LD。門止レバ?

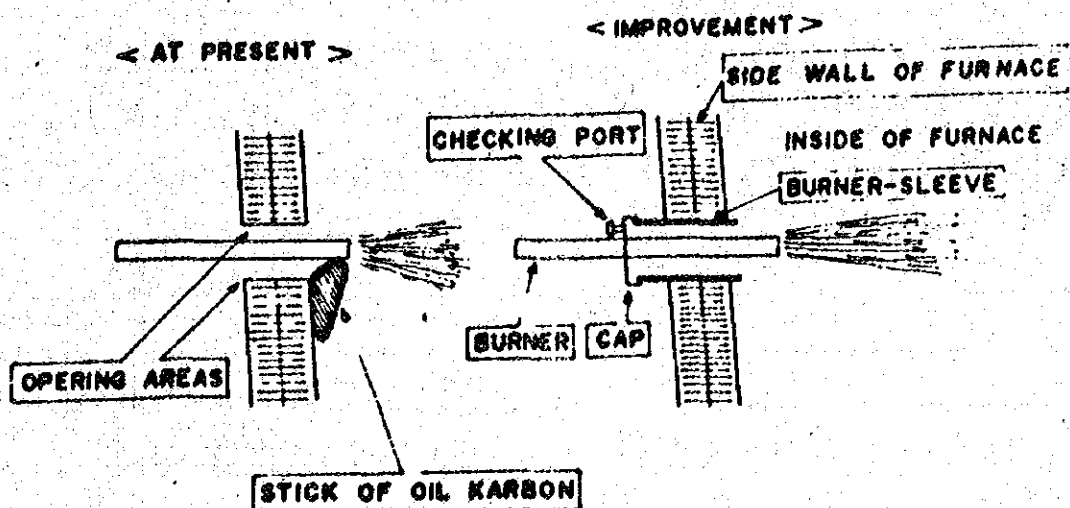
新規・改変に引率73+2) 沿下参考ル3-3Dや監査前倒2) 全部の
チェックル1? 下記をもと。

[1] 例) 反射炉周辺の開丁事

1. 加熱材の投入が終了した後、ランプの研磨山開丁事。
2. 鋼鉄・ベンチ等の工具類の開丁部が大きすぎた。集塵室、工具
設置の場合の開丁間隔を確認する。(1. 開丁部) 2. 開
ガス速度を上げる事。
3. 反射炉天井レバーの隙間が大きすぎた。干式・湿式の開口部等の
工具の際の開口部は標準X73、下部参考図下す。



4. 今-火孔圓筒方式の火筒の半径を、T=5.5cm
 及び火孔の直径を、D=1.2cmとすれば、
 火筒内径は、D=0.8cmとなる。参考図3に示す。



5. 鋼桶、側面が高さが1.2m 後、2 段体の高さが1.5m
 途中で固化した事があり監視のため集煙用火口-火口
 間に2mの火口-火口-火口-火口混入火口3. 火口2 非燃性の火
 壁は後方2. 障害物がない。.

[2] 車両運搬車両

車両上にガス DB317-1の回転台が大きすぎ、6.5tルートを
強化するため形状工具1727mは溝掘り工具上では事じ
不可能である。

[3] 貨物輸送車両入口

車入口からの溝掘り工具はDB317-1の回転台が
一般的に使われることからアドバイスを行なう場合、車入口に荷物が
積み落とし山で除雪する際、ガス溝掘り工具が車に衝突する。
そこで工作業は通常 DB317-1の回転台増加工具、ガス吸引管を
増加させ、ガスが溝掘り工具に飛出し、即ち荷物に衝突する。
荷物に衝突する際、荷物の重量によって荷物は飛出する。
この様な使用方法の工夫は、作業環境の改善にはある事じ
重要である。

[4] 煙道ガス DB-IP-1件

煙道、給水エンジンの火事である。着火所は簡便車両大手の元
工場内。又老朽化した煙道が燃え、DB-IP-1の漏入ガスが火
事の原因である。設備の維持管理も施工監修上、重要な事じ
である事を認識すべきである。

Tryal and Error 2 他の諸問題が判明してない。
一方当り2×; テーブルの Tryal and Error が十分に行はれなかった事と
各代理に対する物、T₃ (V₁)₂ ある。

4-3 作業環境・測定 T-2

4-3-1 銀灰炉 P₁ 率入門道の測定

1500 "2×; ディッシュの計量とP₁ 銀灰炉へカリケインの率入門
360 粗鉛。T₃ (V₁)₂ ある。作業改善とP₁ 粉塵相対測定 T₃
327°C 方便な環境で測定事は明白であるが、ラノウ製錬所?
データ等持てない事もあり、測定を行った。

[1] 測定器具

モードレスル粉塵計 P-3型を用い各P₁ の測定を行なう D-115-L
T₃-115-L-2 補正係数を算出した。

[2] 補正係数一覧

(1) D-115-L-2-T₃-115-L-2

測定場所 向光照

条件 気温 22°C

気压 495.3 mmHg

風速 1 m/s

DB31圧頭 580 mmAq

空氣量 25 l/min

時間 110 min

DB31圧頭。補正式(1) 式用。左。

$$Q_0 = Q_r \sqrt{\frac{273}{273+T}} \times \frac{495.3 - P}{580}$$

Q₀: 760 mmHg, 20°C における DB31 空氣量

Q_r: 7D-1-2-V₃ DB31 吸引空氣量

T: 気温 °C

P: DB31 圧頭 mmHg

4. その他

4-1 会員のリコメンテーションとの関係について

会員調査ミッション（警鐘保守所）のリコメンテーションとの比較から、大体次の如き事がわかった。即ち、会員の方は現場では「問題」をみるが、当リコメンテーションは「點検」を継続するより具体的な、詳細な報告書（会員の意見）が求められる。

また、会員はリコメンテーションの粗率段階で否現場のデータを多く得てから、カッケンを重ねて了解を得てからであり、当リコメンテーションスルーストアを早急に実施されん事を希望する。

又、当リコメンテーション（第2節）の早急な改善工事が実施出来ず、作業時間が大幅に延長する事と順守が出来ず事で危険性が高まることを認識してほしい。

4-2 作業環境改善に対するラ・ドロや警鐘所の取組みについて

ラオリヤ警鐘所における作業環境改善に対する保安部の熱意は十分に感じられたが、しかし各セクション同様には警鐘現場と保安部との間で監督部と保安部と現場間の認識のずれや意思疎通不足があることは十分に想われる。

又、会員の保安ミッション、指摘が有ったところだが、作業員が作業時間順守（正確さ）がやや難しくて理解出来ない。当ミッションのリコメンテーションは作業時間が充分守られなければ、その結果に危険（危な）事でラ・ドロや警鐘所は認成すべきことを重ねて申し述べた。

また、当ミッションはラ・ドロや警鐘所保安部の組織上、行動力が弱く、強制措置が行なえないものではないが、向上、保安部の現場改善に対する強制力不足（2013年2月13日）が危惧の余り有る。

以上のことから、ラ・ドロや警鐘所 全体の作業環境を早急に改善するため、当ミッションが「コントローラー」打撃を参考してお

結果 221 摘取室 12 m^3

吸込室 2120 l

以上より 221 摘取室 5.66 mg/m^3

(2) テンショル粉塵計

テンショル粉塵計による測定値のうち 5 分間の平均、D-T-10-G-E-2

測定中 15 分 等間隔で 8 回行なった。

$$\bar{x} = 0.81 \text{ mg/m}^3$$

$$\max = 1.58 \text{ mg/m}^3$$

$$\min = 0.26 \text{ mg/m}^3$$

(3) 補正係数

$$5.66 / 0.81 = 7.0$$

[3] 221 摘取測定値

測定は全 2 台の仕事入出力(23.0~14.223)、測定時間は D-23-1 時間
による。また、反射 IPG の範囲の出入りがある。

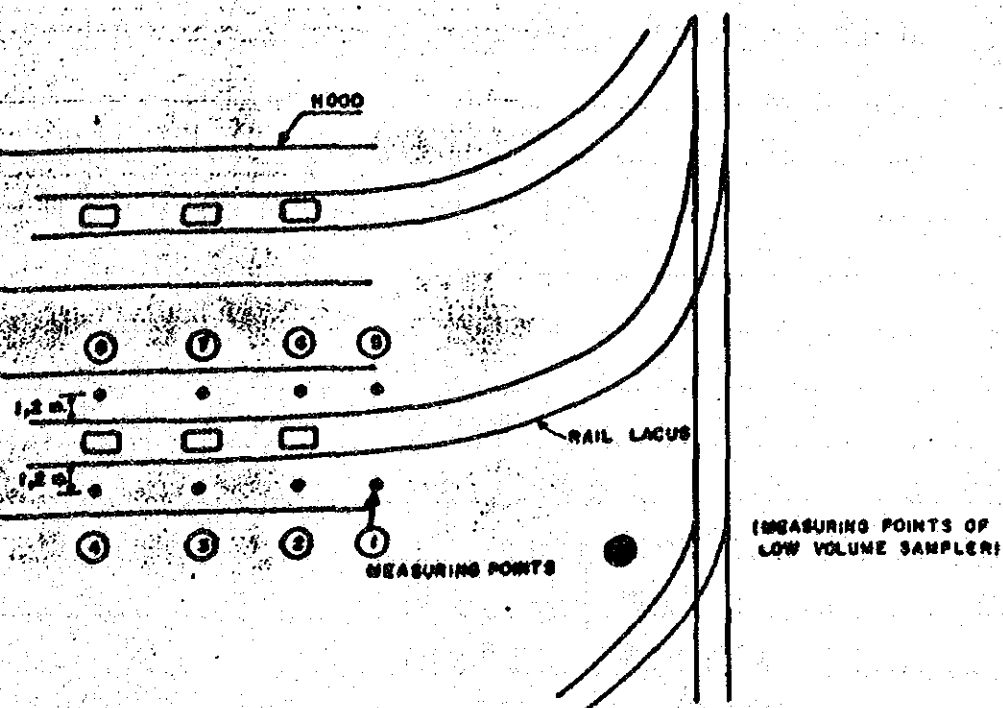


FIG. 13-DUST MEASURING POINTS OF REVERBERATORY FURNACE

測定期	測定回数	測定値 m^3/m^3	補正後の測定値 m^3/m^3
①	1	2.50	12.5
②	2	6.43	45.0
③	2	1.24	8.7
④	2	1.31	9.2
⑤	1	5.81	40.7
⑥	2	2.36	16.5
⑦	2	0.98	6.9
⑧	2	0.82	5.7

測定期 (1) 互たんへ $\leq 1 m/s$ の風が吹く時 又 窓入ソ-トの時
右端 60° から粉塵 BG が2の発生が分かる。

上記測定期の 粉塵発生場所は $6 \sim 7 m^3/m^3$ 又 粉塵発生場所は
作業環境が已から場所が $6 \sim 7 m^3/m^3$ 又 粉塵発生場所は
近い作業環境が $40 \sim 45 m^3/m^3$ と判明した。

又 $100 m^3/m^3$ 程度の粉塵は容易に想像される。写真4。参照。

4-3-2 粉鉛 フラッジ鍋附近の測定

測定器具は同前反射炉の場合と同様

(1) 補正係数の算出

(1) D-式 "2-G-I_P-0.7277-

測定期間 同参考

" 条件 気温 $20^\circ C$

圧力 $495.3 mm Hg$

風速 $0.5 m/s$

DB31压頭 $550 mm Aq$

" 空気量 $25 l/min$

" 時間 $90 min$

結果 22t 揚塵量 6.4 mg

吸込空気量 1130 l

レフタ 22t 濃度 3.7 mg/m³

(2) ティッカル粉塵計

5分間の測定値 (213" 等同値 24回 4573, 7.)

$$\bar{x} = 0.16 \text{ mg/m}^3$$

$$\text{MAX} = 0.19 \text{ "}$$

$$\text{MIN} = 0.12 \text{ "}$$

(3) 補正係数

$$3.7 / 0.16 = 23.1$$

[2] 22t 濃度測定値

測定時 No 6, 7 箇所 P1-P7 22t 領内中止

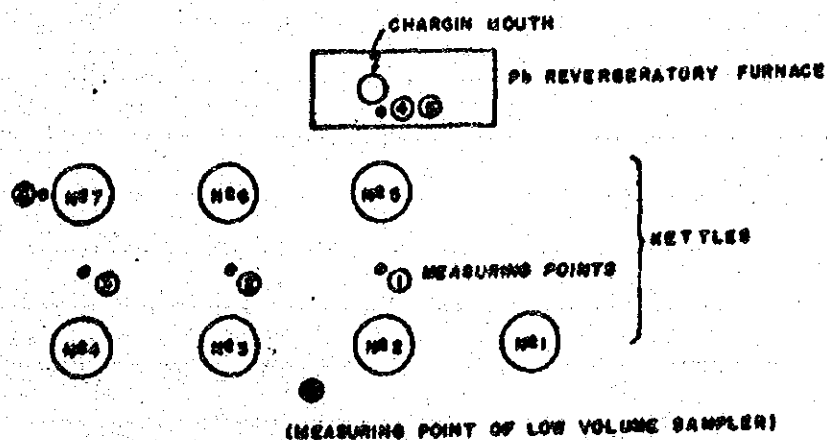


FIG. 14 - DUST MEASURING POINTS OF LEAD PLANT

測定点	測定期数	漂浮塵汚染度 mg/m ³	補正後汚染度 mg/m ³
①	2	0.72	16.6
②	2	1.01	23.3
③	2	2.19	50.6
④	2	0.61	14.1
⑤ 132室×4	1	1.06	24.5
⑥ Fume室	1	3.80	87.8

測定期 14.7.25～15.8.5 05:00～05:00 風速 1.2m/s No. 6.7 銀河
Fume の発生が多かった。

上記測定期より以前の作業環境は、場所別で 10～20 mg/m³ と
場所別で 50 mg/m³ 程度と判断される。又発生 12.13 Fume
量 6.13 87.8 mg/m³ であった。

同様の相場で吸入時の測定期実施 17.3.7 が予定される。
Fume の発生(2.5) 100 mg/m³ を 13.3.3 に越えないと想む。

5 結論

当ミッションのリコメンデーションは、大半の設備は行き付かない事より、
早急な実施が可能であり、かつ効果も充分上げ得ると思われる。
基本と12・3。実施に当たる旨報告書にて記載(2月)。作業手帳
充分順序立て頂いた。

両方3節と2節4節を解決策を提示したが、当ミッションは
最初技術で述べた通りである。

作業環境改善へ一歩は少しつづけたが、施工面では施工用工具
事であるが、私たちは3月、作業員へ作業手帳を守らせる教育を行ふ事
と、トップ以下全員が安全衛生、認識下手へ事である。此事と並んで
3月3日行。ミッションのリメンテーションも無駄である事に心懃証
意。E.I.

6 謝辞

当ミッションの調査調査、リコメンデーション、御協力頂いた
関係各位に深く感謝、致しました。E.I. ある。

FIG. 1—SIDE FIGURE OF CALCINE CARRIER

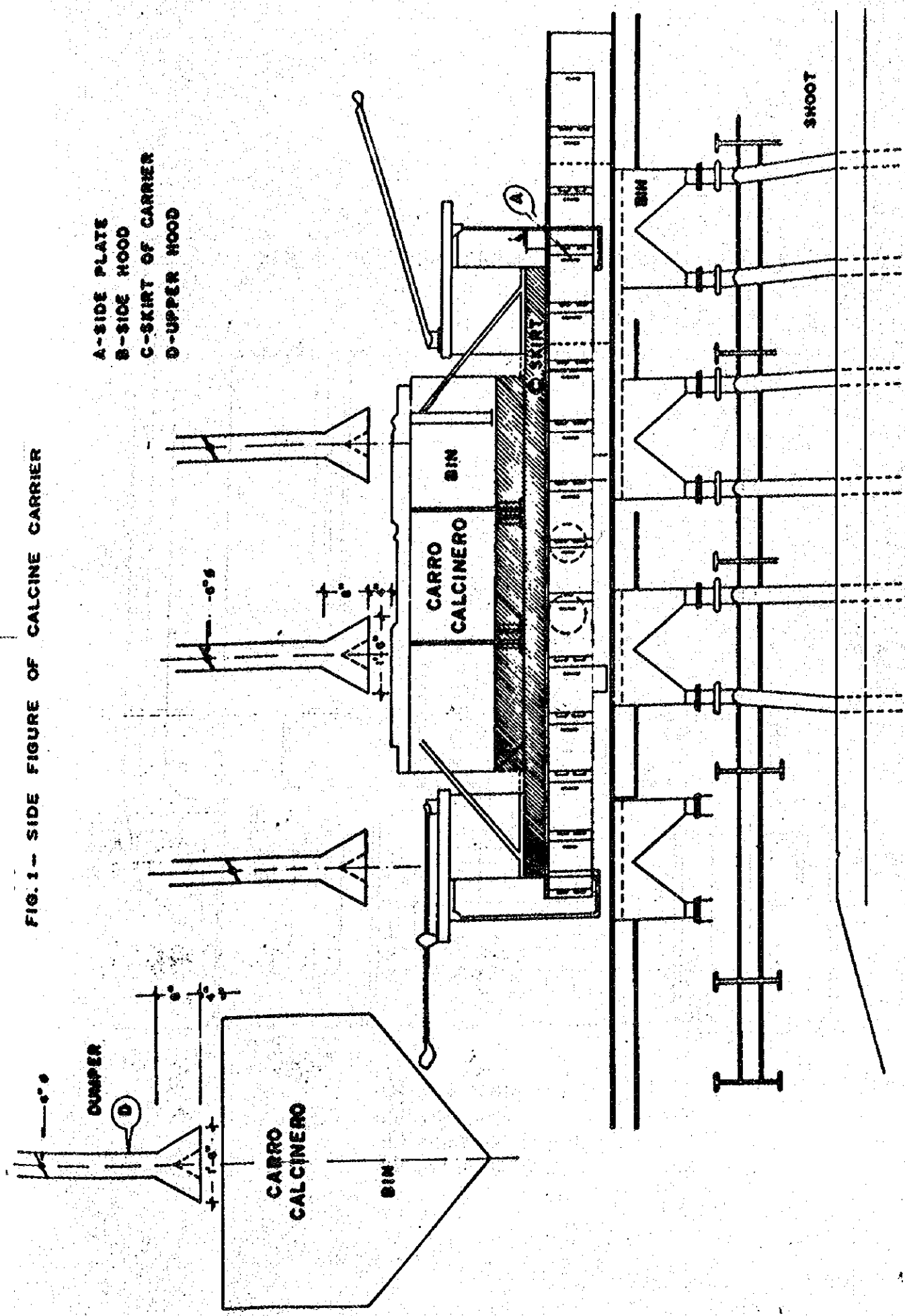


FIG. 2 - VERTICAL FIGURE OF CALCINE CARRIER

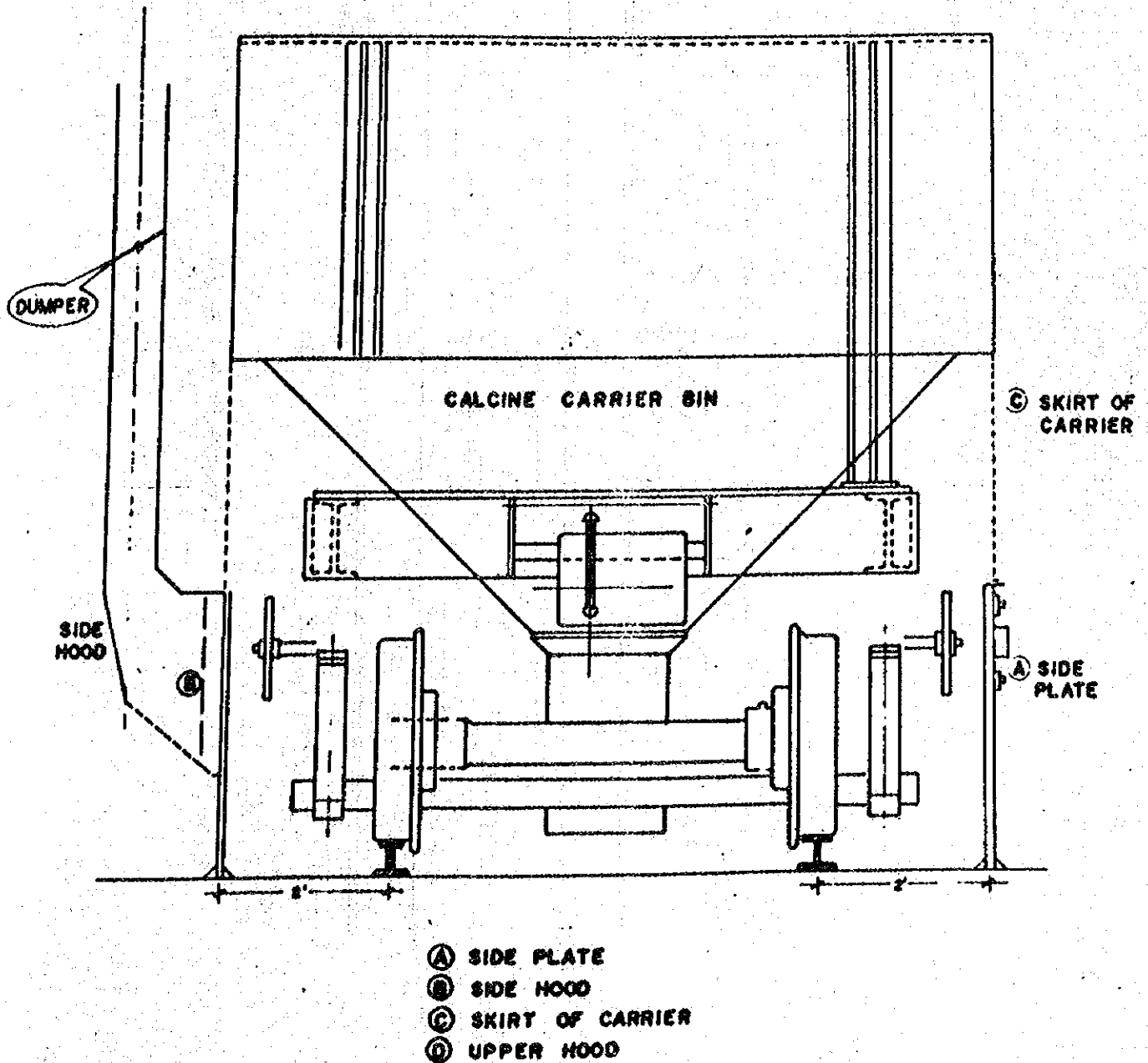
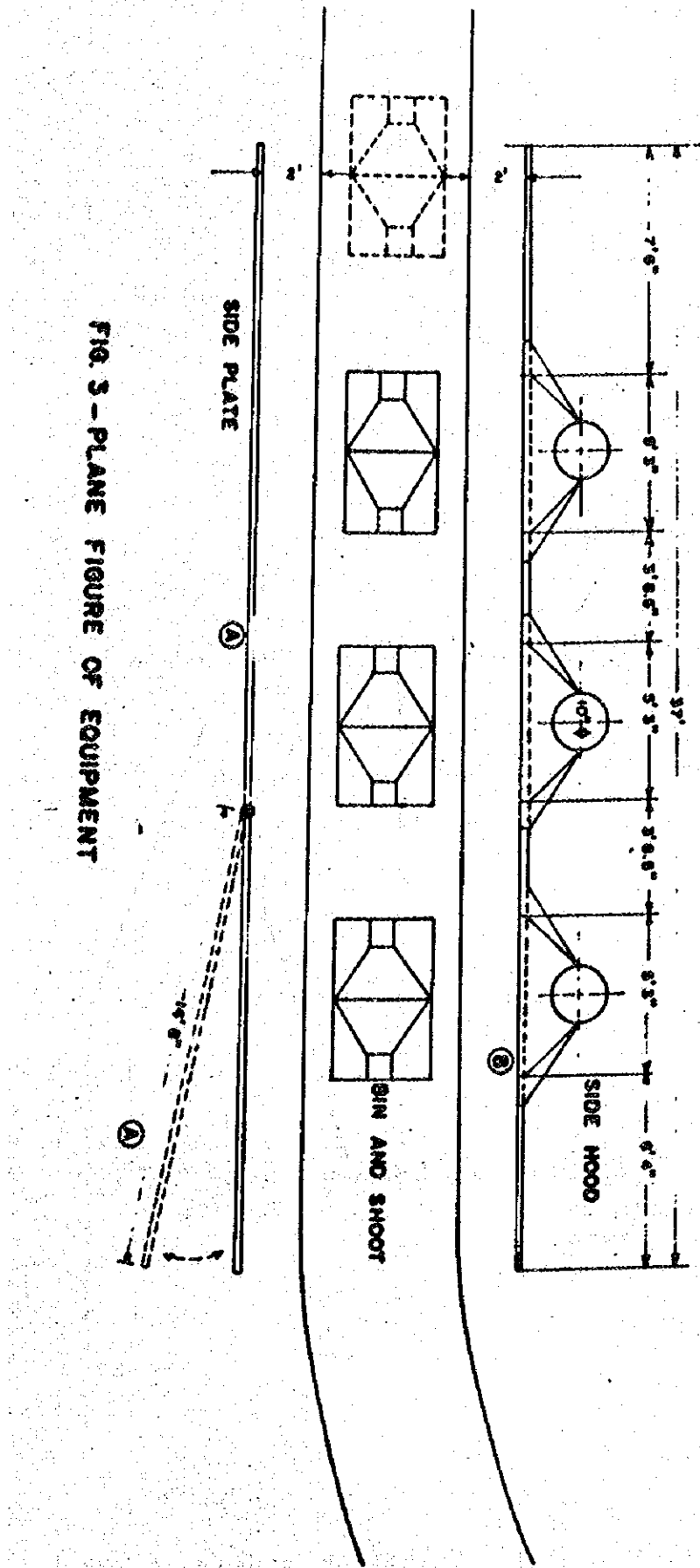


FIG. 3 - PLANE FIGURE OF EQUIPMENT



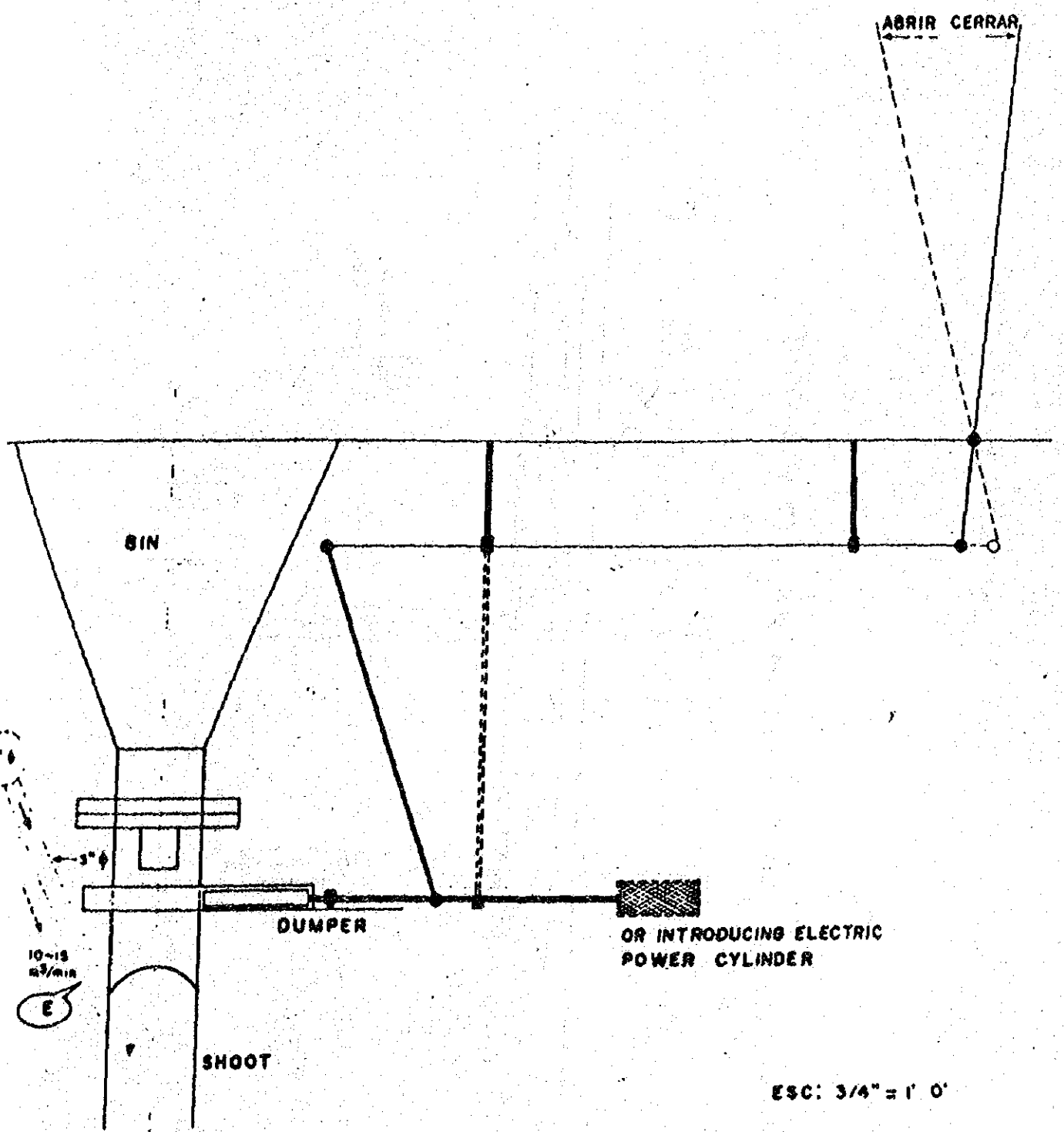


FIG. 4 - FIGURE OF DUMPER HANDLE MODIFICATION

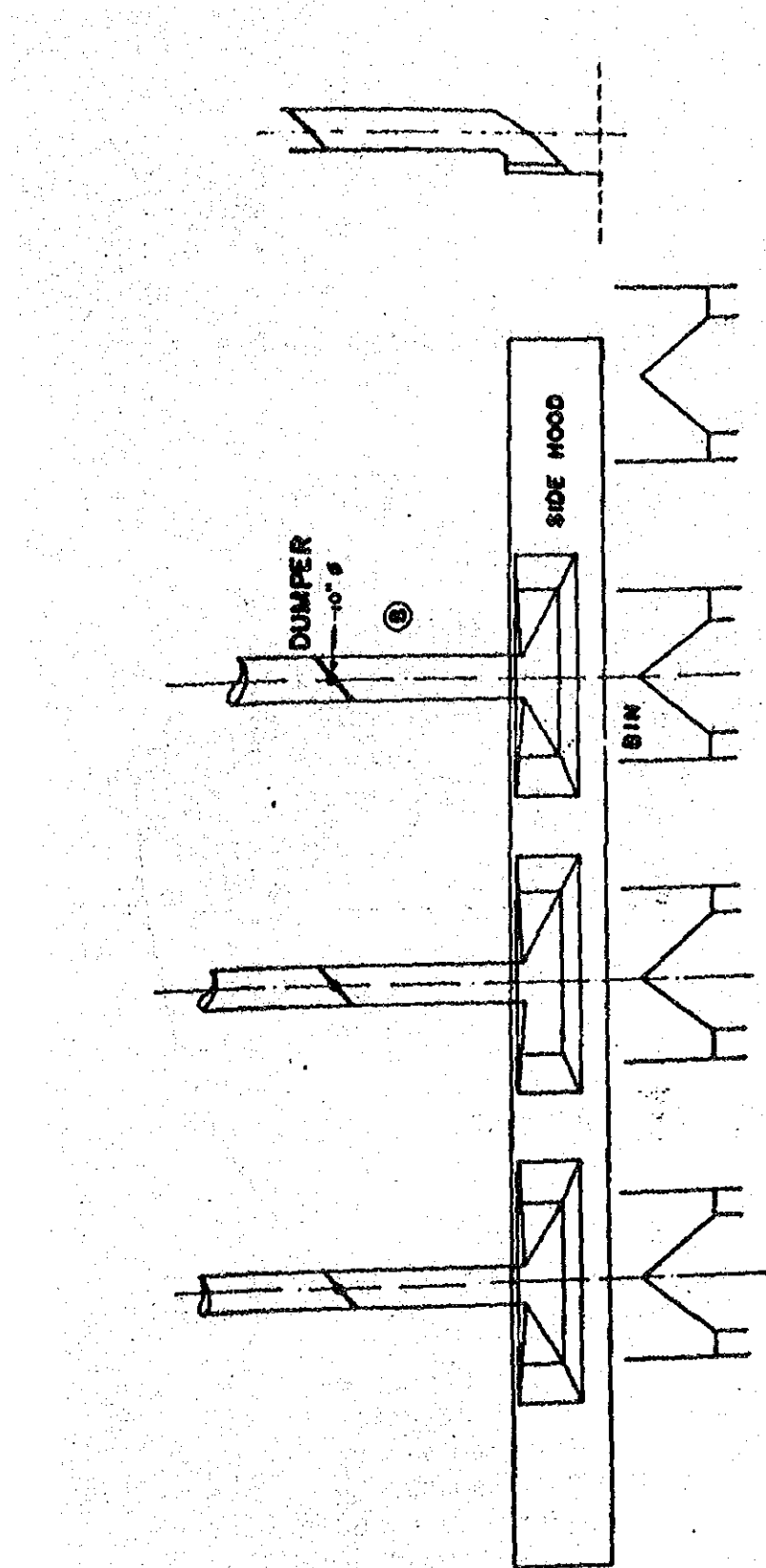
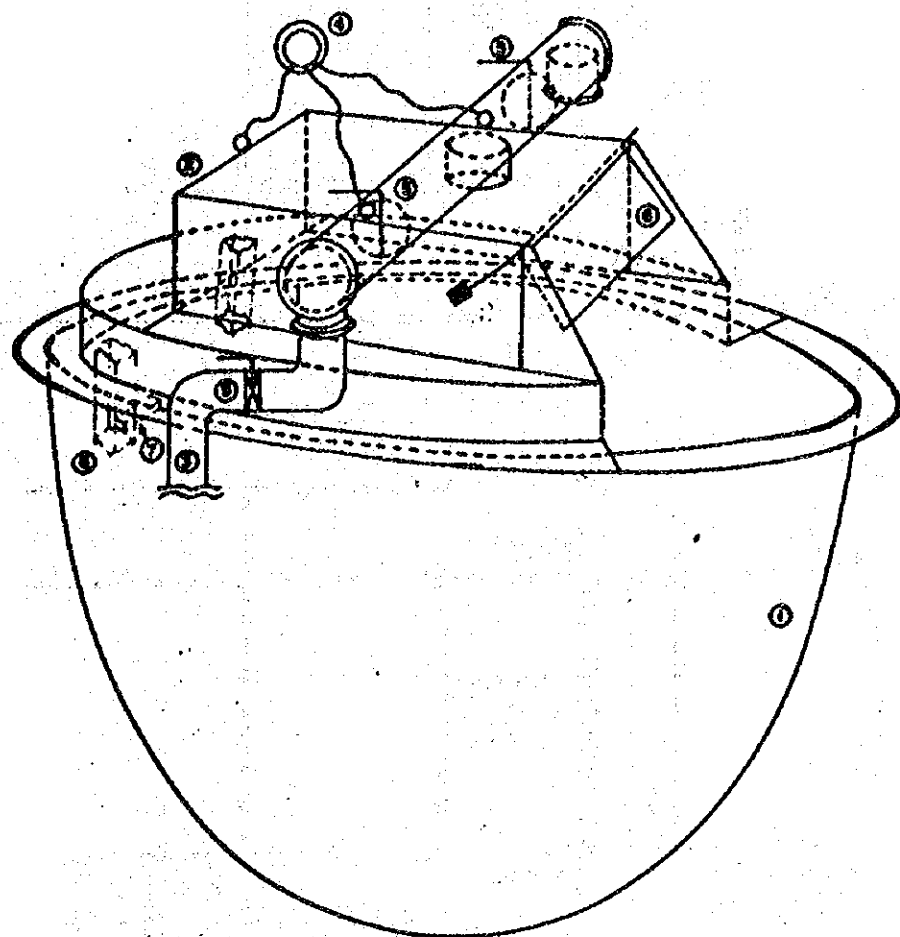


FIG. 5 - FIGURE OF SIDE HOOD ON EQUIPMENT

FIG. 6 - THE SKETCH OF HOOD AND KETTLE



- ① KETTLE
- ② HOOD
- ③ GAS DRAWING PIPE
- ④ HANGING INSTRUMENT
- ⑤ HANDY DUMPER
- ⑥ FIXED POST
- ⑦ BAR FIXED WITH HOOD
- ⑧ MOVABLE HOOD

FIG. 7 - A SIDE VIEW OF HOOD AND POT

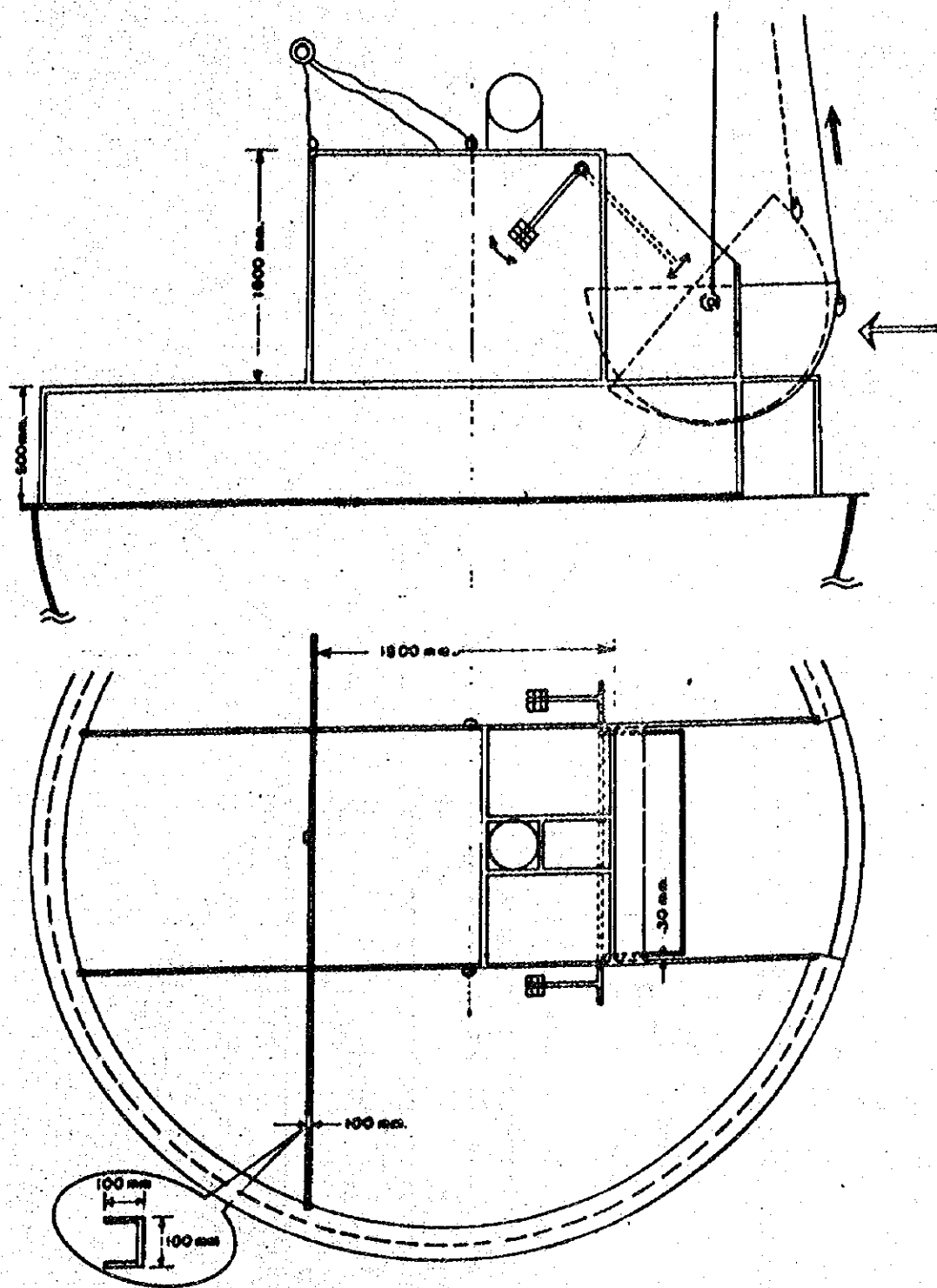


FIG. 8 - A PLANE OF VIEW FIG. 7

P.D.

FIG. 9 - SITUATIONS OF POURING OF CRUDE-LEAD AND DRAWING GASES

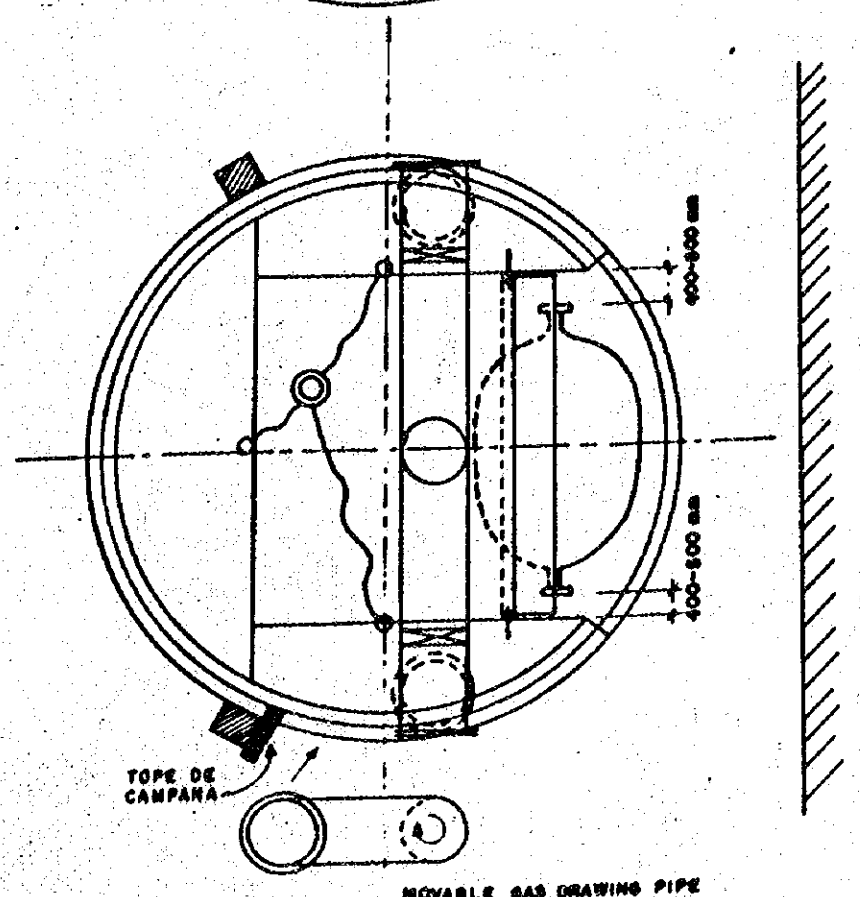
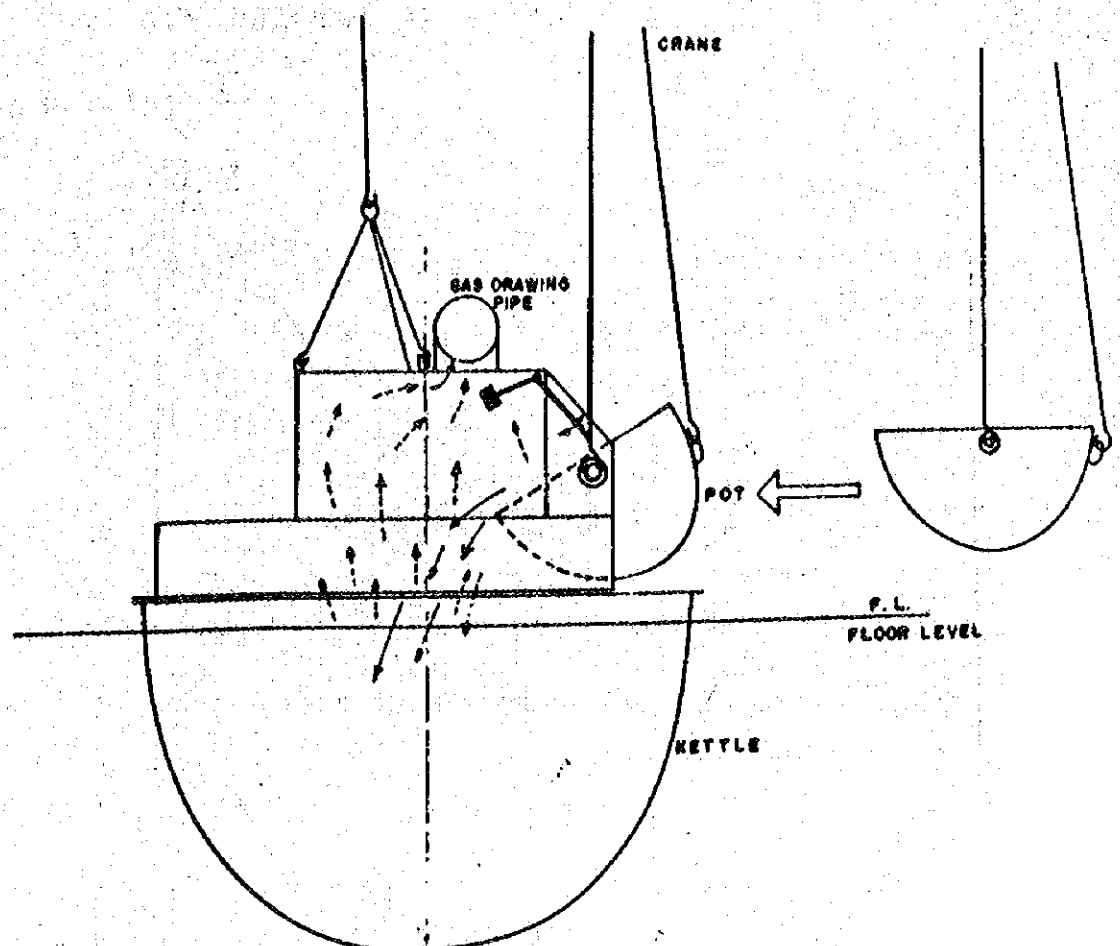
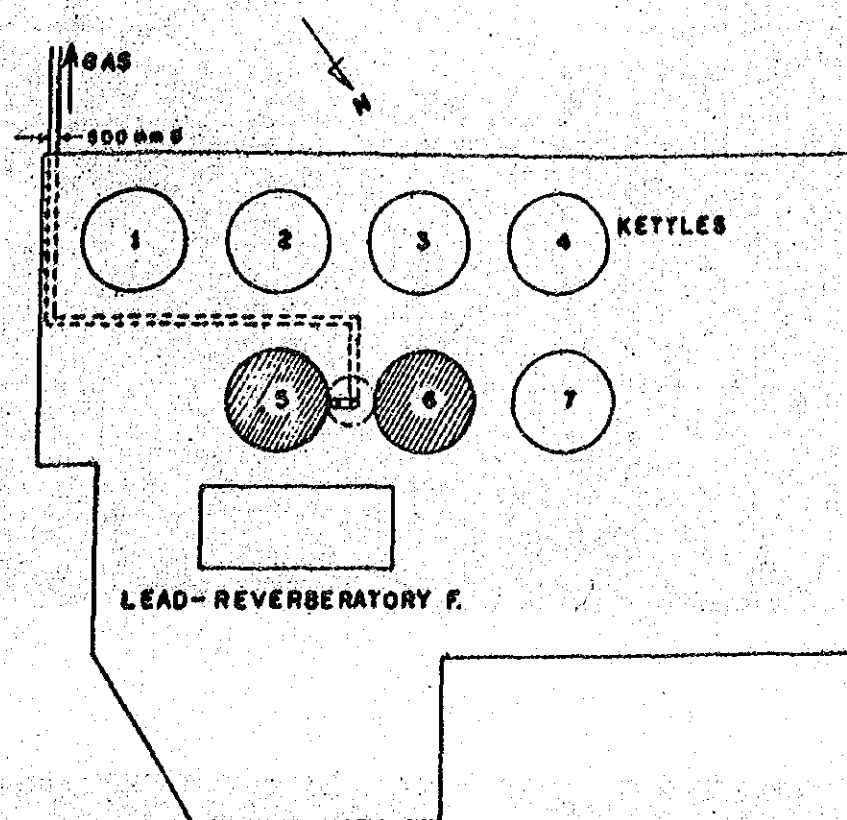


FIG. 10 - A PLANE FIGURE OF POSITIONAL RELATIONS ON HOOD AND POT

FIG. 11 - A PLANE FIGURE OF KETTLE ARRANGEMENT AND THE POSITION OF GAS DRAWING PIPE.

VISTA DE PLANTA



VISTA FRONTAL

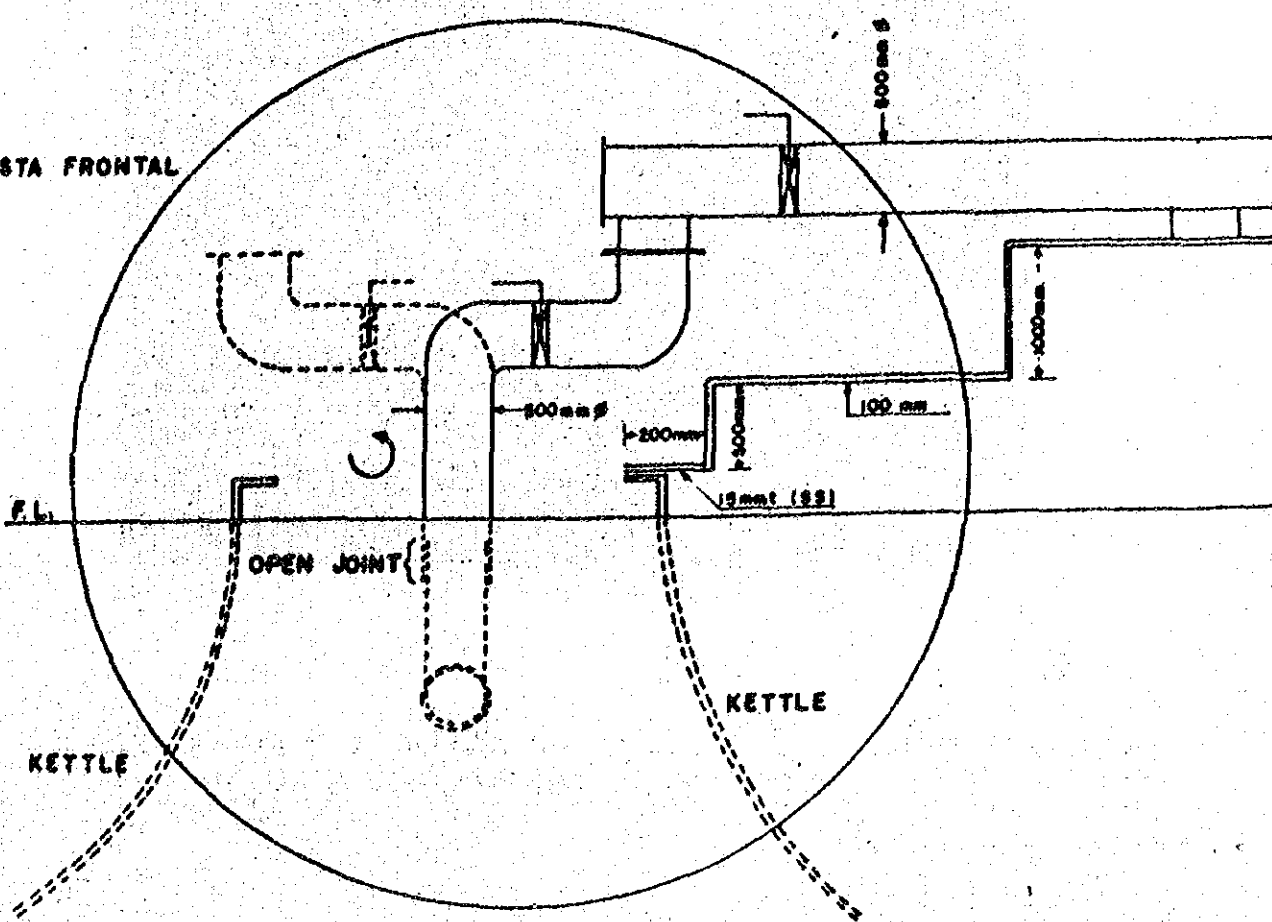
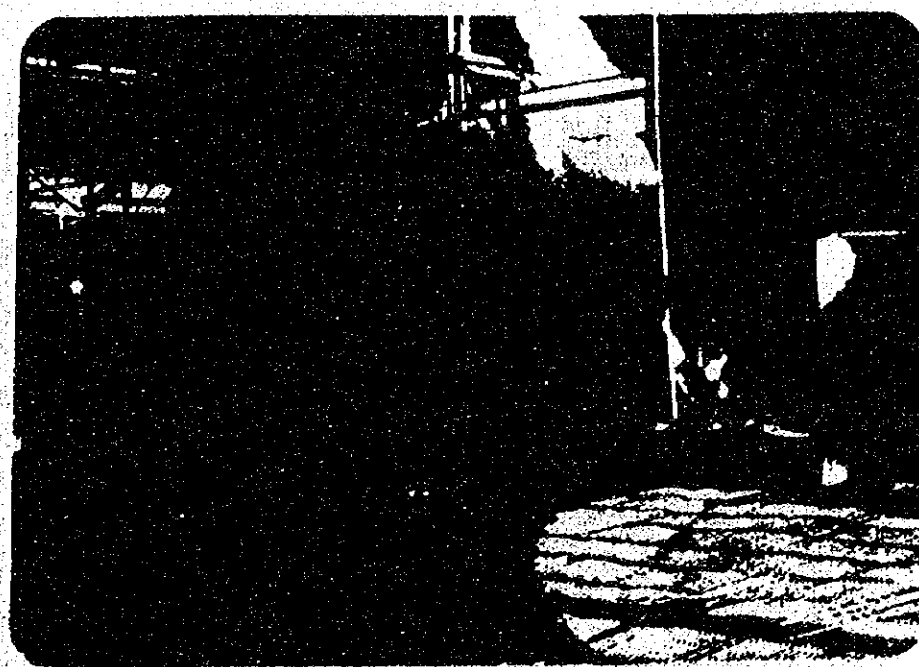
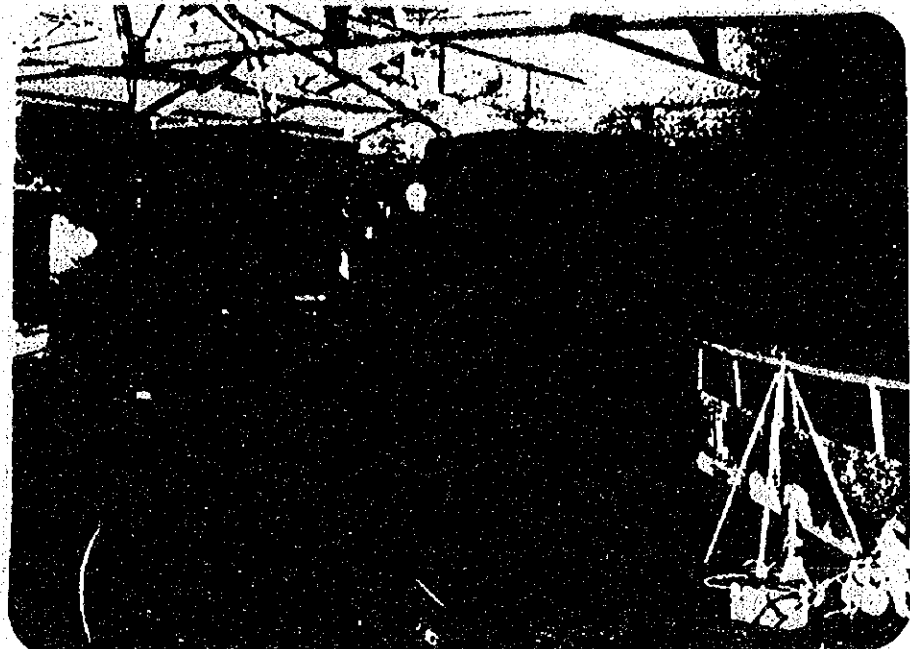
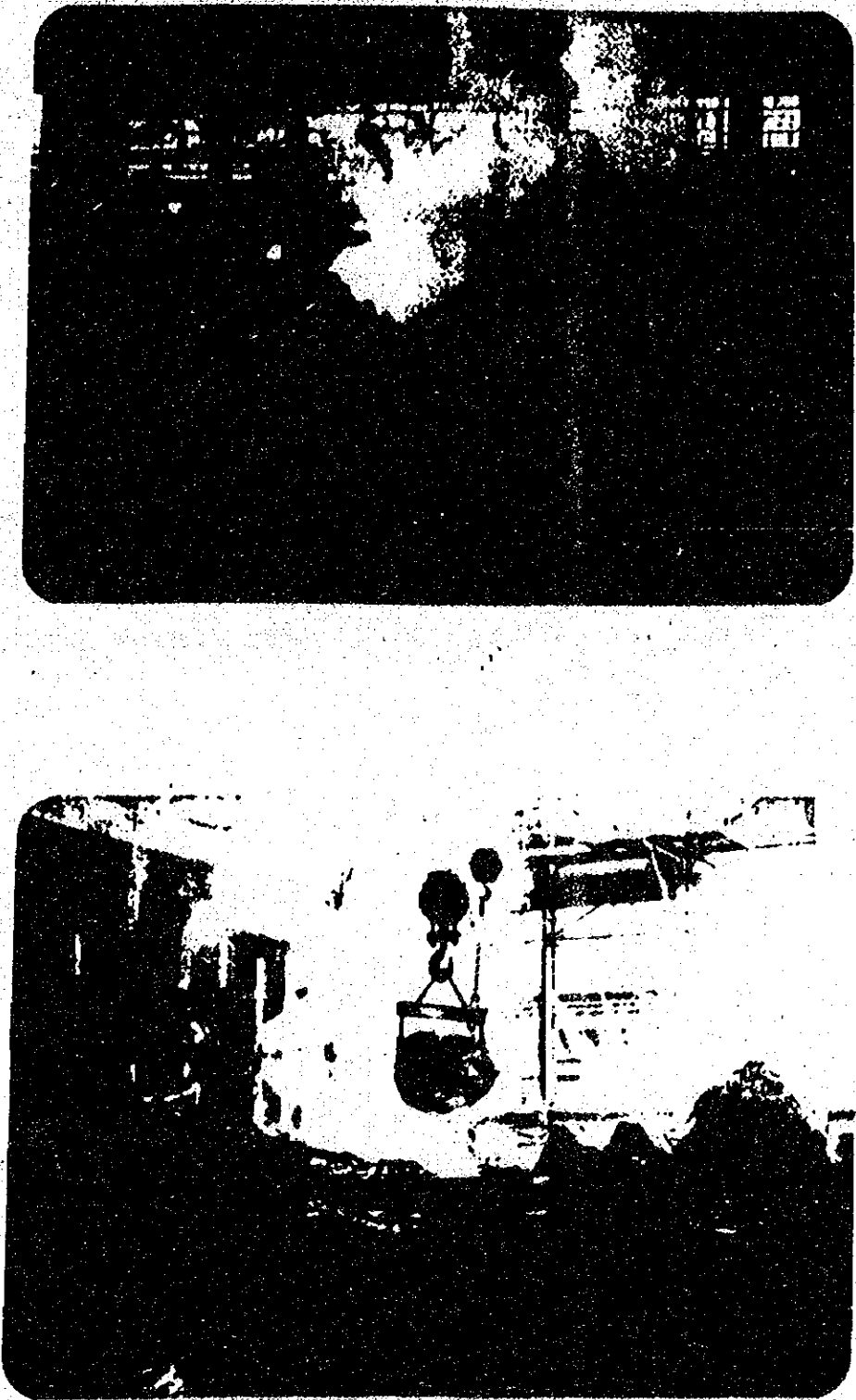


FIG.12 - DETAILS OF CONNECTING PART OF GAS DRAWING PIPE



FOTOGRAFIA N° 1 CONTAMINACION EN EL CARGUO DE CALCI-
NA A LOS HORNOS REVERBEROS .



FOTOGRAFIA N°2 CONTAMINACION AL DESCARGAR EL PLOMO
DE LA TAZA

**CONVENIO DE COOPERACION TECNICA INTER
NACIONAL ENTRE EL GOBIERNO DEL JAPON
Y EL GOBIERNO DEL PERU**

Lima, abril 1981



SECTOR ENERGIA Y MINAS
INSTITUTO GEOLOGICO MINERO Y METALURGICO
INCENMET

DESCRIPCION DE LA PLANTA PILOTO DONADA

POR LA MISION JAPONESA Y SU OPERACION

I . INTRODUCCION

II . FLOWSHEET DE LA PLANTA PILOTO Y SUS MAQUINARIAS

III . DESPERFECTOS MECANICOS Y MODIFICACIONES

A) DESPERFECTOS PRIMARIOS

B) MODIFICACIONES

IV . ALGUNOS EJEMPLOS DE OPERACION DE LA PLANTA PILOTO

A) CON MINERAL DE SAYAPULLO

B) CON MINERAL DE HUAMPAR

V . FUTUROS ESTUDIOS EN LA PLANTA PILOTO

A) CON MINERAL DE TAMBORAQUE

B) CON MINERAL DE TAMINSA

VI . ALGUNAS CONSIDERACIONES PARA EL BUEN USO DE LA PLANTA PILOTO

DESCRIPCION DE LA PLANTA PILOTO DONADA
POR LA MISION JAPONESA Y SU OPERACION

I. INTRODUCCION

Como una forma de Cooperación, el Gobierno del Japón a través de Cooperación Técnica Peruano-Japonesa, donó a los laboratorios del INGEMMET, local UNI (Lima-Perú), una planta piloto de concentración de minerales por flotación, con capacidad para 20 Kg/H. Dicha donación se efectuó en Agosto de 1980 y está operando efectivamente en este momento. Durante casi medio año de operación se han hecho algunas modificaciones en la maquinaria para que trabaje siempre en buenas condiciones. En este informe, presentamos -concretamente una descripción de la planta piloto y algunos ejemplos de pruebas realizadas para pequeños mineros principalmente.

II. FLOWSHEET DE LA PLANTA PILOTO Y SUS MAQUINARIAS

En las figuras 1 y 2 se muestra el flowsheet de la planta. También en la última parte de este informe se presentan algunas fotografías de la planta.

La planta se remitió desde el Japón en 5 cajas con los siguientes volúmenes y pesos:

	Dimensión (LxWxH)	Peso (Kg.)	Volumen (m^3)
1	2.64m x 2.30m x 2.33m	2,950	14.148
2	4.84m x 2.98m x 2.50m	6,740	36.058
3	2.64m x 2.29m x 1.23m	2,210	7,436
4	3.50m x 2.95m x 2.24m	3,750	23.128
5	3.50m x 1.89m x 2.12	2,420	14.024
TOTAL :		18,070	94.794

Las máquinas han sido fabricadas por la Compañía "Kurimoto Iron Works". El 31 de Marzo de 1980, salieron del puerto de Yokohama, Japón, y el 24 de Mayo de 1980 llegaron al puerto del Callao, Perú.

Los equipos donados fueron instalados en los Laboratorios del INGEMMET, local UNI (Lima-Perú), inaugurándose oficialmente el 28 de Agosto de 1980.

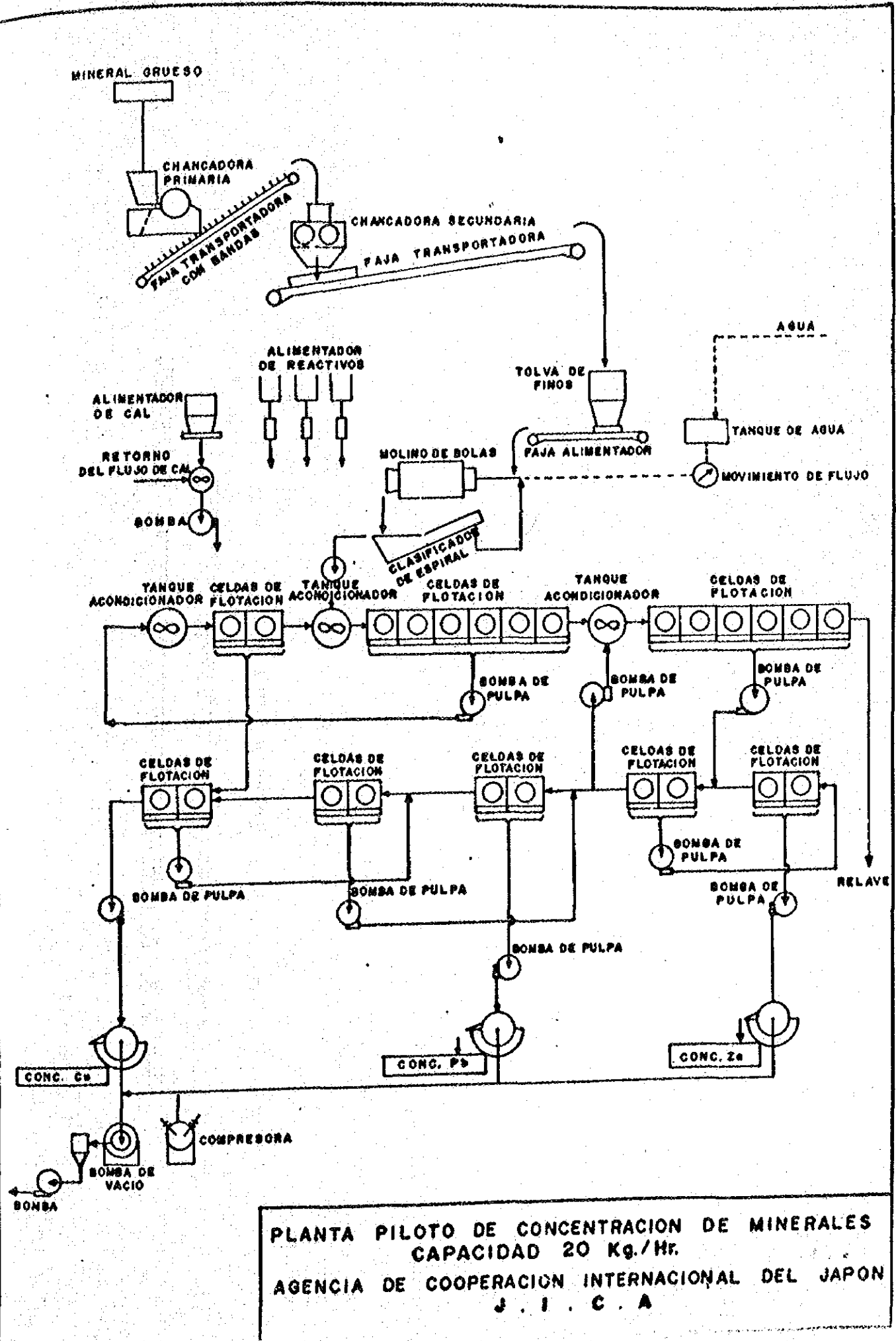
Como referencia, en el siguiente cuadro se indica el costo de - los equipos, embalaje, transporte, seguro, etc.

	*	\$	\$
Equipos 5 cajas	36'000,000	40'680,000	149,405.0
Embalaje	625,044	706,300	2,594.0
Costo de Transporte	4'003,807	4'524,301	16,616.4
Seguro	281,263	317,827	1,167.3
C.I.F. LIMA	40'910,114	46'228,428	169,782.7

Notas:

5 de Marzo 1980: Dólar US 272.280 soles, Yen Japonés 1.130 soles

Los contenidos de las máquinas se muestran en la Tabla 1.

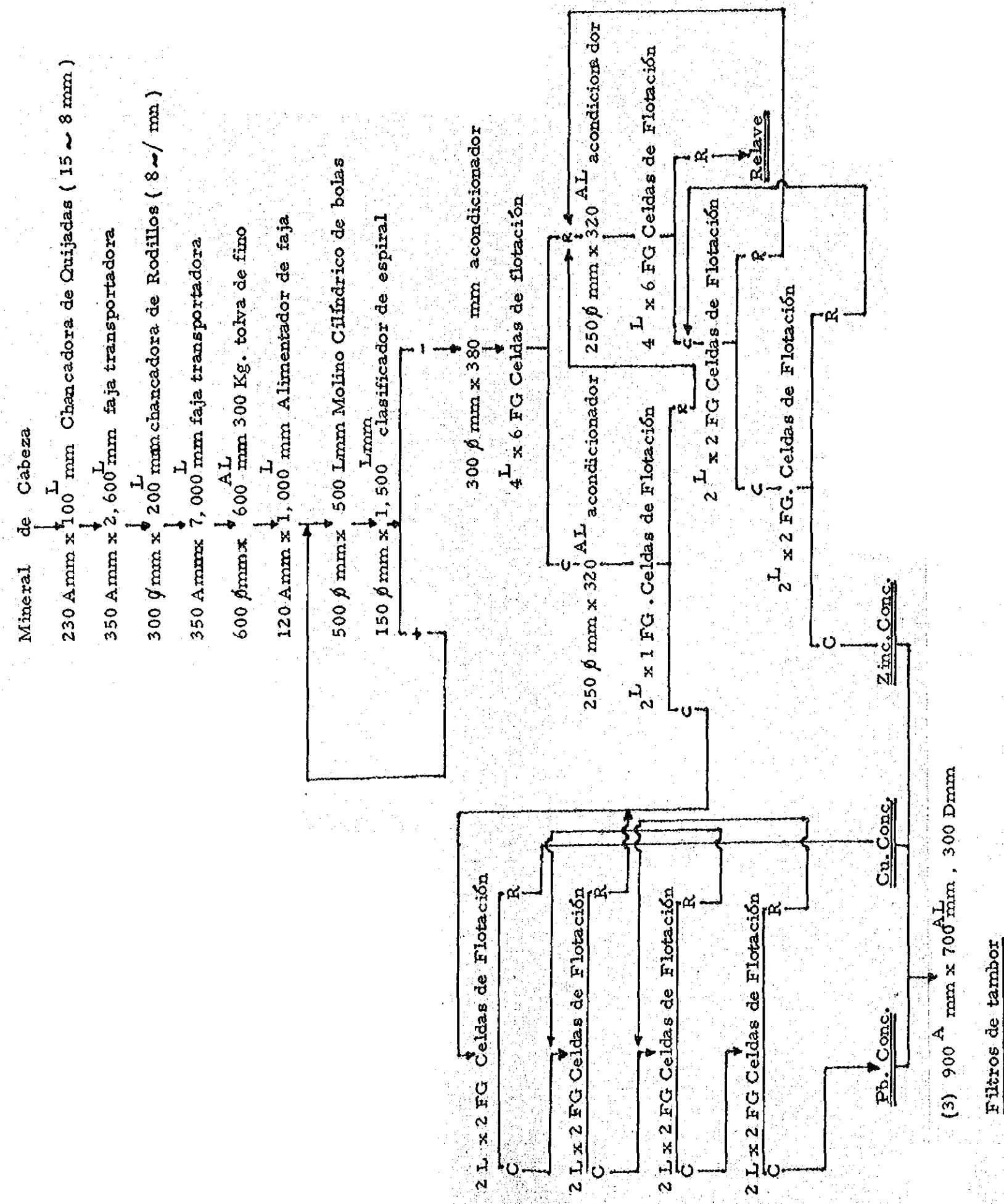


PLANTA DE OPTIMIZACION PARA FLOTACION DE MINERALES

DE COBRE, PILOMO, ZINC ; CAPACIDAD 20 Kg / H.

(Fabricado por Kurimoto Iron Work Co.)

JICA , Misión Japonesa de Minería



T A B L A 1

PILOT PLANT FOR INGEMMET

Nos.	Description of Goods	Quantity	Gross Weight Measurement	Amount \$
IGMM-1	Roll Jaw Crusher with Motor (230W x 100L)	1 set 1	2,950 Kgs. 14,148 m ³	5'810,000
	Roll Crusher with Motor (300 ø x 200L)	1		
	Steel bed (2440x2100x162)	1		
IGMM-2	Flotator, Trough and Trestle with Motor	1 set 2	6,740 Kgs. 36,058 m ³	9'690,000
	Conditioner with Motor (300 ø x 380 H)	1		
	- do - (250 ø x 320 H)	2		
	flotator, Trough and Trestle with motor	6		
	Belt Conveyor (350W x 2600L)1			
	Portable belt conveyor (350W x 7000L)	1		
	Steel Common Bed (2750 x 5270 x 162)	1		
IGMM-3	Control Panel with Support (900 x 250 x 900)	1 set 1	2,210 Kgs. 7,436 m ³	4'249,000
	Steel Bed (2440 x 2100 x 162)1			
	Steel Ball (1"x200Kg., x50Kg. x1/2" 3/4" x 50Kg.)	1		

Cont. TABLA 1

No.	Description of Goods	Quantity	Gross Weight Measurement	Amount
(IGMM-3)	Jaw Plate (Jaw Crusher)	2		
	Check Plate (Jaw Crusher)	2		
	Conveyor Belt 350W x 5.2M	1		
	- do - 350W x 14M	1		
	Roll (Roll Crusher)	2		
	Bearing 22212	4		
	- do - 1205	2		
	- do - 51105	1		
	Plate Liner	24		
	Disc	2		
	Spiral Screw	1		
	Complete set (Slurry pump, Tubing Pump, Driving Mechanism and Bed)	1		
	Flotator Impeller	12		
	Reagent Bottle (Plastics), 3L	25		
	Vinyl Tube and Pintch			
	Valves	40		
	Line Mixing Tank 200 ϕ x 200 H	1		
	Agitator (Variable Speed Motor) 50W, 100V, 1 ϕ	1		
	Transformer 300V/100V - VA-300	1		
	Filter Cloth	1		
	Cocking Cloth	1		
	Flow Meter	1		

Cont. TABLA 1

Nos.	Description of Goods	Quantity	Gross Weight Measurement	Amount ¥
(IGMM-3)	Flow Meter Tool	1		
	Compressor with Motor	1		
	Toggle Plate for Jaw Crusher	1		
	Vinyl Tube 9.5mm 7 coil 3/8 x 5/8" x 50ft.	1		
	- do - 3/8" x 10 ft.	1		
	- do - 1" x 10ft.	1		
	PH Meter with accessories (Standard pH Solution, Spare Electrode)	1		
	Tools with Box YB-4 360 x 150 x 100	1		
	Socket Wrench Set	1		
	Oil for Tubing Pump	1		
	Hose Band 4 packs	1		
	Weir Plate for Flotator	1		
	Tees 10 pcs.	1		
	Pinch valve 10 pcs.	1		
	Tube Joint 3/8" 10 pcs.	1		
	Paint with Brush 1 can	1		
	Lub oil 1 can	1		
	Belt Conveyor Trestle 2pcs.	1		
	Step, 1 pc.	1		

Cont. TABLA 1

Nos.	Description of Goods	Quantity	Gross Weight Measurement	Amount \$
	IGMM-4 Fine Ore Bin (600 Ø 1025H)	1 set	3,750 Kg. 23,128 m ³	91813,000
	Belt Feeder with Motor (100W x 1250L)	1		
	Wet Overflow Ball Mill with Geared Motor (500 Ø 500L)	1		
	Spiral Classifier with Geared Motor (150Øx1500L)	1		
	Water Tank with Frame (600Ø x 300 H)	1		
	Fine Ore Bin Stage (1200 x 1200 x 1400)	1		
	Control Panel with Support (900 x 250 x 900)	1		
	Tubing Pump with Motor	2		
	Line Tank with Support (200 Ø 200L)	1		
	Line Feeder with Variable Speed Drive (100W x 800L)	2		
	Steel Common Bed (2750 x 2630 x 162)	1		
	Hand Rail	2		
	Blower (75Ø)	1		
	Piping with Flowmeter	1		

Cont. TABLA 1

No.	Description of Goods	Quantity	Gross Weight Measurement	Amount ¥
(IGMM-4)	Tubing Pump	7		
	Reagent Feeder Supporting Beam	5		
	Water Piping, Slurrypiping and Airpiping with flow meter	1		
IGMM-5	Drum Filter, Variable Motor Gearred Motor with Common bed (300 Ø x 80 H)	1 set 3	2,420 Kgs. 14,024 m ³ .	6'438,000
	Receiver Tank (318Ø750H)	1		
	Moisture Trap (267Ø600H)	1		
	Vacuum Pump with Motor	1		
	Filtrate pump with motor	1		
	Steel Bed (1550x3100x162)	1		
	Water and Vacuum piping	1		
	Control Panel with support- ing Frame	1		
T O T A L		5 sets	18,070 Kgs. 94,794 m ³ .	¥ 35'000,000
	Shipping Charge			625,044
	Ocean Freight			4'003,807
	Insurance Prem.			281,263
	C.I.F. LIMA			¥ 40'910,114

III. DESPERFECTOS MECANICOS Y MODIFICACIONES

Desde el mes de Agosto de 1980 a la primera semana de Febrero de 1981, la planta de flotación estuvo operando 4 horas en vacío y 34 horas con mineral, y durante este período se han producido desperfectos mecánicos y se han realizado cambios que han beneficiado sustancialmente la operación.

A) Desperfectos Primarios

Sin embargo, hay desperfectos de fabricación que es necesario verificar, y cambiar algunos repuestos como se muestra en la figura 3.

Con fechas: 27 de Octubre 1980 (14 horas de operación), 26 de Noviembre 1980 (22 horas), 26 de Enero 1981 (32 horas, 34 horas) y 28 de Enero 1981 (37 horas); se produjeron la rotura de los ejes de las celdas de flotación (a la altura del empalmé con el motor), de las celdas Nº 2 y Nº 3 del circuito rougher, Nº 9 del circuito rougher de Zn, y Nº 6 y Nº 7 del circuito de limpieza, todo más o menos en un mismo lugar.

Por eso, para no obstaculizar nuestra operación, hemos transferido impulsores completos de otro banco de limpieza que por las características del mineral no es necesario utilizar por el momento.

También, hemos detectado desperfecto del cojineta SKF-6301 correspondiente a la Bomba Nº 2, donde previamente se encontró dos láminas sueltas dentro de la caja del reductor y que ya fueron reparadas.

Por estos desperfectos, se consultó a la oficina de JICA en Tokyo y a la Compañía "Kurimoto Iron Works"; en este momento nos están remitiendo nuevos ejes de hierro Cr-Ni para reemplazar.

zar los que tienen defectos. (El 23 de Marzo, 24 ejes han sido devueltos a su Compañía).

El voltaje eléctrico del laboratorio del INGEMMET, local UNI, baja a 170~150v, por lo que se está tramitando se instale un nuevo transformador que proporcione una tensión uniforme de 220 V.

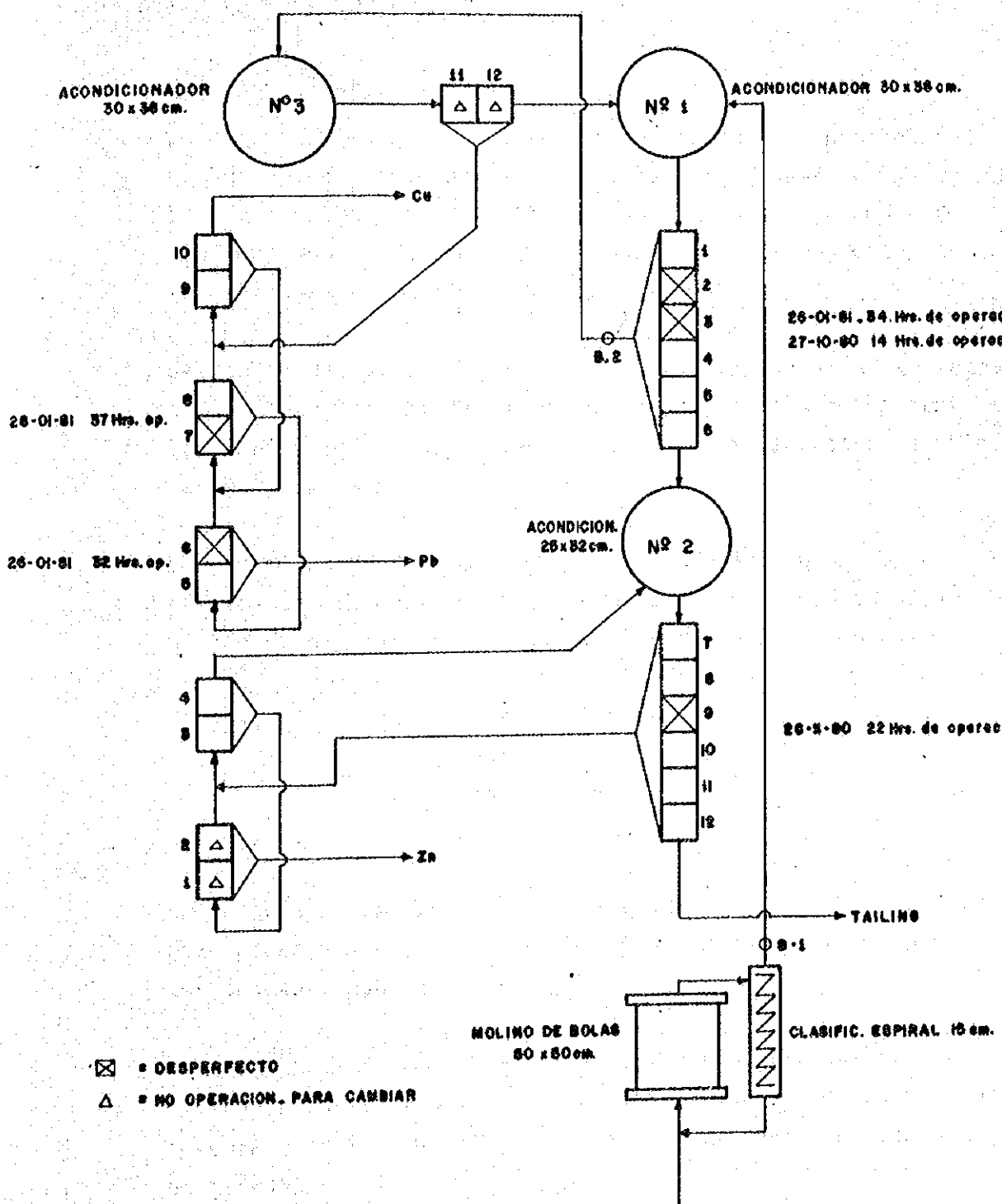
B) Modificaciones

Para mejorar la operación de la planta que al principio tenía mucha dificultad por su alta sensibilidad, se han realizado algunas modificaciones que previamente se consultó entre nosotros. Entre ellas podemos mencionar:

- 1) Se cambió la rotación del scoop, para lo cual fué necesario construir un mecanismo completamente nuevo, esta modificación ha mejorado notablemente el retorno de las arenas del clasificador que anteriormente se obstruían en forma constante.
- 2) Construcción de dos compuertas de guillotine para las celadas de flotación al final de los bancos rougher y scavenger, para mantener un nivel adecuado de pulpa ya que las compuertas del émbolo no trabajan eficientemente.
- 3) Construcción de canal de fierro al final de los bancos de flotación para realizar un eficiente muestreo del relieve general.
- 4) Colocar a un nivel adecuado el acondicionador #1 y evitar en esta forma la obstrucción de la manguera de entrada al circuito rougher.

FIG. 3.- PLANTA DE OPTIMIZACION JICA

CAPACIDAD 80 Kg/Hr.



- 5) Se encuentra en construcción la canaleta de cemento para evacuar los relieves generales.

IV. ALGUNOS EJEMPLOS DE OPERACION DE LA PLANTA PILOTO

A) Con mineral de Sayapullo

La mina de Sayapullo está localizada en la Provincia de Cajabamba, Departamento de Cajamarca; pero se encuentra mas vinculada a la ciudad de Trujillo por una carretera afirmada de ~ 150 Kms. que se deriva desde el pueblo denominado Chicama en la carretera Panamericana Norte.

Sayapullo es una mina muy antigua que anteriormente fue trabajada por su alto contenido de plata y en la que actualmente se benefician los minerales en su planta polimetálica de flotación selectiva.

La capacidad de la planta es de 200 TM/día y opera con una eficiencia de aproximadamente 80% de su capacidad de tratamiento de mineral con las siguientes leyes aproximadas:

Plata	10 onz/TM
Cobre	2%
Pbomo	1%
Zinc	1.50%

Se obtiene concentrados comerciales de muy buena ley para cobre, plomo y zinc; la plata se obtiene como subproducto de los concentrados de cobre y plomo.

Actualmente esta compañía viene realizando trabajos de ampliación para duplicar su actual capacidad, ya que la empresa ha invertido fuertes sumas para aumentar sus reservas probables de mineral en mina.

Los minerales predominantes en el asiento minero de Sayapu llo son los denominados cobres grises, con altos contenidos de plata, arsénico y antimonio; el plomo se encuentra como galena y el zinc en la forma de esfalerita con abundancia de piritas, cuarzo y otras gangas.

Los concentrados de cobre, plomo y zinc son transportados para su embarque al puerto de Salaverry en el Departamento de La Libertad.

1) Primera Prueba:

Para confirmar la operación de la planta piloto, el día 20 de Agosto de 1980 se puso en funcionamiento las maquinarias con mineral de la Compañía Minera Sayapullo S.A. No se obtuvieron buenos resultados a pesar de que el funcionamiento de las maquinarias operó más o menos bien.

El primer problema en este caso estuvo en el calentamiento de los motores de las caldas de flotación, ocasionado por el bajo voltaje existente de $170v \sim 150v$. Después de 3 horas de operación se consiguieron los siguientes resultados:

En la Figura N° 4 se muestra la dosificación de reactivos.

a) ANALISIS DE MALLA (PLANTA PILOTO - MISION JAPONESA)

Figura N° 5

MALLA	ALIMENTACION		DESCARGA		DESCARGA	
	CHANCADORA		CHANCADORA PRIMARIA		CHANCADORA SECUNDARIA	
	Peso (grs.)	%	Peso (grs.)	%	Peso (grs.)	%
+ 1"	3300	38.37	-	-	-	-
+ 3/4"	2800	32.56	-	-	-	-
+ 1/2"	1420	16.51	70	7.14	-	-
+ 1/4"	340	3.95	455	46.43	-	-
+ 8	120	1.40	223	22.76	189	27.00
+ 10	38	0.44	32	3.27	101	14.43
+ 14	40	0.47	35	3.57	84	12.00
+ 20	32	0.37	34	3.47	80	11.43
+ 35	95	1.10	39	3.98	87	12.43
+ 65	110	1.28	27	2.76	65	9.29
- 65	305	3.55	-	-	-	-
+ 100	-	-	15	1.53	31	4.43
+ 150	-	-	12	1.22	20	2.86
+ 200	-	-	13	1.33	13	1.86
- 200	-	-	25	2.55	30	4.29
TOTAL	8600	100.00	980	100.01	701	100.02

NOTA: La capacidad de Chancadora es de 240 Kg/H.

b) ANALISIS DE MALLA (PLANTA PILOTO - MISION JAPONESA)

MALLA	ALIMENTACION-MOLINO		ALIMENTACION-FLOTACION	
	Peso (grs.)	%	Peso (grs.)	%
+ 8	189	27.00	-	-
+ 10	101	14.43	-	-
+ 14	84	12.00	-	-
+ 20	80	11.43	-	-
+ 35	87	12.43	-	-
+ 65	65	9.29	-	-
+ 100	31	4.43	1.3	0.3
+ 150	20	2.86	8.0	1.8
+ 200	13	1.86	16.6	3.7
- 200	30	4.29	424.0	94.2
TOTAL	690	100.02	452.0	100.0
LEYES				
Cu		0.99		1.35
Zn		1.10		1.30
Fe		15.19		16.90

Note: La capacidad de molino y flotación están 30 Kg./H.

c) FLOTACION RESULTADOS

PRODUCTOS	LEYES %		
	Cu	Zn	Fe
ALIMENTACION-PLANTA	0.99	1.10	15.19
DESCARGA DE MOLINO	1.38	1.24	16.29
DERRAME DE CLASIFICADOR	1.35	1.30	16.90
CABEZA DE CU FLOT.	1.38	1.30	16.60
ROUGHER CONC. DE CU	2.97	2.49	14.58
CONCENTRADO DE CU	12.01	1.89	15.74
RELAVE DE CLEANER-CU	3.19	1.64	12.92
CABEZA DE Zn FLOT.	0.38	0.89	16.44
ROUGHER CONC. DE Zn	1.40	2.29	16.85
CONCENTRADO DE Zn	1.11	2.69	16.60
RELAVE	0.19	0.72	6.54

d) CONSIDERACION DE FLOTACION: RESULTADOS

Sean F , C , T los pesos de los productos de alimentación, concentración y relave; también f , c , t las leyes de alimentación, concentración y relave respectivamente. En este caso, se forman los siguientes balances:

$$F \approx C + T$$

$$FF \approx cC + tT$$

Considerando a R como la recuperación, se puede deducir las siguientes fórmulas en función a leyes y pesos:

$$R = \frac{c(f - t)}{f(c - t)}$$

$$C = F \frac{(f - t)}{(c - t)}$$

Por ejemplo, $c = 12.01$, $f = 1.38$, $t = 0.38$, en este caso,

$$R = \frac{12.01 \times (1.38 - 0.38)}{1.38 \times (12.01 - 0.38)} \approx 74.8\%$$

$$C \approx 100 \times \frac{(1.38 - 0.38)}{(12.01 - 0.38)} \approx 8.6\%$$

De acuerdo con este método, se puede calcular R , C , desde sus leyes. Un ejemplo de los resultados calcula-

dos con este método es el siguiente:

PRODUCTO	LEYES %			RECUPERACION %		
	Cu	Zn	Fe	Wt	Cu	Zn
Cabeza de Flotación	1.38	1.30	16.60	100.0	100.0	100.0
Concentrado de Cu	12.01	1.89	15.74	8.6	74.8	59.6
Concentrado de Zn	1.11	2.69	16.60	7.9	23.9	10.6
Relave	0.19	0.72	6.54	83.5	1.3	29.9
(Cabeza de F. de Zn)	0.38	0.89	16.44			

O sea, en este caso los resultados no están bien. Todavía no se obtiene una buena separación, en el concentrado de Cu está flotando mucho Zn, y en el concentrado de Zn no se están consiguiendo buenos resultados. Es necesario realizar más investigaciones para obtener buenos resultados.

e) OTRA CONSIDERACION DE FLOTACION: RESULTADOS POR CALCULO

Se puede calcular por sus leyes de acuerdo al siguiente método: En el caso de las leyes arriba mencionadas, si C_1 , C_2 son los pesos de concentrado de Cu y Zn, para las leyes de Cu y Zn se forman las siguientes fórmulas:

$$\begin{aligned} F &= C_1 + C_2 + T \\ 1.38 F &= 12.01C_1 + 1.11C_2 + 0.19T \quad (\text{para Cu}) \\ 1.30 F &= 1.89C_1 + 2.69C_2 + 0.72T \quad (\text{para Zn}) \end{aligned}$$

Desde estas fórmulas se pueden obtener C_1 y C_2 por cálculo
o sea, en general en los casos de las siguientes fórmulas
se pueden obtener x, y, z por cálculo.

$$a_1x + b_1y + c_1z = d_1$$

$$a_2x + b_2y + c_2z = d_2$$

$$a_3x + b_3y + c_3z = d_3$$

cuando:

$$D = \begin{vmatrix} a_1 & b_1 & c_1 \\ a_2 & b_2 & c_2 \\ a_3 & b_3 & c_3 \end{vmatrix} \neq 0, \quad x = \frac{d_1 b_1 c_1}{D}$$

$$y = \frac{a_1 d_1 c_1}{D}$$

$$z = \frac{a_1 b_1 d_1}{D}$$

O sea:

1	1	1
1.38	1.11	0.19
1.30	2.69	0.72

$$C_1 = \frac{1.38 \cdot 1.11 \cdot 0.19 - 1.30 \cdot 1.11 \cdot 0.72}{1 \cdot 1 \cdot 1} = 8.15\%$$

12.01	1.11	0.19
1.89	2.69	0.72

1	1	1
12.01	1.38	0.19
1.89	1.30	0.72

$$C_2 = \frac{1}{12.01 + 1.38 + 0.19} = 24.60\%$$

1	1	1
12.01	1.11	0.19
1.89	2.69	0.72

Desde estos valores se pueden calcular para la Flotación los resultados siguientes:

PRODUCTO	LEYES %			Recuperación %		
	Cu	Zn	Fe	Peso (%)	Cu	Zn
Cabeza de F.	1.38	1.30	16.60	100.0	100.0	100.0
Conc. de Cu	12.01	1.81	15.74	8.15	70.93	11.35
Conc. de Zn	1.11	2.65	16.60	24.60	19.79	50.90
Relave	0.19	0.72	16.70 (6.54)	67.25	9.28	37.75

Estos resultados son algo diferentes de los anteriores, pero la recuperación de Cu es más o menos igual en ambas tablas, y la recuperación de Zn es algo más. En este momento todavía no se llega a un buen balanceo.

FIGURA N° 4

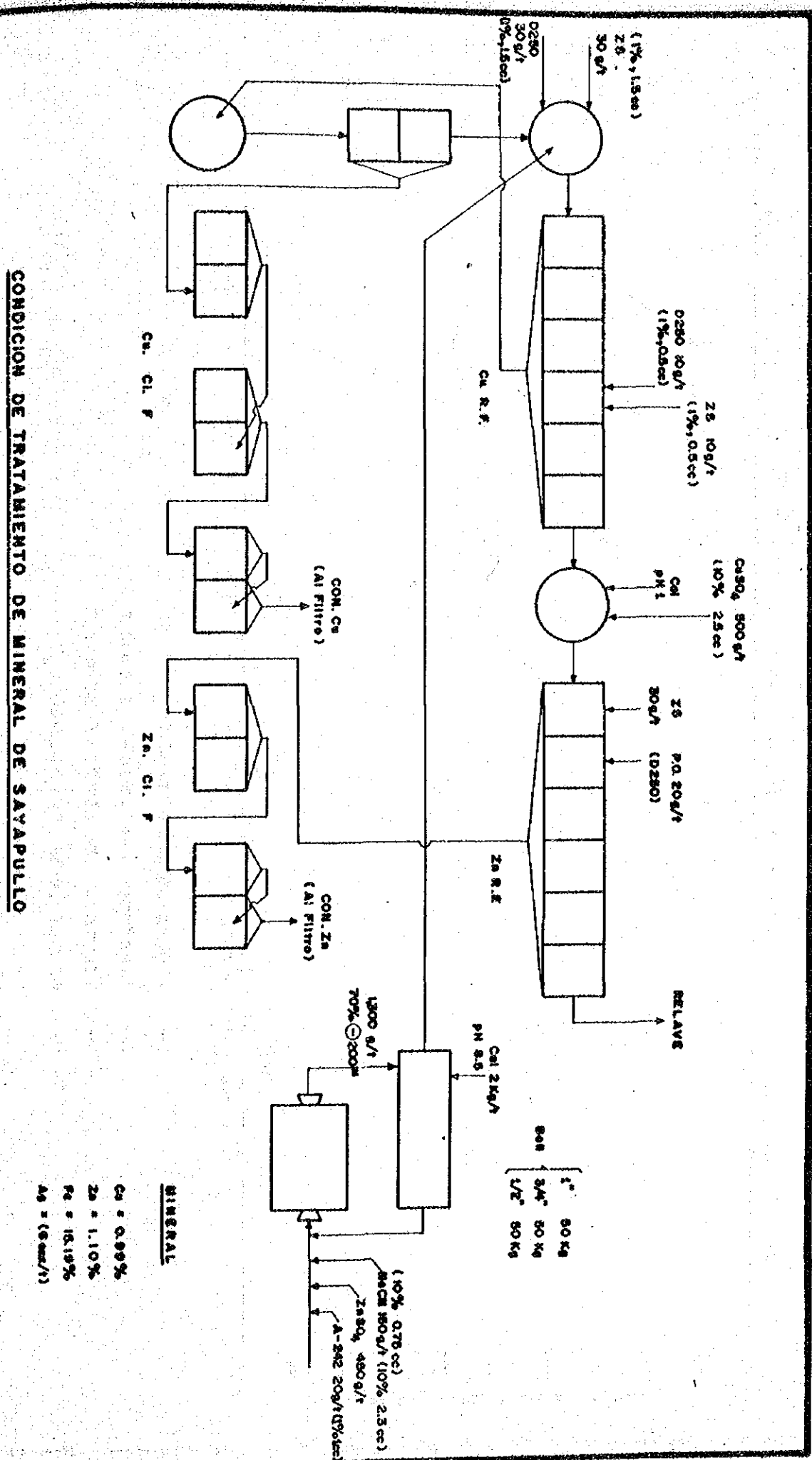
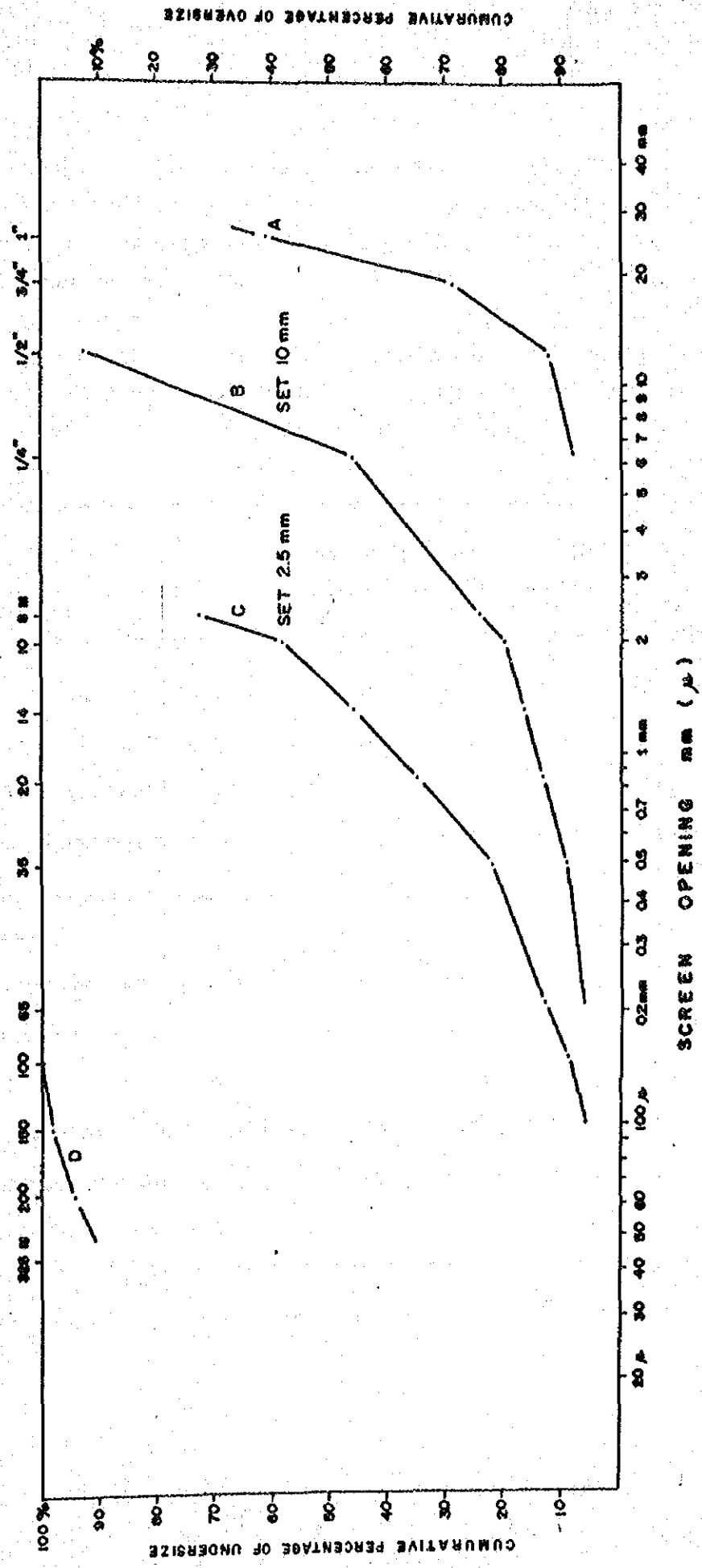


FIGURA N° 5

ANALISIS DE MALLA (PLANTA PILOTO)

Sample 20/8/30

- A.- ALIMENTACION CHANCADORA
- B.- DESCARGA CHANCADORA PRIMARIA
- C.- DESCARGA CHANCADORA SECUNDARIA
- D.- ALIMENTACION FLOTACION



FEZ

2) Segunda Prueba:

Las pruebas desarrolladas con mineral de Seyepullo tienen como finalidad primordial ajustar el funcionamiento mecánico de las maquinarias y en lo posible obtener un buen resultado metalúrgico.

La segunda prueba conservó la dosificación de reactivos de la primera y se trató de mejorar el control de operación. Se han obtenido los siguientes resultados:

	Ag oz/TC	Cu%	Pb%	Zn%
1 Entrada a Molino	5.36	1.60	0.15	1.00
2 Descarga del Molino	5.25	1.45	0.10	1.42
3 Retorno al Molino	5.83	1.20	1.86	1.40
4 Overflow del clasificador	6.76	1.30	0.50	1.60
5 Espumas del bulk	17.49	5.30	0.30	1.15
6 Retorno al Acondicionador # 2	6.41	1.55	0.15	1.30
7 Espumas bulk zinc	7.36	2.40	0.09	3.35
8 Retorno al zinc	12.24	2.60	0.07	6.50
9 Especial cabeza zinc	2.56	0.25	0.08	1.05
10 Especial relieve General	1.40	0.10	0.09	0.42
11 Especial cobre # 1	7.00	2.30	0.10	6.40
12 Especial Cu-Zn # 2	9.33	5.10	0.09	1.22
		0.200		

El resultado del tratamiento del mineral de Sayapullo en la planta piloto, de acuerdo a las leyes del análisis químico se dan en los siguientes cuadros. En el caso de no haber conseguido un buen resultado, esto puede deberse a diferentes factores; por ejemplo, la ley final de concentrado de cobre es más baja que la ley de concentrado rougher.

Este problema tiene relación con la toma de muestra y la precisión del análisis químico, es necesario cuidar el tratamiento de sus muestras. Además estos cálculos son muy complicados, y para acelerar la velocidad de cálculo y para aumentar la precisión, en el futuro es necesario calcular las pruebas muchas veces, utilizando un mini-computador que tendría que instalarse al lado del laboratorio.

EL RESULTADO DEL TRATAMIENTO DEL MINERAL DE SAYAPULLO EN LA PLANTA PILOTO		DISTRIBUCION %						NOTA				
PRODUCTOS	PESO %	L	E	S	Cu	Pb	Zn	A9	Cu	Pb	Zn	
(Círculo de Molino)	(5.36)	(5.36)	(5.36)	(5.36)	(5.36)	(5.36)	(5.36)	(1.00)	(1.00)	(1.00)	(1.00)	
1 Entrada al Molino	100.0	5.99	1.60	0.15	—	—	—	100.0	100.0	100.0	100.0	
2 Descarga del Molino	175.0	5.25	1.45	0.12	—	—	—	153.26	158.59	140.3	182.92	
3 Retorno al Molino	75.0	5.10	1.25	0.08	—	—	—	63.85	58.59	40.0	82.92	
4 Overflow del Clasificador	100.0	5.99	1.60	0.15	—	—	—	100.00	100.0	100.0	100.0	
(Círculo de flotación)	—	—	—	—	—	—	—	—	—	—	—	
4 Overflow del Clasificador	100.0	5.99	1.60	0.15	—	—	—	100.0	100.0	100.0	100.0	
Especial Cu-Zn	21.6	9.33	5.10	0.09	(0.09)	(1.22)	(1.22)	65.24	74.36	44.40	22.72	
(Concentrado de Cu)	—	—	—	—	—	—	—	—	—	—	—	
Espumas del Bulk Cu	5 (Concentrado Crudo de Cu)	22.8	17.49	5.30	0.30	—	1.15	—	66.52	75.53	45.60	24.16
Retorno al Acond. #1	—	1.2	6.41	1.55	0.15	—	1.30	—	1.28	1.16	1.20	1.44
(Releve de Limpieza Cu)	—	—	(2.56)	(0.25)	(0.08)	(1.05)	(1.05)	—	—	—	—	—
Especial Cabeza de Zn	—	78.4	2.66	0.52	0.11	—	1.07	—	34.76	25.64	55.60	77.28
(Releve de Flot. Cu)	—	—	(7.00)	(2.30)	(0.10)	(5.40)	(5.40)	—	—	—	—	—
Especial Cobre #1	—	—	—	—	—	—	—	—	—	—	—	—
11 (Conc. de Zn)	—	10.0	11.27	3.42	0.22	—	5.15	—	18.80	21.36	14.53	50.81
Espumas del Bulk Zn	—	—	(7.34)	(2.15)	(0.09)	(3.35)	(3.35)	—	—	—	—	—
7 (Conc. Crudo de Zn)	—	15.0	10.21	3.14	0.17	—	5.87	—	25.54	29.49	16.86	81.12
8 Retorno al Acond. #2	—	—	—	—	—	—	—	—	6.74	8.15	2.33	30.31
(Releve de flot. Zn)	—	5.0	12.24	2.60	0.07	—	6.58	—	—	—	—	—
10 Especial relave general	68.4	1.40	0.10	0.09	0.42	—	—	15.96	4.28	41.07	26.47	Relave

Nota. → Las cifras de arriba con () significan leyes enalizadas y bajas leyes calculadas con balance

RESULTADOS CALCULADOS

Nº	Peso %	LEYES				CONTENIDO				DISTRIBUCION %			
		Aq	Cu	Pb	Zn	Aq	Cu	Pb	Zn	Aq	Cu	Pb	Zn
1	100.0	(5.36)	(1.00)	(536)	(100)	100.0	100.0	100.0	100.0	100.0	100.0	100.0	100.0
2	175.0	5.25	1.45	0.12	1.13	918.75	253.75	21.0	198.54	153.26	158.59	140.0	182.92
3	75.0	(5.83)	(1.20)	(1.86)	(1.40)	(437.25)	(90)	(139.5)	(105)	63.85	58.59	40.0	82.92
4	100.0	5.10	1.25	0.08	1.20	382.75	93.75	6.0	90.0	-	-	-	-
4	100.0	(6.76)	(1.30)	(0.50)	(1.50)	(696)	(150)	(50)	(150)	-	-	-	-
5	21.6	1.99	1.60	0.15	1.08	599.47	160.0	15.0	108.54	100.0	100.0	100.0	100.0
5	22.8	(9.33)	(5.10)	(0.09)	(1.22)	(201.53)	(110.16)	(1.94)	(26.35)	-	-	-	-
6	6.41	18.11	5.51	0.31	1.14	391.08	118.98	6.66	24.66	65.24	74.36	44.40	22.72
6	1.2	(2.56)	(0.25)	(0.08)	(1.05)	(200.70)	(19.6)	(6.27)	(82.32)	-	-	-	-
7	78.4	2.66	0.52	0.11	1.07	208.39	41.02	8.34	83.88	34.76	25.64	55.60	77.28
7	10.0	(2.56)	(0.25)	(0.08)	(1.05)	(201.53)	(110.16)	(1.94)	(26.35)	66.52	75.53	45.60	24.16
8	78.4	2.66	0.52	0.11	1.07	398.77	120.84	6.84	26.22	-	-	-	-
8	10.0	(9.33)	(5.10)	(0.09)	(1.22)	-	-	-	-	65.24	74.36	44.40	22.72
9	78.4	2.66	0.51	0.31	1.14	-	-	-	-	-	-	-	-
9	10.0	(7.00)	(2.30)	(0.10)	(5.40)	-	-	-	-	-	-	-	-
10	68.4	10.0	11.27	3.42	2.22	5.15	112.69	34.18	55.15	18.80	21.36	14.53	50.81
10	10.0	1.40	0.10	0.09	0.42	-	95.90	6.84	6.16	15.96	4.28	41.07	26.47
11	15.0	(7.34)	(2.15)	(0.09)	(3.35)	(110.40)	(32.32)	(1.35)	(50.25)	-	-	-	-
11	10.0	10.21	3.14	0.17	5.87	152.09	47.18	2.53	88.05	25.54	29.49	16.86	81.12
8	5.0	12.24	2.60	0.07	6.58	-	-	-	-	18.80	21.36	14.53	50.81
8	5.0	12.24	2.60	0.07	6.58	40.40	13.00	0.35	32.90	6.74	8.15	2.33	30.31

••• Cálculo del Circuito del Molino y Clasificador

El balance del circuito del molino y clasificador se puede recalcular por sus leyes, según la figura 6.

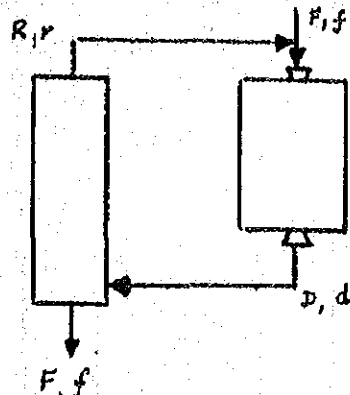


Fig. 6

Considerando cantidades y leyes de la alimentación al molino, retorno al molino y descarga del mismo como F, R, D y f, r, d , respectivamente, llegamos a la fórmula siguiente:

$$D = R + f$$

$$D_d = R_r + F_f$$

A partir de estas fórmulas el retorno al molino se calcula por la siguiente fórmula:

$$R = F \frac{(d-f)}{r-d}$$

Por ejemplo, si $f = 1.60$, $d = 1.45$ y $r = 1.20$ de acuerdo a la tabla de la página 14, en el balance de cobre

$$R = F \frac{(d-f)}{r-d} = 100 \times \frac{1.45 - 1.60}{1.20 - 1.45} = 75\%$$

O sea, el retorno al molino sería 75% de la alimentación del molino.

b- Cálculo del Circuito de Flotación

En este caso, los cálculos por leyes se pueden aplicar en las fórmulas conocidas de la página 10 de dos productos.

En la Fig. 7 se tiene: $F = C_{12} + T_{10}$, 4, 12 y 9

($C_{uRC} = CuC = CuR$, 5 = 12 = 6) y

$Zn F, Zn C, T, 9 = 11 = 10$

$Zn R C = Zn C = Zn R, 7 = 11 = 8$

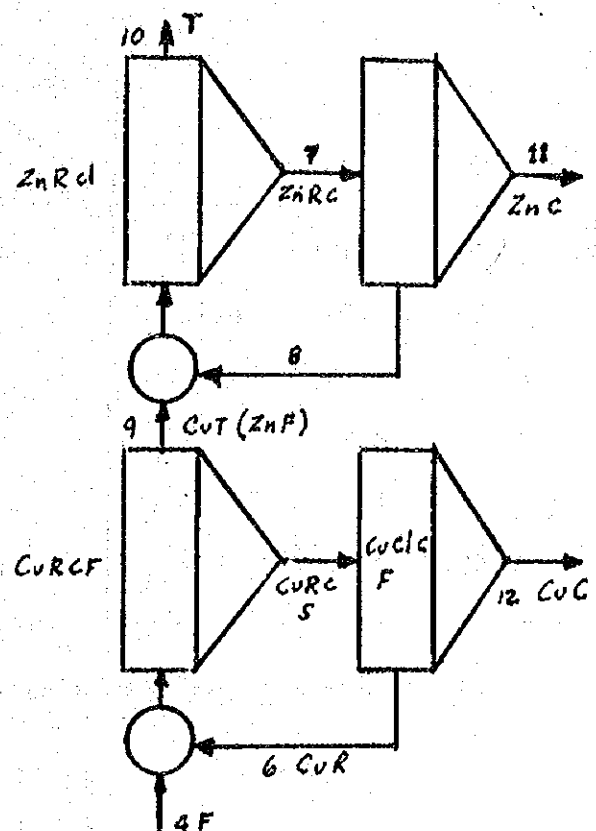


Figura 7

Con los datos anteriores se pueden formar las ecuaciones siguientes:

$$1) \quad F_4 = C_{12} + T_{10}$$

$$2) \quad F_5 = C_{12} + T_6$$

$$3) \quad F_9 = C_{11} + T_{10}$$

$$4) \quad F_7 = C_{11} + T_8$$

En cada ecuación se puede reemplazar las leyes y luego aplicar la siguiente fórmula:

$$C \approx F \left(\frac{f-t}{c-t} \right)$$

Los resultados después de reemplazarlos por las leyes de Ag, Cu, Pb y Zn, se obtiene:

Leyes Cantidad	Ag	Cu	Pb	Zn	Valor Adaptado
Fe	100	100	100	100	100
C ₁₂	62.0	21.6	42		21.6
F ₅	C ₁₂ × 26.3	C ₁₂ × 94.7	C ₁₂ × 53.3		20.45
F ₉		78.4			78.4
C ₁₁	F ₉ × 20.7	F ₉ × 6.8	F ₉ × 12.7		10.0
F ₇	C ₁₁ × 107.4	C ₁₁ × 150	C ₁₁ × 50		15.0

En este caso los resultados son diferentes

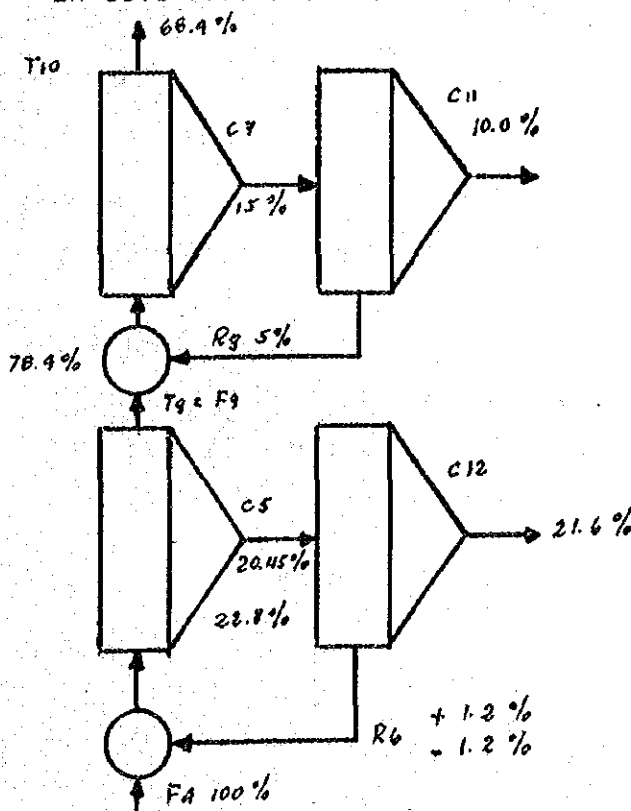


Figure 8

B) Con Mineral de Huámpar

Los yacimientos de Huámpar se encuentran a 4,200 m.s.n.m. en la jurisdicción de la provincia de Huarochirí, Departamento de Lima; son depósitos polimetálicos, los elementos valiosos que predominan en mayor porcentaje son Pb, Ag y Zn. La Cía. Minera Huámpar S.A. tiene en explotación 3 yacimientos principales y un yacimiento en el que predominan minerales de Ag denominado Mine Aurelio.

La capacidad instalada de la planta es 350 TMS/Día y la capacidad operativa es de 220 TMS/Día. Un ejemplo de las leyes promedio de la mina y de los productos obtenidos son:

P R O D U C T O	L E Y E S			
	A g oz/TC	P b%	Z n%	C u%
Cabeza 1 (Alimentación del molino 1)	7.00	2.66	2.16	0.29
Cabeza 2 (Alimentación del molino 2)	6.46	2.53	2.16	0.25
Concentrado Pb	102.78	50.76	5.60	5.22
Relave Pb	1.17	0.23	2.33	0.06
Concentrado Zn	8.17	0.73	55.33	0.51
Relave	0.93	0.20	0.40	0.04

1) Primera Prueba

Los días 27, 28 y 30 de Octubre se desarrollaron pruebas en la Planta Piloto del JICA con relave general procedente de la Planta Petro-Colqui.

Después de los análisis químicos con el compósito de los tres días se ha obtenido el siguiente resultado:

	Peso Kgr.	Ley de Ag oz/TC	Distribución de Ag%
Cabeza	240.0	0.75	100.0
Concentrado	32.2	3.48	62.17
Relave	207.8	0.32	37.83

Se muestra en forma más detallada los resultados obtenidos por días con las leyes correspondientes a los elementos indicados en el siguiente cuadro:

Aliment.	Conc.	Concentrado			Relave			
		Peso Kg.	Peso Kg.	Ag	Fe	Zn	Ag	Fe
Cabeza								0.75oz/t
Oct/27 Conc. 1	80	18.4	3.86	10.66	1.59	0.012	3.47	0.15
Oct/28 Conc. 2	100	11.4	2.83	9.46	3.38	0.00	3.42	0.12
Oct/30 Conc. 3	40	2.4	3.60	8.75	4.18	tr.	3.53	0.07
		---	32.2					
Concentrado limpio								
(Celda Batch)		3.5	24					

2) Segunda Prueba

Prosiguiendo con los trabajos de investigación para hallar el tratamiento óptimo de los relaves procedentes de la Compañía Minera Huámpar, se realizaron pruebas metalúrgicas en la mini-planta de flotación JICA durante tres días.

En esta nueva etapa para el procesamiento de los relaves, se modificaron algunos factores tales como el uso de reactivos y el circuito de flotación.

Los análisis de malla de puntos importantes, los resultados metalúrgicos obtenidos, comentarios y otros, se recogen en este informe.

Las etapas que en su procesamiento recibieron los relaves, fueron molienda y flotación:

- Molienda

En esta primera etapa, el circuito de molienda operó un tiempo total de 7.42 horas, alimentándose al molino de bolas 220 Kg. de muestra de relaves, esto da un promedio de 29.65 Kg/hr. La granulometría de la muestra de relaves (cabeza) acusó el siguiente resultado:

Malla	Micrones	Peso% Directo (+)	Peso% Acum (-)
+ 30	600	1.0	99.0
+ 40	425	5.9	93.1
+100	149	49.1	44.0
+120	125	6.5	37.5
+200	75	12.9	24.6
+325	45	8.7	15.9
-325	-	15.9	-
TOTAL	-	100.0	-

El rebalse o overflow del clasificador helicoidal, que es la carga que alimenta al circuito de flotación, dio el siguiente análisis de malla:

Malla	Micrones	% Peso Directo (+)	% Peso Acum. (-)
+ 100	149	0.7	99.3
+ 120	125	1.0	98.3
+ 200	76	6.9	91.4
+ 325	45	13.9	77.5
- 325	-	77.5	-
TOTAL	-	100.0	-

- Flotación

El circuito de flotación consistió en una batería de seis celdas para la flotación rougher, seis celdas para la flotación scavenger, finalmente el concentrado rougher se trató en tres etapas de limpieza. La relación de reactivos empleados y puntos de adición es:

Reactivos	Consumo gr/Kg.	Puntos de Adición
Sulfato de Cobre	0.278	Entrada al molino de Bolas
AEROFLOT 31	0.092	Rebalse del clasificador helicoidal
MIBC	0.135	Rebalse del clasificador helicoidal
XANTATO Z-11	0.147	Acondicionador Rougher

El pH de flotación se mantuvo en 5.5. El relave de flotación o relave general, reportó los siguientes resultados en su análisis de malla respectivo:

Malla	Micrones	% Peso Directo (+)	% Peso Acum. (-)
+ 100	149	0.7	99.3
+ 120	125	0.8	98.5
+ 200	75	5.6	92.9
+ 325	45	15.0	77.9
- 325	-	77.9	-
TOTAL	-	100.0	-

Mientras que la granulometría del concentrado fue el siguiente:

Malla	Micrones	% Peso Directo (+)	% Peso Acum. (-)
+ 100	149	0.1	99.9
+ 120	125	0.1	99.8
+ 200	75	0.2	99.6
+ 325	45	2.1	97.5
- 325	-	97.5	-
TOTAL	-	100.0	-

- Resultados Metalúrgicos -

PRODUCTOS	% PESO	DISTRIBUCIÓN						Razón de Concentrado			
		%Cu	%Pb	%Zn	%Fe	%Ag(*)	%Cu	%Pb	%Zn	%Fe	%Ag
CABEZA	100.0	0.03	0.30	1.00	3.80	1.52	100.0	100.0	100.0	100.0	100.0
CONCENTRADO	4.5	0.37	1.10	8.60	10.00	7.23	63.6	25.7	50.4	12.5	29.9
RELAVE	95.5	0.01	0.15	0.40	3.30	0.80	36.4	74.3	49.6	87.5	70.1
CAB.CALCULADA	100.0	0.03	0.19	0.77	3.60	1.09	100.0	100.0	100.0	100.0	100.0

** Ag en Kg/TM

- Comentarios

Se hacen los siguientes comentarios de lo que se ha observado durante el desarrollo de las operaciones y de los resultados metalúrgicos obtenidos:

- En el proceso se notó la flotación de gran cantidad de la mas que contribuyeron negativamente a la calidad del concentrado final.
- Ocurrieron sucesivas paralizaciones de la mini-planta, debido a fallas de voltaje en las instalaciones eléctricas, ocasionando serias alteraciones en el normal desarrollo de las operaciones metalúrgicas.
- Entre las leyes de la cabeza analizada y la cabeza calculada, se ha presentado notables discrepancias principalmente en las leyes de Pb, Zn y Ag.

- Recomendaciones

Se imparten las siguientes recomendaciones:

- Los relieves para su tratamiento en la flotación deberían ser sometidos antes a una operación de desleamado.
- Tratar de estabilizar el voltaje de la corriente eléctrica para evitar interrupciones en el desarrollo de las operaciones.
- Se hace necesario colocar compuertas de guillotina en las celdas de limpieza para un mejor control de nivel de espuma. Este tipo de compuerta ha dado buen resultado en las celdas rougher y scavenger.

V . FUTUROS ESTUDIOS EN LA PLANTA PILOTO

A) Con Mineral de Tamboraque

Hemos recibido una muestra de mineral de la Mina "Constancia", de Tamboraque, con el fin de ver la posibilidad de incrementar la recuperación del oro.

Según el balance metalúrgico de operación con este mineral, en Planta, el oro asociado a la pirita se pierde en el relave alrededor de 50%. La recuperación de los otros sulfuros valiosos como la galena argentífera y esfalerita es buena. Si se consiguiera un concentrado de pirita aurífera se sometería al proceso de cianuración para aislar el oro.

→ Mineralogía

Los valores comerciales contenidos en el mineral son la galena argentífera, oro, algo de chalcocipirita y esfalerita.

→ Molienda

Según el informe mineralográfico del mineral en referencia, el oro está incluido mayormente en la pirita y arsenopirita en tamaño desde 6 micrones. Para este efecto se hizo una prueba de Molienda para conseguir una liberación adecuada para la flotación, cuyo análisis de malla es el siguiente:

ANALISIS DE MALLA

<u>Malla</u>	<u>% Peso</u>
+ 48	0.1
65	0.6
100	6.7
150	12.2
200	12.6
~ 200	67.8
TOTAL :	100.0

~ Flotación

La primera prueba de flotación tuvo como fin concentrar un bulk de sulfuros con valores comerciales a un pH natural de pulpa, verificar la inclusión del oro en la pirita y ver la reacción del mineral a los reactivos.

Obtenida las espumas bulk Pb - Cu - Ag - Zn, se hicieron dos limpiezas. La primera limpieza con pH natural y la segunda limpieza con pH 9.

Los resultados de la primera prueba puede compararse con los de la Planta.

	<u>Ag Kg/ton</u>	<u>Au g/ton</u>	<u>Pb %</u>	<u>Zn %</u>	<u>Fe %</u>
Conc. bulk					
Tamboraque	0.857	5.00	26.80	11.30	21.00
Conc. bulk	1.608	3.80	19.80	37.50	9.19

La evidencia que el oro está asociado a la pirita se aprecia en los siguientes análisis químicos:

	<u>Ag Kg/ton</u>	<u>Au g/ton</u>	<u>Pb %</u>	<u>Zn %</u>	<u>Fe %</u>
Relave cleaner					
bulk, Prueba batch	0.300	4.80	4.64	10.21	26.30
Conc. de pirita					
Prueba batch	0.210	7.20	1.96	2.02	41.90

Las pérdidas del oro en el relave se redujo de 43.90% a 11.60% tomando como referencia el análisis de Fe, pues los análisis por oro dan trazas y están actualmente por confirmarse.

→ Proyecciones

Como el oro está mayormente asociado a la pirita y arsenopirita y la Sociedad Minera Austria Duval S.A. ya está flotando pirita; nuestras investigaciones se conducirán solamente a mejorar, si es posible, la recuperación de plata y oro en el bulk - Pb - Cu - Ag. La investigación del aislamiento del oro de la pirita se hará a partir del concentrado de pirita que nos dé Tamborague.

B) Con Mineral de Taminsa

El que sigue es un informe de los resultados de las pruebas preliminares para el beneficio del mineral de molibdeno de Chacas, donde se debe tener en cuenta, principalmente, las recomendaciones para mejorar los resultados que se obtuvieron hasta el momento.

→ Consideraciones Generales

Por informaciones verbales se tenía conocimiento de que el mineral objeto del estudio provenía de un pórfito de molibdeno. Este tipo de yacimientos cuyos contenidos de molibdeno en la cabeza oscilan entre 0.07 y 0.5% de MoS₂ requieren una forma standard de tratamiento que en todo los casos aprovecha la flotabilidad natural de la molibdenita.

El proceso generalmente utilizado consiste en flotar la molibdenita usando como reactivos promotores, el petróleo, kerosene, fuel oil residual u otros tipos de compuestos no polares. La

eficiencia de estos reactivos siempre ha sido cuestionada por los efectos colaterales que se producen en la espumación. Se tiene alguna certeza de que el uso de emulsificantes como el Dergitol T usado en Clymac mejoran las propiedades promotoras de los reactivos citados.

En cuanto a los espumantes, se recomienda el aceite de pino por ser un reactivo poco selectivo. Sin embargo, es conocido que cada Yacimiento tiene peculiaridades que determinan que la eficiencia de un proceso de flotación sea obtenida sólo mediante pruebas experimentales de varias combinaciones de reactivos.

Dependiendo de las características del mineral en cuanto a la formación de lámas, será necesario el uso de reactivos dispersores tipo silicato de sodio para disminuir los efectos de las partículas finas.

En cuanto al pH, estudios experimentales han determinado que la molibdenita flota mejor en valores que oscilan entre el neutro o ligeramente básicos.

Considerando estos aspectos generales, se pasó al trabajo experimental que se sintetiza a continuación.

- Trabajo Realizado

• Análisis cuantitativo de la muestra: la cabeza ensayó los siguientes valores:

% Cu	% Mo	% Fe
0.07	0.073	6.57

Se aprecia que tanto el cobre como el molibdeno se hallan en concentraciones mínimas.

- Prueba de Molienda: Con el fin de determinar un porcentaje adecuado de ~ 200 mallas para la flotación, se sometió muestras de mineral a diferentes tiempos de molienda. El siguiente cuadro muestra los resultados:

V. B) CUADRO N° 1

Tiempo de Molienda	% P E S O		
	+ 65m	- 65 + 200m	(fino) - 200m
8 min.	2.79	42.51	54.69
12 min.	0.59	36.09	63.31
15 min.	0.48	28.61	70.91
18 min.	0.06	21.27	78.67

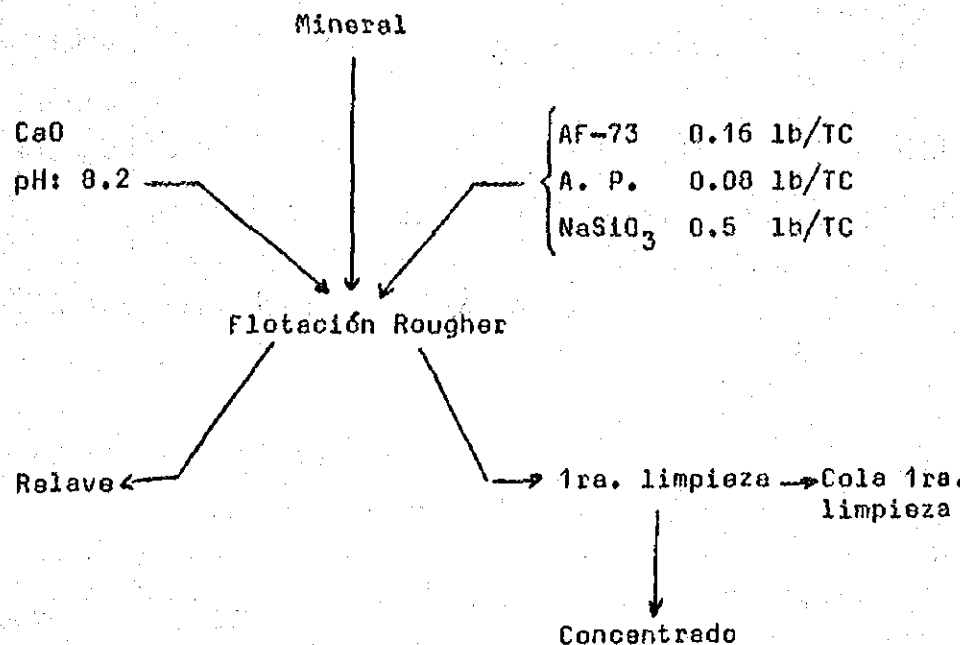
Se aprecia que moliendas superiores a 12min. producen un excesivo porcentaje de ~ 200m . Para pruebas posteriores se recomienda como máximo un 60% en otra fracción.

- Influencia de la Molienda en la Flotación: Se estudió la flotación para diferentes grados de molienda. En todas las pruebas se siguió el esquema que se indica en la figura N° 1 y se mantuvo constantes los siguientes parámetros:

- pH : 8.2 regulado mediante adición de cal al acondicionamiento.
- Espumantes: Aceite de pino ~ AF-73 en dosificaciones de 0.08 y 0.16 lb/JC respectivamente.
- Silicato de sodio: 0.5 lb/JC

El tiempo de acondicionamiento fué de 5 min. y el de flotación también de 5 min.

V. B) Figura N° 1



A continuación se muestran los resultados de las pruebas en el Cuadro N° 2 y los detalles en los cuadros 3, 4, 5 y 6.

V. B) CUADRO N° 2

PRUEBA	Grado de Molienda % -200m	% PESO Concentrado	ENSAYES			DISTRIBUCION		
			Mo	Cu	Fe	Mo	Cu	Fe
1	54.69	2.43	1.024	1.52	57.92	29.68	45.05	21.12
2	63.31	2.17	3.345	5.09	38.71	42.61	76.36	11.60
3	70.91	1.23	2.744	3.11	36.70	44.24	35.43	5.82
4	78.67	0.47	7.735	7.28	18.94	24.58	46.22	1.49

V. B) CUADRO N° 3

Tiempo de Molienda 8 min.

PRODUCTO	% PESO	ENSAYE %			DISTRIBUCION		
		Mo	Cu	Fe	Mo	Cu	Fe
Concentrado	2.43	1.024	1.52	57.92	29.68	45.05	21.12
Cola Primera							
Limpieza	1.34	0.241	0.34	37.60	3.81	5.62	7.56
Relave	96.23	0.058	0.042	4.94	66.51	49.33	71.32
Cabeza Calculada		0.083	0.081	6.66			

V. B) CUADRO N° 4

Tiempo de Molienda 12 min.

PRODUCTO	% PESO	ENSAYES %			DISTRIBUCION		
		Mo	Cu	Fe	Mo	Cu	Fe
Concentrado	2.17	3.345	5.090	38.71	42.61	76.36	11.60
Cola Primera							
Limpieza	0.83	0.094	0.270	33.76	0.47	1.52	3.87
Relave	97.00	0.100	0.033	6.31	56.92	22.12	84.53
Cabeza Calculada		0.170	0.144	7.24			

V. B) CUADRO N° 5

Tiempo de Molienda 15 min.

PRODUCTO	% PESO	ENSAYES %			DISTRIBUCION		
		Mo	Cu	Fe	Mo	Cu	Fe
Concentrado	1.23	2.744	3.110	36.78	44.24	85.43	5.82
Cola Primera							
Limpieza	4.42	0.131	0.170	26.35	7.59	6.94	14.97
Relave	94.35	0.039	0.066	6.53	48.16	57.63	79.21
Cabeza Calculada		0.076	0.1081	7.77			

V. B) CUADRO N° 6

Tiempo de Molienda 18 min.

PRODUCTO	% PESO	ENSAYES %			DISTRIBUCION		
		Mo	Cu	Fe	Mo	Cu	Fe
Concentrado	0.47	7.735	7.280	18.94	24.58	46.22	1.49
Cola Primera							
Limpieza	1.70	0.126	0.440	14.27	1.42	10.14	4.06
Relave	97.83	0.112	0.033	5.76	74.00	43.64	94.45
Cabeza Calculada		0.148	0.074	5.966			

Analisis de los Resultados: Es notorio que se requiere un alto porcentaje de -200 mallas para lograr que el concentrado de molibdeno tenga grados de hasta 7%.

Sin embargo esto origina una gran cantidad de lamas que producen un consumo de alto reactivo y contaminan el concentrado.

También se puede apreciar que a pesar de no haberse usado colector, la pirita flotó abundantemente. Esto podría deberse a las propiedades colectoras del aceite de pino y del aerofloth 73 o bien a la asociación pirita-molibdenita. Al aumentar el grado de molienda, aumenta el % de Fe y Cu en el relave, lo que confirmaría la segunda hipótesis. Otro aspecto que se debe destacar es que en los relaves de la prueba, se notó molibdenita de gran tamaño y totalmente liberada. Esto se debe probablemente a la baja dureza de la moly (1) que la hace muy flexible. Y no fue medida adecuadamente por este motivo.

- Recomendaciones

Con estos resultados obtenidos en escala batch se desarrollarán las pruebas en la miniplanta JICA.

VI. ALGUNAS CONSIDERACIONES PARA EL BUEN USO DE LA PLANTA PILOTO

Como se ve los ejemplos arriba mencionados, esta planta piloto se puede usar en varias formas, o sea:

- 1) Separación de varios productos, por ejemplo separación de Cu, Pb y Zn.
- 2) Recuperación de dos productos, por ejemplo obtener dos concentrados como cobre y zinc.
- 3) Realizar una flotación colectiva, por ejemplo obtener un concentrado de Bulk de todos los sulfuros.

El proceso para obtener esos concentrados es generalmente mas o menos igual, pero, su atención para el tratamiento es algo diferente y el orden de la facilidad del tratamiento está dado por $3) > 2) > 1$.

O sea, en 1) existen varias condiciones de tratamiento y se puede obtener un resultado bueno; por varias separaciones sucesivas, por eso, antes de su tratamiento en la planta piloto es necesario realizar varias pruebas en las escalas pequeñas de laboratorio para determinar sus condiciones.

En cambio para el caso 3) su condición no selectiva es más simple y su tratamiento es más fácil.

En la planta piloto cada máquina presta una determinada función, pero actualmente es necesario dotarla de más flexibilidad. Para el mejor servicio a los usuarios de la Planta Piloto, es necesario complementarla con nuevos equipos que permitan obtener mejores resultados en los procesos.

Estos equipos complementarios para la Planta podemos sintetizarlos en los siguientes:

A) Sección de Remolienda

Para esta etapa de remolienda que es muy necesaria en los circuitos de flotación se necesita la adquisición de: 1 molino, 2 ciclones, 1 bomba, 1 espesador y accesorios complementarios como manguras y otros.

B) Filtros para Muestras:

Como el proceso de flotación en la Planta Piloto requiere de tomar muchas muestras representativas de distintos puntos del circuito, se hace necesario la utilización de un sistema de filtros que se utilicen para eliminar parte del agua que

tienen estas muestras y en esta forma facilitar y mejorar el actual método de decantación que estamos utilizando. Asimismo, esto se complementará con una estufa cerrada para cocer las referidas muestras.

C) Análisis

Para brindar un mejor servicio y operar en forma eficiente los procesos de concentración, se hace necesario contar con un equipo analizador de Rayos X que nos proporcione en forma directa y digital los resultados de los análisis químicos en los puntos claves de los circuitos de flotación.

D) Repuestos para la Planta Piloto

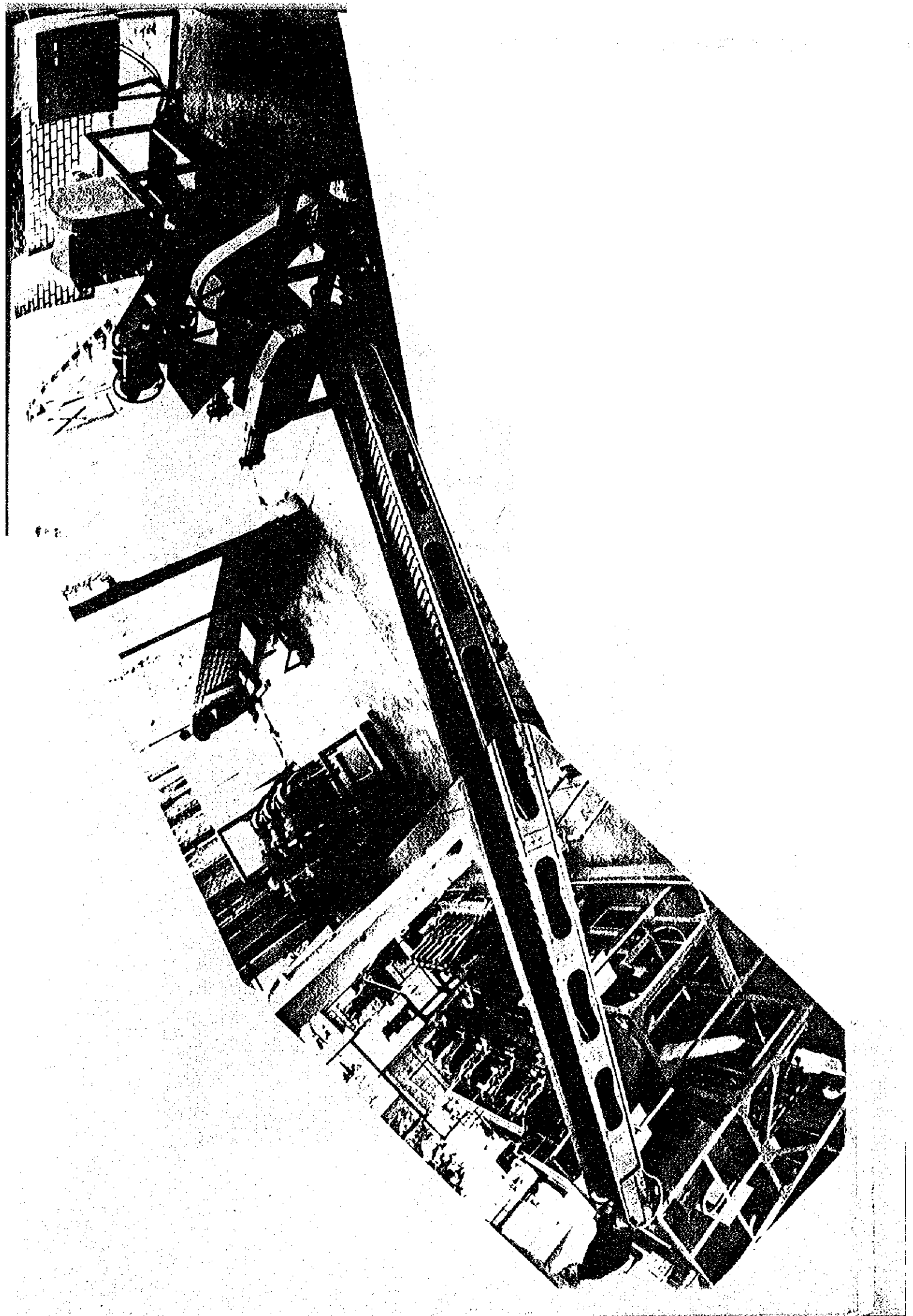
El uso de la planta ocasiona desgastes que es necesario irlos reparando constantemente, en este sentido presentamos una lista de repuestos básicos que necesitaremos para continuar prestando eficientemente estos servicios.

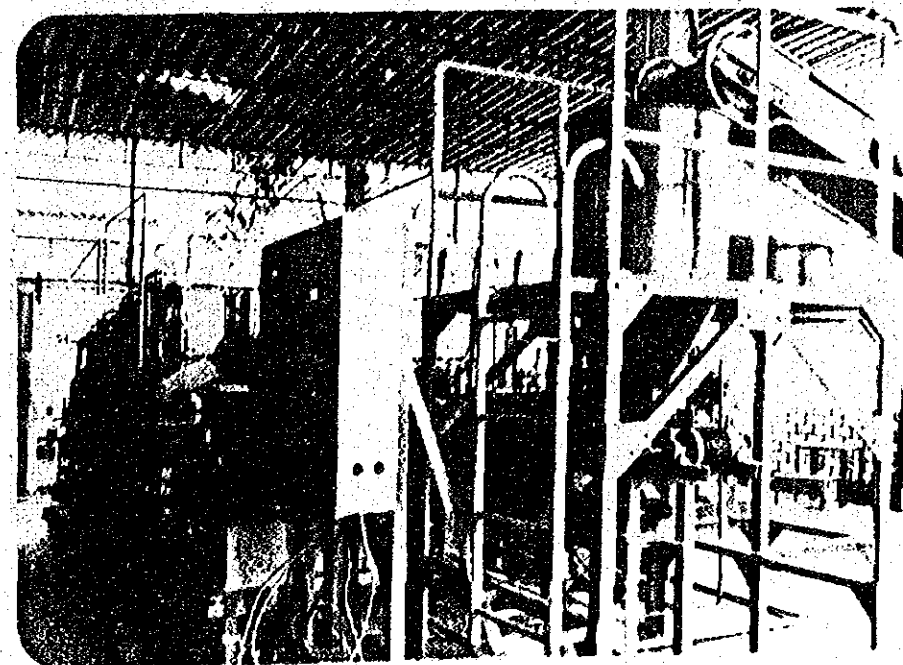
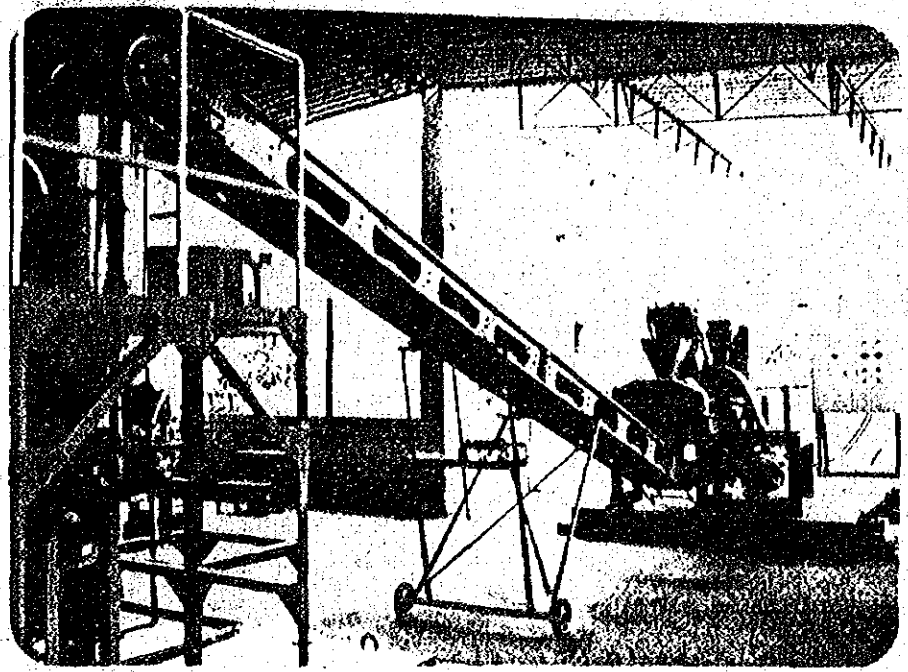
La lista incluye:

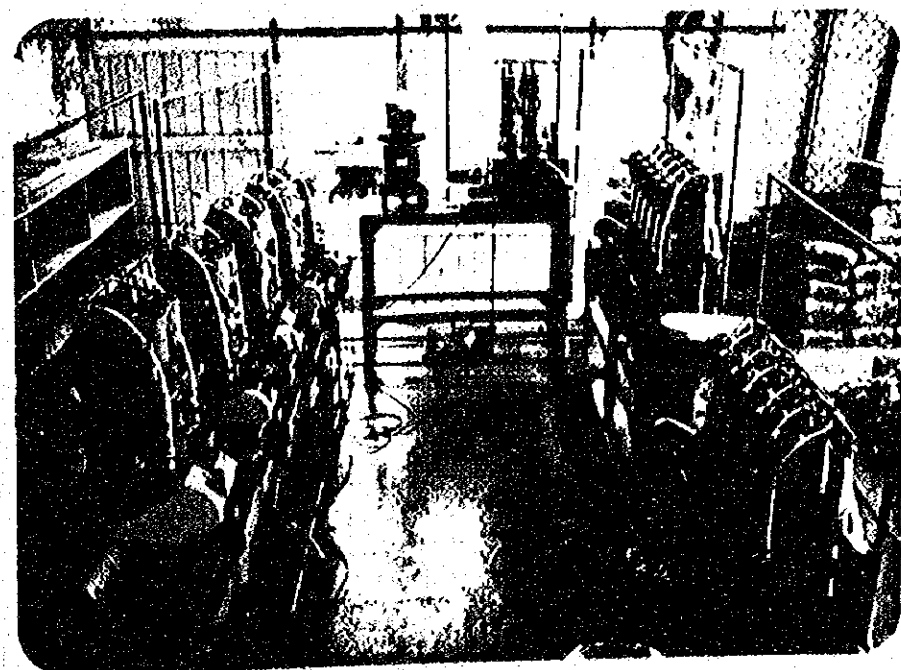
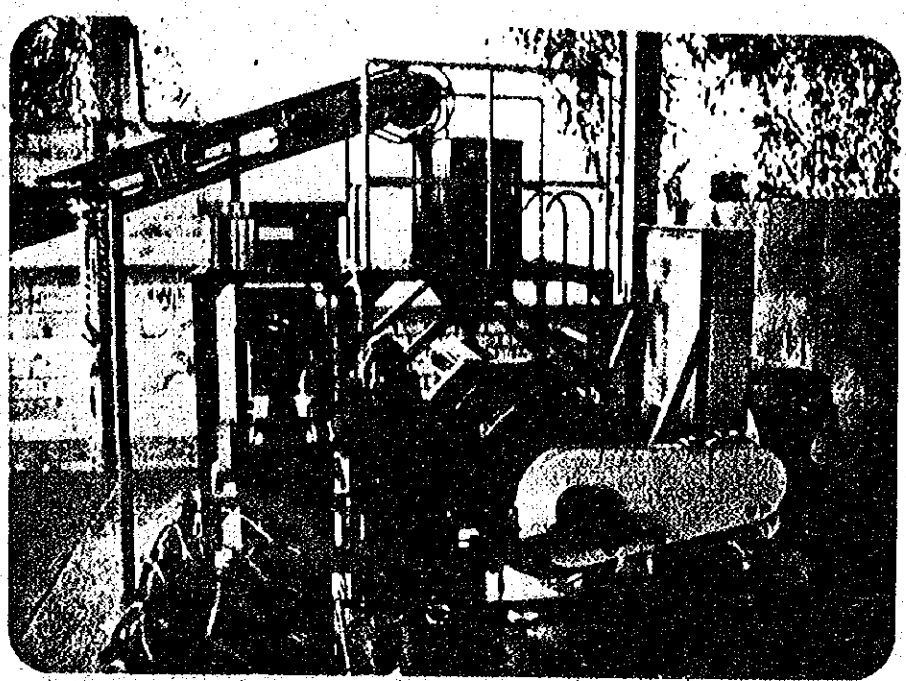
- 3 Motores eléctricos para celdas de flotación.
- 2 Motores eléctricos para bombas.
- 2 Moto-reductores para paletas.
- 12 Cajas de mangüeras para las bombas.

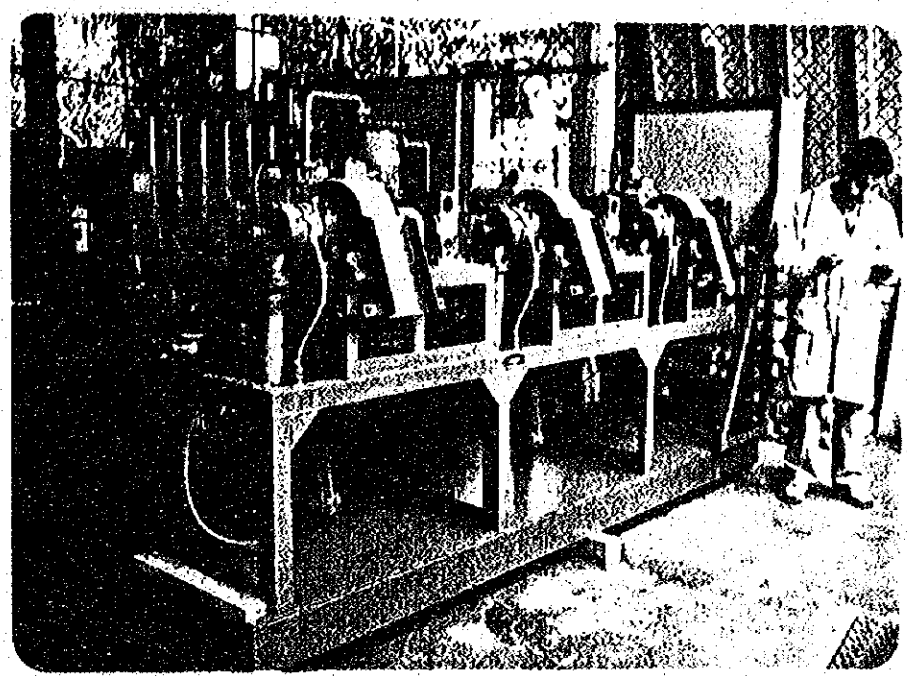
AGRADECIMIENTO

La Dirección de Mineralurgia expresa su profundo agradecimiento al Gobierno Japonés a través de JICA, así como su reconocimiento a los expertos de la Misión que nos dan asesoramiento técnico.









JAPAN INTERNATIONAL COOPERATION AGENCY

MISION JAPONESA DE MINERIA

Takamasa Hotta

ING. TAKAMASA HOTTA
Director General

K. Chimura

ING. KAZUHIRO CHIMURA
Director

Akira Nakamura

ING. AKIRA NAKAMURA
Director

Nagayasu Taniguchi

ING. NAGAYASU TANIGUCHI
Director

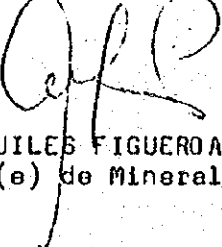
T. Kagiwada

ING. TEI SUO KAGIWADA
Director

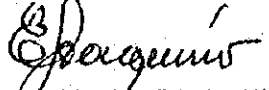
INSTITUTO GEOLOGICO MINERO Y. METALURGICO

"INGEMMET"


ING. ELEUTERIO LEON R.
Director General de Metalurgia


ING. AQUILES FIGUEROA L.
Director (e) de Mineralurgia


ING. EDGAR PERALTA V.
Investigador IV


ING. ERASMO JOAQUIN V.
Investigador IV

JICA保育ミッションにより作成されたパイロット・
プラントについての記載とその操業

1. 序言

2. パイロット・プラント、フローシートとの特徴

3. 機械的故障はうじに修正

- a) 一次的故障
- b) 修正

4. パイロット・プラントのいくつかの操業例

- a) Sayapullo鉱石用いて
- b) Huampar鉱石用いて

5. パイロット・プラントでの将来の検討

- a) Tamborague鉱石用いて
- b) Taminsa鉱石用いて

6. パイロット・プラントを最も良く使用するための若干の考慮

JICA銀山保安ミッションにより供与されたパイロット
プランについて記載とその操業

1. 前 言

ペルーと日本、技術協定により、日本政府は、協力の一環として、ペルーリマの国立工科大学(UNI)の近くにある地質銀山省研究部(INGEMMET)に、浮遊選鉱法による銀の濃集パイロット・プラント、20kg/hの能力、を供与した。この度子は、1980年9

月に完成し、現在有効に稼動している。約半年間の操業の間に、常に良好な條件で稼動するため、機器に若干の修正を行った。

本報文は、パイロット・プランについての詳細が記載下さいと並んで、小銀山にて主に行つた実験例を示したものである。

2. パイロット・プランのフロー図とその機器

第1、第2回は工場のフローリーを示す。左に本報文の図1は若干の写真を掲げた。

機器は、日本より次の重量・容積を5つ、箱で送られて来た。

	寸 法 (L×W×H)	重量 (kg)	容積 (m ³)
1	2.64 ^m × 2.30 ^m × 2.33 ^m	2,950	14.148
2.	4.84 × 2.98 × 2.80	6,740	36.058
3	2.64 × 2.29 × 1.23	2,210	7.436
4.	3.50 × 2.95 × 2.24	3,750	23.128
5.	3.50 × 1.89 × 2.12	2,420	14.024
	計	18,070	94.794

機器は、"栗本鉄工所"により製作され、1980年3月31日日本
より、横浜港を出、1980年5月24日12ペルー Callao 港に到着。

供与された機器は、ペルー、リマの工科大学 UNI にある INGEMMET
(地質鉱山冶金研究所) の研究所にあれば、1980年8月28日に公式に

除幕式が行なわれた。参考として下表に機器、工具、運搬費、
保険料等を示した。

	¥	%	\$
機器 5箱	36'000,000	40'680,000	149,405.0
荷造	625,044	706,300	2,594.0
運搬費	4'003,807	4'524,301	16,616.4
保険料	281,263	317,827	1,167.3
C.I.F リマ	40'910,114	46'228,428	169,782.7

註:

1980年3月5日付、US \$ = 272,280 \$/、
1¥ = 1.130%

機械内訳を表1口示す。

表 1. INGEMMET のパイロット・プラン

No.	荷物、記載量	量	總重量	金額
IGMM-1	ロ-ル・30kg+23ヶシヤ-(エ-タ-58)	1式	2,950kg	
	(230W×100L)	1	19,148kg	5'810,000
	ロ-ル・23ヶシヤ-(エ-タ-58)			
	(300kg×200L)	1		
	鋼床板 (2440×2100×162)	1		
IGMM-2	33宜找、瓶、架台	1式	6,740kg	9'690,000
	モ-タ-共	2	36,058kg	
	コンテナ23ト+ (モ-タ-付)			
	(300kg×380L)	1		
	同上 (250kg×320L)	2		
	二字邊、桶、架台 モ-タ-付	6		
	ベルトコンベヤ (350W×2600L)	1		
	ホ-ツブル・ベルト・コンベヤ			
	(350W×7000L)	1		
	鋼製、ベ-ト (2780×5270×162)	1		
IGMM-3	支持付コントロ-ル・スネル	1式	3,210kg	4'249,000
	(900×250×900)	1	7,436kg	
	鋼製ベ-ト (2440×2100×162)	1		
	鋼製木-ル (1"×200kg, 1½"×50kg, 1			
	2½"×50kg)			
	エ-カ-・ブレ-ト (エ-カ-・23ヶシヤ) 2			
	4エ-カ-・ブレ-ト () 2			
	ベルト・コンベヤ 350W×5.2m	1		
	同上 350W×14m	1		
	ロ-ル (ロ-ル・23ヶシヤ) 2			
	ペ-ヤ) 22212	4		
	同上 1205	2		
	同上 51105	1		
	ライタ-12°L-ト	1	24	

No.	荷物の記載	量	總重量	金額
IGMM-3	テイス2	2.		
	スパイラル・スクリュー	1		
	(スクリーブル・40-ビング・スクリブ)	1		
	(駆動機構およびベット等1枚)			
	浮遊インペラー	12.		
	木葉掃除(アラストラップ製)36	25.		
	ヒール管、ヒンチバルブ	40		
	石灰混合器、200φ×200H	1		
	アシテータ(カセットモーター)50W,100V,1φ	1		
	電圧箱、300V/100V、VA-300	1.		
	フイルター布	1		
	下敷布	1.		
	70-メータ	1.		
	70-メータ用具	1		
	コンプロンサーおよびモーター	1.		
	エコーアクション用トルクルーム	1		
	ヒール・袋 9.5mm, 7巻	1.		
	36×5/8"×50ft			
	同上 3/8" × 10ft	1		
	同上 1" × 10ft	1		
	pHメーターおよびpH紙	1		
	用具 (BOX YD-4) 360×150×100	1		
	ソケット・レンチ・セット	1.		
	42-ベンガボン用油	1		
	ホース・バンド 4色	1		
	浮遊機用 フィヤー・ブレット	1		
	テイ 10s	1.		
	7"×4.1"バ"ルブ" 10s	1		
	42-77.3"ヨイント 3/8" 10s	1		
	ペニキ、およびはさみ 1本	1		
	潤滑脂油	1		

No.	荷物の記載	量	積荷量	金額
	ベルコンベヤ等台	23		
	階段	15		
IGNM-4	粉銘鉱合(600φ×1025H)	1	3,750kg	9'813,000
	ベルト・ブレーキ(53-611100φ×1210L)	1	23.128m ³	
	温水循環型木ールボルトキャタナリ (500φ×500L)	1		
	スパイラル形鋼材、P-3-55 (150φ×1500L)	1		
	粹付水タク(600φ×300H)	1		
	粉銘鉱合(1200φ×1210D×1400)	1		
	コントロール・バルブ、支持具 (900×250×900)	1		
	42-2°、40-2°、E-3-55	2		
	石灰タク、支持具(200φ×200L)	1		
	石灰75-3-、変速駆動装置 (100W×800L)	2		
	金屬製 ベット(2750×2630×162)	1		
	ハンド・レール	2.		
	フロワー(75φ)	1.		
	フローメータ用配管	1.		
	チューイング・ボンブ	2.		
	詰葉アシダ・支持バー	5.		
	水パイプ、補給木管、空氣管	1.		
	76-メータ一付			
IGNM-5	トランクル・ブレーキ、可変モーター モーター(減速機、ベット付) (300φ×80H)	1台	3,420kg	6'438,000
			14.024m ³	
	貯水タク(318φ×750H)	1.		
	マイスクレー・トランク(267φ×60H)	1.		
	木・真空パイプ配管	1		
	コントロールバルブおよび手台	1.		

倉	計	5 口斗	18,070kg.	¥ 35'080,000
			94.799m ³	
船	積			625,044
海洋運賃				4'003,867
保險				281,263
C.I.F. LIMA				¥ 40'910,114

No. 7

J. I. C. A.

3. 戦機的故障はすべて修正。

1980年8月から、1981年2月半1周まで、浮選フランク1台、無通気で4時間、鉱物と処理(=34時間)の操業を行なった。

この期間、向戸に戦機的故障が生じたが、操業と本廻船による修理はためて変更が行われた。

A) 一次故障

米3回に亘り下探石、若干の備品は、実際には、交換が必要な戦機的故障があつた。

日付ごと、1980年10月27日(14時間・操業), 1980年11月26日
(22時間), 1981年1月26日(32時間, 34時間), 1981年1月28日

(37時間)で、浮選セルの軸部が破損した(モーター生産した
上, 部分); 相連回路, №2, №3セル, 8ル精選用№9セル

精選回路 №6, №7セルの河水が大体同じ場所で漏れ
るため、放水、操業を中止することなく、この時、鉱石の精

選上必要で砂が左側、精選安全はキットのインペラー
を交換して、稼動させた。

また、ポンプ№2のペアリング SKF-6301の故障が見出され
た後、これは球面球軸の軸に由来する金属板があつたので

板は修繕された。

これら、故障は、東京、JICA事務所と相談し、栗本鉄工社

12. 運送した。現在、欠陥のあるものを取扱うため CY-Ni 金剛の新しい軸を送り込んでいる。(3月21日、24軸の車両で倉庫より送出した。)

UNI 大気構内の INGEMMET の研究所、電圧は、170~150V に低下している。そのため、220V の一中電圧を持つ新しい電圧器を設置する準備が進めている。

B) 修正

初めて高度の感度 ~~は~~ で扱うのは非常に困難であったアラート操作を改善するため、やめ、他の角度で相談して若干の修正を行った。これらを除く、次の通りである。

1) ステップの回転方向の変更、このため新しい找掃を全部取り除く必要があったが、以前、通常的に障害物を防ぐために不規則な

操作の仕方がこの変更により甚しく改善された。

2) 粗選・清掃演習区の最終浮遊セルにて、 \Rightarrow キロタン型水門

をつくった。バルブを直列にレベルに保持するため、往來栓型の水門が用いられていたが機能せずとなつた。

3) 全体の磨石の材料採取と効率的にすく瓦を、浮遊区、最後の鉢の桶をつくつた。

4) コンテナヨーナー #1 のレベルを直列に直し、粗選回路に入るパイプの障害の形をさげた。

5) 全て、磨石を排出するため、セメントの漏斗設けた。

IV. パイロット・プランの操業例

A) Sayapullo銅銀鉱

Sayapullo銅銀山は、Cajabamba県、Cajamarca州にあります。
150kmの鋪装道路により Trujillo市と密接に接しています。

これは、パンアメリカン・ルート街道にて Chicamaと呼ばれる町
にあります。

Sayapulloは非常に古の銀山で、以前高め銀品位で採掘
(といえども、現在優先溝選で多金属処理工場でその銀石と処理)

ています。工場の能力は 200TM/日で、大体次の品位で銀石
処理能力の約80%を効率で操業している。

銀 10%TM

銅 2%

鉛 1%

亜鉛 1.50%

銅・鉛・亜鉛に対して高品位の商品化された精錬が得られて
おり、また銅・鉛精錬を副産物として得ている。

現在この会社は、その実力を倍増するため拡張工事
中であり、既に同企業は銀山の指定権限をふやすのみ

多額の投資を行っています。Sayapulloの銀区において
優勢な銀石は、銀、リチウム、アンチモンと多金属(灰色鉄)

銀である。銀は主銀、亜鉛は主亜鉛などと呼ばれ
る銀鉱、石英、玉藻、云母の脈石が多い。

銅、金、銀等の精錬は La Libertad 地区の Salaverry 沿り
船積みの送られ。

1) 第1回試験

パトロット・フランクの実験によるか否かを確かめるため、1980年8月

20日12, Sagapullo 銀山会社の鉱石で採掘運動の後、機械の
効率は大体良好であるが抱き合つて、良い成績は得られなかつた。今回

第1の問題は、運送セイバモータの加熱を起したこと、170~
150Vの低電圧により重ひ反りつてある。3時間操業後、次第

車を停らし、料圓に試薬使用量を記入していく。

(2) 部分分析 (クラインマーク)

計 5 回

サイズ mesh	クラインマーク-鉄錆		1次クラインマーク-鉄錆		2次クラインマーク-鉄錆		備考
	重量g	%	重量g	%	重量g	%	
+1"	5300	38.37	—	—	—	—	
+3/4"	2800	32.56	—	—	—	—	73%強-9能
+1/2"	1420	16.57	70	7.14	—	—	1+240kg/MC
+1/4"	340	3.95	455	46.43	—	—	あつ点
+8	120	1.40	223	22.76	189	27.00	
+10	38	0.44	32	3.27	101	13.43	
+14	40	0.47	35	3.57	84	12.00	
+20	32	0.37	34	3.47	80	11.43	
+35	95	1.10	39	3.98	87	12.43	
+65	110	1.28	27	2.76	65	9.29	
-65	305	35.5	—	—	—	—	
+100	—	—	15	1.53	31	4.43	
+150	—	—	12	1.22	20	2.86	
+200	—	—	13	1.33	13	1.86	
-200	—	—	25	2.55	30	4.29	
計	8600	100.00	980	100.01	701	100.02	

b) 鋸分分析 (ミル・分级表)

サイズ mesh	ミル給銑		浮選給銑	
	重量 g	%	重量 g	%
+8	189	27.00	—	—
+10	101	14.43	—	—
+14	84	12.00	—	—
+20	80	11.43	—	—
+35	87	12.43	—	—
+65	65	9.29	—	—
+100	31	4.43	1.3	0.3
+150	20	2.86	8.0	1.8
+200	13	1.86	16.6	3.7
-200	30	4.29	424.0	94.2
計	690	100.02	452.0	100.0
品位				
Cu		0.99		1.35
Zn		1.10		1.30
Fe		15.19		16.90

註) リミル・浮選・能力は 30kg/H 2.53

→ 浮選給銑付分级找鐵流

c) 漂選結果

産 地	品 位 %		
	Cu	Zn	Fe
ブランチ給銅	0.99	1.10	15.19
ミル排銅	1.38	1.24	16.29
分級精選渣	1.35	1.30	16.90
浮選精銅	1.38	1.30	16.60
銅粗選精銅	2.97	2.49	14.58
銅精銅	12.01	1.89	15.74
銅精選尾銅	3.19	1.64	12.92
重鉛浮選精銅	0.38	0.89	16.44
重鉛粗選精銅	1.40	2.29	16.85
重鉛精銅	1.11	2.69	16.60
尾銅	0.19	0.72	6.54

d) 漂選結果、考察

今 F, C, T を 給銅、精銅、尾銅の重量とし、また f, c, t を
それ各自の給銅、精銅、尾銅の品位とする。この場合、次のバランスが

成立する。

$$F = C + T$$

$$fF = cC + tT$$

R を実收率とするととき、品位と重量、関係から、次の式が導かれ。

$$R = \frac{c(f-t)}{f(c-t)}$$

$$C = F \cdot \frac{(f-t)}{(c-t)}$$

例では、 $C = 12.01$, $f = 1.38$, $t = 0.38$ の実験の場合

$$R = \frac{12.01 \times (1.38 - 0.38)}{1.38 \times (12.01 - 0.38)} = 74.8\%$$

$$C = 100 \times \frac{(1.38 - 0.38)}{(12.01 - 0.38)} = 8.6\%$$

この方式は逆に品位から R, C を計算出来る。この方法で計算された計算例は次のとくである。

産物	品位%			重量	実收率		
	Cu	Zn	Fe		Cu	Zn	Fe
浮遊精錠	1.38	1.30	16.60	100.0	100.0	100.0	100.0
銅精錠	12.01	1.89	15.74	8.6	74.8	59.6	
亜鉛精錠	1.11	2.69	16.60	7.9	23.9	10.5	
尾錠	0.19	0.72	6.54	83.5	1.3	29.9	
(亜鉛精錠)	0.38	0.89	16.94				

すなはち、この場合、結果は良くない、未だ"良好な分離"が
れておらず、銅精錠中に亜鉛が多く混じ、亜鉛精錠が

良い結果を得てない。良い結果を得るために、さらに研究せねば
ならぬ。

e) 他の浮遊酸素の計算

よし、次の方法を用いて、高純度炉灰計算が出来た。この場合
 $C_1, C_2 \in Cu$ および Zn の精錬重量とし、 Cu, Zn の品位は炉灰

次の通りである。

$$F = C_1 + C_2 + T$$

$$1.38F = 12.01C_1 + 1.11C_2 + 0.19T \text{ (Cu)} \\ 1.30F = 1.89C_1 + 2.69C_2 + 0.72T \text{ (Zn)}$$

これらから、計算は以下の C_1, C_2 が得られる。
 次の場合は、 x, y, z 以下の炉灰計算となる。

$$a_1x + b_1y + c_1z = d_1$$

$$a_2x + b_2y + c_2z = d_2$$

$$a_3x + b_3y + c_3z = d_3$$

$$D = \begin{vmatrix} a_1 & b_1 & c_1 \\ a_2 & b_2 & c_2 \\ a_3 & b_3 & c_3 \end{vmatrix} \neq 0, \text{ すなはち}$$

$$x = \frac{\begin{vmatrix} d_1 & b_1 & c_1 \\ d_2 & b_2 & c_2 \\ d_3 & b_3 & c_3 \end{vmatrix}}{D}, \quad y = \frac{\begin{vmatrix} a_1 & d_1 & c_1 \\ a_2 & d_2 & c_2 \\ a_3 & d_3 & c_3 \end{vmatrix}}{D}$$

$$z = \frac{\begin{vmatrix} a_1 & b_1 & d_1 \\ a_2 & b_2 & d_2 \\ a_3 & b_3 & d_3 \end{vmatrix}}{D}$$

pp.5,

	1.38	1.11	0.19				
	1.30	2.69	0.72				
C ₁				C ₂			
	1.11	1.11	0.19				
	1.81	2.69	0.72				

= 8.15%

= 24.60%

この値から次の浸没結果が得られる。

產物	品 位 %			重 量 %	實 收 率 %		
	Cu	Zn	Fe		Cu	Zn	Fe
給 銀	1.38	1.30	16.60	100.0	100.0	100.0	100.0
銅精銘	12.01	1.81	15.74	8.15	70.93	11.35	7.73
亜銅精銘	1.11	2.65	16.60	24.60	19.79	50.90	24.60
尾 銀	0.19	0.72	16.70	67.25	9.28	37.75	67.67
			(6.54)				

この結果は前回の結果と若干異なる、銅の実收率は両者共大体同じであり、亜鉛の実收率は若干大きい。これは主に前回バランストラップで運んでいたから。

2) 第2回 試験

Sayapullo銅によって行った試験は、材料の性能を最終的に完全に調節し、出来ればよりよい成績を得る様にされた。

第2回の試験にて、第1回、試薬添加量を増え、操作の調整を改善して処理した。結果は次のとおりである。

		Ag %	Cu%	Pb%	Zn%
1	ミル販銅	5.36	1.60	0.15	1.00
2	ミル押銅	5.25	1.45	0.10	1.42
3	ミル錫鉛	5.83	1.20	1.06	1.90
4	外銀精錠流	6.76	1.30	0.50	1.50
5	バルク二字銅	17.49	5.30	0.30	1.15
6	12コンテナ錫鉛	6.41	1.55	0.15	1.30
7	金銀ペーパー浮銅	7.36	2.40	0.09	3.55
8	金銀錫鉛	12.24	2.60	0.07	6.58
9	金銀錫鉛	2.56	0.25	0.08	1.05
10	最高品位	1.40	0.10	0.09	0.42
11	銅精銅 #1	7.00	2.30	0.10	5.40
12	銅一等金銀精銅 #2	9.33	5.10	0.09	1.22
			0.200		

Sayapulloの銅硫酸銅試験は、化学分析部に行つて、次の通り記されている。この場合、良い結果を得るために、銅精

銅、高純度より、粗精錠錫鉛が適宜といつた挙げ、他の原因も帰づ。

この問題は、試料の採取、化学分析、精度算出に關係する。

これら、試料の取扱いに充分注意が必要である。実に。

この計算は非常に複雑であり、計算速度と早め、精度を高めた為、
将来、多數の試験と計算せねばならぬから、研究所側にて、ミニ

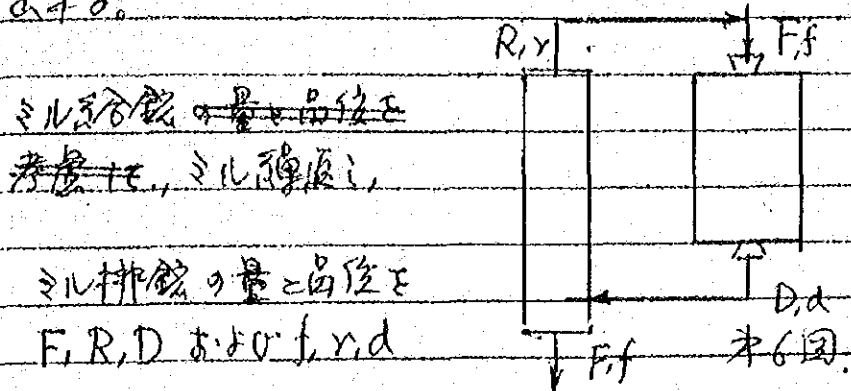
コンピューターを設置して利用せねばならぬのである。

Saga public 磷石處理結果

番 号	物 種	分 布						備 考
		高 度	Cu	Pb	Zn	Mg	Cu	Pb
(三九四號)								
1	之 山 銅 礦	100.0 (5.36) 5.99	1.60	0.15	1.08 (4.00)	100.0	100.0	100.0
2	之 山 銅 礦	175.0 (5.82) 5.25	1.45	0.10 (1.22)	1.13	153.26	158.59	149.0
3.	之 山 磷 鉛	750 (6.76) 5.10	1.80 (1.20)	0.08 (1.40)	63.85	52.59	49.0	82.92
4.	分 級 銅 礦	100.0 (5.99) 5.60	0.15 (0.88)	1.00 (1.00)	100.0	100.0	100.0	
(三九五號)								
4	分 級 銅 礦	100.0 (9.33) 5.99	1.60	0.15	1.08 (1.32)	100.0	100.0	100.0
12	之 山 銅 精 金	21.6 (12.11) 5.67	0.31	1.14	6.24	74.36	74.40	22.72
5	之 山 銅 精 金	22.8 (11.10) 5.30	0.30	1.15	6.52	75.53	45.60	24.16
6	之 山 銅 精 金	1.2 (1.20) 6.41	1.55	0.15	1.30	1.28	1.16	1.20
9	之 山 銅 精 金	78.9 (2.56) 2.66	0.87 (0.08)	1.05 (1.05)	1.07	34.76	25.64	55.60
11	之 山 銅 精 金	10.0 (1.27) 3.92	0.32	5.15	18.80	21.26	19.53	20.81
7	之 山 銅 精 金	15.0 (0.87) 3.17	2.15 (0.09)	3.85 (3.85)	25.54	29.49	16.86	31.12
8	之 山 銅 精 金	5.0 (0.20) 2.24	2.60	0.67	6.58	6.74	8.13	2.33
10	之 山 銅 精 金	68.4 (0.10) 1.90	0.10	0.59	0.42	15.96	4.28	41.07
								26.47
								尾 金

課題 a - ミル分離機回路の計算

ミル分離機の回路のバランスは第6回に従い、その方法により計算出来る。



とする時、次の式に従う。

$$D = R + F$$

$$D_d = R_d + F_f$$

この式から、ミル分離機は次の式で計算される。

$$R = F \frac{d-f}{r-d}$$

534318, $f = 1.60$, $d = 1.45$, $r = 1.20$ を用いて、²⁰この式へ代入
すると 9.81×10^3 は

$$R = 100 \times \frac{1.45 - 1.60}{1.20 - 1.45} = 75\%$$

すなわち、ミル分離機は、ミル分離率75%である。

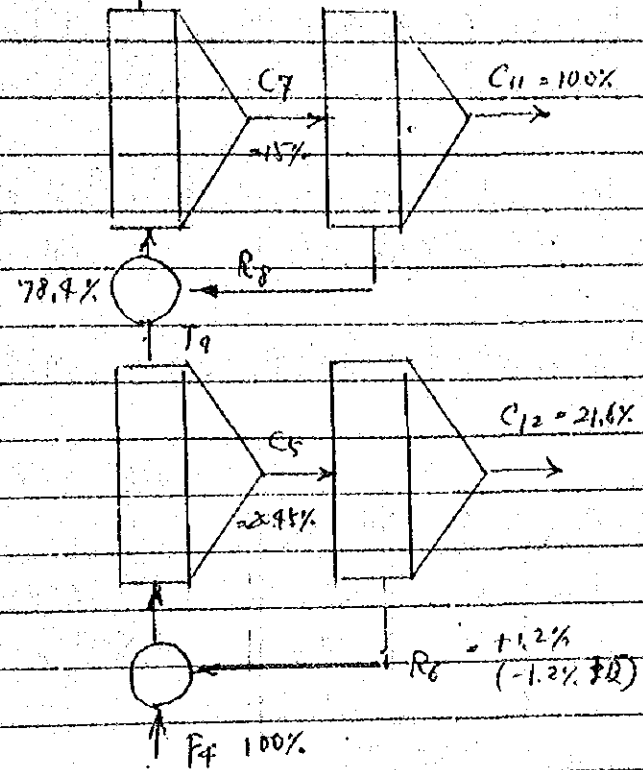
b - 3年運回路の計算

この場合、2種類の前處理方式を応用して高級により、計算する。第7回にて、次の計算を行ふ。

$$F - C_{RC} - T_{RC} (4, 12, 9); C_{RC} - C_{CC} - C_{CR} (5, 12, 6)$$

$$Z_{RF} - Z_{RC} - T_{RC} (9, 11, 10); Z_{RC} - Z_{CC} - Z_{CR} (7, 11, 8)$$

$$T_{10.1} = 68.9\%$$



第9回

$$C = F \frac{f - 1}{c - 1}$$

以上で計算が出来た。結果は第9回に示す。

B) Huámpar 銀鉱山

HUÁMPAR
Huámpar 銀鉱山, Huárochiri 地区の 4,200m レベルにある。
多金属鉱床で、有価元素 Pb, Ag, Zn, Cd が高いため Huámpar

社は、3つ主要鉱床と、Aurelio 鉱山といわれる銀鉱物の高い
12% 鉱床をもつ。工場の鋳造能力は 350T/日で、実際最大
220T/日である。鉱山生産、平均品位 9-13% の下に平野。

商 品	Ag %	Pb %	Zn %	Cu %
合銀 (No. 1 & 2 合成) 1	7.00	2.66	2.16	0.29
合銀 (No. 2 & 3 合成) 2	6.46	2.53	2.16	0.25
銘精銀	102.78	50.76	5.60	5.22
銘尾銀	1.17	0.23	2.33	0.06
銘精銀	8.17	0.73	55.33	0.51
廢石	0.93	0.20	0.40	0.04

1) 第1回試験 (広石中Ag回収試験)

10月 27, 28. および 30 の毎日, Petro-Colqui 工場で
試験され、一般磨石を JICA 2,100t・パレットで実験した。

3日間の合計物を化粧分析して次の結果を得た。

	重 量 kg	品位 Ag %	Ag % 分布
合 銀	240.0	0.75	100.0
精 銀	32.2	3.48	62.17
尾 銀	207.8	0.32	37.83

16) 各日に得られた結果を詳細に次表に示す。

擇 單 白	分離 重量	精銅 重量	精 銅			尾 銅		
			Ag	Fe	Zn	Ag	Fe	Zn
精銅			0.75%					
10月 27日	80	18.4	3.86	10.66	1.59	0.012	3.47	0.15
28日	100	11.4	2.83	9.46	3.38	0.00	2.42	0.12
30日	40	2.4	3.60	8.74	9.18	tr.	3.58	0.07
計	220	32.2						
精選精銅		3.5	24					

Nota) ① バッテ、セルによび處理。

2) 第2回試験

Huamper 銀会社で産出した廢滓の適切な処理を出すため研究検討を経て、3日間 JICA 派遣のミーティングにて実験討論と

行った。この新段階では、廢滓の処理ため試験使用條件、浮選回路の操作若干、要因を変更した。

主要な箇所の篩分析、得られた冶金結果、注釈その他の報文を
集められてる。この処理では、廢滓を投入した結果で、唐銅浮選
が行なれた。

廢銅

前段では、唐銅回路は全系で 7.42 時向掉葉され、220kg の本
ルームに入られ、廢滓試料は 29.65 kg/lv. の値がされた。篩分
された廢滓(3合銅)は次の結果を示した。

mesh	ミクロン	重量%	粗算重量%
+30	600	1.0	99.0
+40	425	5.9	93.1
+100	149	49.1	44.0
+120	125	6.5	37.5
+200	75	12.9	24.6
+325	45	8.7	15.9
-325	-	15.9	-
計	-	100.0	-

スパイラル分級機の濾液は、浮選回路に補給され次の結果
が得られた。

mesh	ミクロン	重量%	粗算重量%
+100	149	0.7	99.3
+120	125	1.0	98.3
+200	75	6.9	91.4
+325	45	13.9	77.5
-325	-	77.5	-
計	-	100.0	-

浮選

浮選回路は、粗選16セル、1バシ、清掃浮選6セル、精選
12セル精金加3段の精選で処理された。用いた試薬と添加剤は
次とある。

pH 5.5を維持された。浮選摩擦力は最終浮選12次、精選8.5、清掃浮選6次、2.5である。

部	薬	消費量 g/kg	添加量
硫酸銅		0.278	ホールミル入口
2070+31		0.092	スパニッシュ紙糊造瓦
MIBC		0.135	" "
サンセード-11		0.147	糊選コンディショナー

最終大石

mesh	ミクロン	重量%	標準重量%
+100	149	0.7	99.3
+120	125	0.8	98.5
+200	75	5.6	92.9
+325	45	115.0	77.9
-325	-	77.9	-
計	-	100.0	-

精餾

mesh	ミクロン	重量%	標準重量%
+100	149	0.1	99.9
+120	125	0.1	99.8
+200	75	0.2	99.6
+325	45	2.1	97.5
-325	-	97.5	-
計	-	-	-

樣 號	重 量 g.	成 分			分 佈 率 %							
		% Cu	% Pb	% Zn	% Fe	Ag	Pt	Cu	Pb	Zn	Fe	Ag
精 銻	100.0	0.03	0.30	1.00	3.80	1.52	100.0	100.0	100.0	100.0	100.0	100.0
廢 銻	4.5	0.37	1.10	8.60	10.00	7.23	63.6	25.7	50.4	12.5	29.9	
總 銻	95.5	0.01	0.15	0.40	8.30	0.80	36.4	74.3	49.6	87.5	79.1	
總 銻 (含銻)	102.0	0.03	0.19	0.77	3.60	1.09	100.0	100.0	100.0	100.0	100.0	
精 銻 定 金 比	22.2											

説明

操業検討の間に観察されたこと、さらに得られた運転成績

から、次、説明がなされた。

- ニュプロセスで、最終精餾槽にスライムが多量あります。

浮遊に引きずることに気が付いた。

- 電気設備における電圧低下によって、 $\text{P} = \text{V}^2 / R$ は感覚的

i. 運転操業の正常は専門家、重大な変更と余儀なくされた。

- 分析より計算された給餾高級の間に Ph, Zn, Ag について、

著しい不一致があった。

勧告

次、勧告が出来る。

- 浮遊処理方法の摩擦は、前記の脱泥操作を入らなければならぬ。

- 操業の専門家、中断をさけられ、電流の電圧を安定させなければならぬ。

- 次、レベルの調整を改善するため精選セルにキロチニ型水槽を取
り付ける必要がある。この型の水槽は粗選・清掃せいで良好な結果
をもたらす。

栗澤方。

V バイロント・プラントに対する将来の検討

A) Tamborague 銀について

"Constancia" 銀山、Tamborague 銀石鉱床と受取り、金の回収増加の可能性を調査したところ以下の如き。

この銀石は標準としての金品位は 1% であるが、工場では、黃銅鉱中に含存する金は、50% 位、廢滓中に失われる。含銀方銅鉱・内西富銅中には有硫化物の回収は良好であるが、含金黃銅鉱・精錬が得られれば、金を分離すれば炉内精錬が導入される。

鉱物

鉱石中に含まれる商業的価値のあるものは、含銀方銅鉱、金および若干の黃銅鉱、均等鉱である。

唐銅

参考資料中の銀石、鉱物学的報告によると、金は大部分黃銅鉱中にあり、硫化銅鉱中に 6% 位まで含まれる。この結果

えたため、浮選に対する商切は單独不融を得たため、唐銅試験を行なわれ、次、第 2 鋼鐵が得られた。

mesh	重量%
+48	0.1
65	0.6
100	6.7
150	12.2
200	12.6
-200	67.8
計	100.0
No.	29

浮遊

オ1回、浮遊試験は、黄銅錠中の金の含有を確かめ、試験に対する

3種類の反応を見たため、自然の pH 7° pH 12° 商業的 pH 9° 53
硫酸化物バルク精錠を濃縮する操作がされた。

得られた Pb-Cu-Ag-Zn バルク浮錠は 2 回精選され、オ1回は自然
pH 7°、オ2回は pH 9° で精選が行われた。オ1回の試験結果
と工場の結果と比較すると、

	Ag %	Au %	Pb %	Zn %	Fe %
Tamborague バルク精錠	0.857	5.00	26.80	11.30	21.00
バルク精錠	1.608	3.80	19.80	17.50	9.19

金が黄銅錠と共に生じている証據は次の化学分析から。

	Ag %	Au %	Pb %	Zn %	Fe %
(精選尾錠) バルク					
バッチ試験	0.300	4.80	4.64	10.21	26.30
バッチ試験黄銅錠精錠	0.210	7.20	1.96	2.02	41.90

錠分析を参考にすると、廃滓中の金の損失は 43.90% から 11.60% に
減り、一方金の平均は廃滓と同様に實際に確められており。

計画

(小口粗粒化錠)
金が黄銅錠と共に生じてゐるが、 La Sociedad Minera

Austria Duraz S.A. は黄銅錠を運んでゐる。そこで研究は、Pb-Ag
Pb-Cu-Ag バルク中の金銀の回収が、可能であるならば、実験

改善するところである。黄銅錠の金の回収研究は、オ1回 Tamborague

銅で引いた薬食銅精錠を分割することも可能である。

B) Tamina銅について

以下に説明される Chaco のモリブデン鉱物、粗銅の多端試験結果の報文に基づき、またこれに現在止得る小所結果を改善するための勧告が考慮されたこととする。

一般的考察

上記による情報で、研究対象鉱物はモリブデンを含む玉ねぎ由来するとの知見がある。モリブデンを含むこの型の銅床は、鉱銅において 0.07 ~ 0.5% MoS₂ の間を含むことが、モリ

ブデンナイト(内モリブデン鉱)の自然浮遊度を利用すれば、場合

処理、標準規格として必要である。

利用されている一般プロセスは、石油、クロエン、燃料油、又は非
揮発性成分の計葉等と浮遊剤と共にモリブデンナイトを浮遊す
ることで、これら計葉、効果は、第2段泡によって生ずる浸透

効果によって論せられている。Clymac は用いられてる Designt
の未だ乳化剤の使用は、前記計葉の浮遊特性を改善するものと

思われる。起泡剤の量では、パイン油が選択性をもつ計葉
として使われている。とはえ、各銅床共、浮遊プロセスの

効率は高い。色々な計葉、組合せ実験的検討によつて得
られたといふ特徴を持つ。

スライム生成量は鉱物特性和影響をうけたため、特に高濃度での
影響を理解するため、疎水ソーラーの分散剤の使用が必要であ

る。PHについては、実験的研究では、セイブサイトは中性ないし
弱アルカリ性の間に変動域で浮遊が改善されることが知られている。

これらの一般的な要因を考慮して、次の表は系統的な実験結果がまとめ
れた。

- 引用された検討

試料の定量分析：精錠は次の値の分析値である。

Cu%	Mo%	Fe%
0.07	0.073	6.57

モリブデンと同じくに金剛から少量の精錠中に見出されましたと見られました。

- 磨錠試験

浮遊に対する適切な $\Theta 200\text{ mesh}$ の%を決定するため、鉱物試料大
量の磨錠時間ごとに測定された。次表はその結果です。

V.B) 表1表

重 量 %

磨錠時間	$\Theta 65\text{m}$	$\Theta 65 \sim +200\text{m}$	$\Theta 200\text{m}$
8 min	2.79	42.57	54.69
12 min	0.59	36.09	63.31
15 min	0.48	28.61	70.91
18 min	0.06	21.27	78.67

12 min以上、磨錠は $\Theta 200\text{mesh}$ の%が過多となる。以下の問題
は $\Theta 200\text{mesh}$ 最大 60% の結果が示す。

一 浮選における磨銅の影響

重つた磨銅度で浮選を行つた。全般にいふ却酸は半回に半分
の方式に従ひ、次のパラメータを一定に保つた。

- PH : 8.2 ; 石灰セコンディヨナーハ作加調整

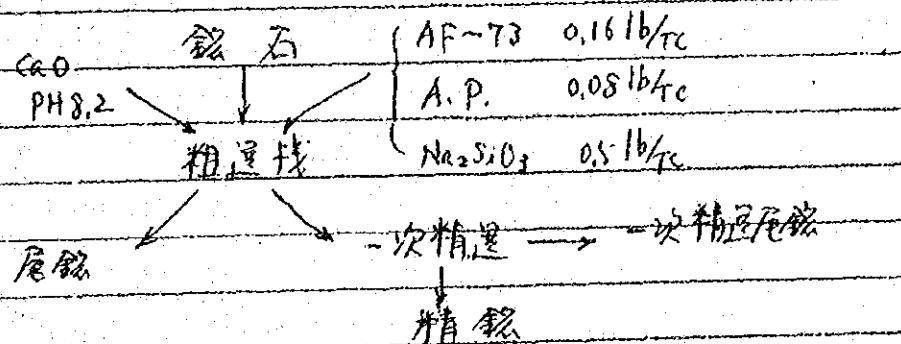
- 起泡剤： パイン油 - AF-73

添加量 0.08 , 0.16 lb/TC を下

- 銀酸ソーダ： 0.5 lb/TC

- コンディショニング時間 5 min, 浮選時間 5 min.

V.B) 第1回



次回は第2回に試験結果を、その詳細を第3, 4, 5, 6表に示す。

V.B) 第2回

試験番号	磨銅度 @200mesh	精銅重量 %	品位			分布率		
			Mn	Cu	Fe	Mn	Cu	Fe
1	54.69	2.43	1.024	1.52	57.92	29.68	45.05	21.12
2	63.31	2.17	3.345	5.09	38.71	42.61	76.36	11.60
3	70.91	1.23	2.744	3.11	36.70	49.24	35.93	5.82
4	78.67	0.47	7.735	7.28	18.94	24.58	46.22	1.49

V.B) 第3表

磨鉄時間 8 min

產物	重量%	品位%			分布率%		
		Mo	Cu	Fe	Mo	Cu	Fe
精 鐵	2.43	1.024	1.52	57.92	29.68	45.05	21.12
一次精選尾鐵	1.34	0.241	0.34	37.60	3.81	5.62	7.16
大 蘭	96.23	0.058	0.042	4.94	66.51	49.33	71.32
並算總鐵		0.083	0.081	6.66			

V.B) 第4表

磨鉄時間 12 min

產物	重量%	品位%			分布率%		
		Mo	Cu	Fe	Mo	Cu	Fe
精 鐵	2.17	3.345	5.090	38.71	42.61	76.36	11.60
一次精選尾鐵	0.83	0.094	0.270	33.76	0.47	1.52	3.87
大 蘭	97.00	0.100	0.033	6.31	56.92	22.12	84.53
並算總鐵		0.170	0.144	7.24			

V.B) 第5表

磨鉄時間 15 min

產物	重量%	品位%			分布率%		
		Mo	Cu	Fe	Mo	Cu	Fe
精 鐵	1.23	2.744	3.110	36.78	44.24	85.43	5.82
一次精選尾鐵	4.42	0.131	0.170	26.35	7.59	6.94	14.97
大 蘭	94.35	0.039	0.066	6.53	48.16	57.63	79.21
並算總鐵		0.076	0.1081	7.77			

V.B) 第6表

磨鉄時間 18 min

產物	重量%	品位%			分布率%		
		Mo	Cu	Fe	Mo	Cu	Fe
精 鐵	0.47	7.735	7.280	18.94	24.58	46.22	1.49
一次精選尾鐵	1.70	0.126	0.440	14.27	1.42	10.14	4.06
大 蘭	97.83	0.112	0.033	5.76	74.00	43.14	99.95
並算總鐵		0.148	0.074	5.966			

一 研銑の解析：モリブデン精銑を7%の角度まで運びしめ3回にて、
Φ200 mesh %は高いとか必要なだけ用いてある。これは、この
多量、スライム量をつぶすが原因となり、試料を多く消耗し、時間も
消費する。

また、捕收剤を用いていたいれを抱えず、黄銅銑が多く浮くので
黒い水了。これはパイン油およびエロフロス73の捕收剤によると

① あらひ付 黄銅銑-モリブデンナイトの密は3共生によるとある。
磨銑度を高めた時、浮遊中のFe, Cu, 角度は高まらず、これは
後者の推定を破壊するのである。他の特徴としてわかるでは
のは、試験浮遊中に大粒のモリブデンナイトが全く單体形で存在
(2~3ミリ)している。これは思ふに、モリブデンナイトが硬か低
<、非常にフレキシブルであることがうなづかれる。この事は主に
適当な手段はつかつた。

一 劝告

これらの結果はバッチ規模、試験は130kg、JICAは3=
70.5メートルにて検討を行はべきである。

VI パイロット・プランで最も良く用いられたものの考察

以上述べた例は見えた限り、このパイロット・プランは色々な形で使
こど出来る。即ち

- 1) 種々の毒物の分離; 例3は "Cu, Pb, Zn" の分離。
- 2) 2種物の回収; 例3は銅、亜鉛、二精鉱を得ること。

3) ハルク浮選+実施; 例3は全硫化物のハルク精鉱を得ること。
これら、精鉱を得るために、プロセスは、一般に大体同じである。

たゞ3, その処理に対する取扱いは若干異なり、処理が易い順位は
3) > 2) > 1) の順である。

すなわち、1)においては、良い結果を得るためにまずその処理段
序が存在する。次々に多くの分離を行ふため、パイロット・プラン
におけるその処理に立ち、その諸条件決定の上り、小規模の複数
の試験を行ふ必要がある。

これは3)から3), 3)の場合、その選択性の高い條件は非常に單順で
処理は非常に易しい。

パイロット・プランにおいて、各種器は一定の機能を果していながら、
實際には、かつてフレキシブルに利用される必要がある。最も良い
使い方をするため、パイロット・プランの使用者は、プロセスにより
高い結果を得たことが出来た際、新しい機器を補充することが
必要である。このプロセスの充実機器は、次の如きが
考えられる。

A) 再磨銅法

浮選回路において特に必要なものあるこの再磨銅段階について

次のよう入手する必要がある。ボールミル1, サイクロン2, ポンプ1,
ミックター1, フラッシュパーカーその他補充部品。

B) 試料用沪槽室

パイロット・プラントにおける浮選プロセスにおいて、回路の色々な

点で多くの代表的試料を採取する必要がある。これらは試
料口含みの水部分を除去するため用いる沪槽システムの利用が

必要となる。二つ方式で採り利用している循環流式實際に容易
に改善される。又これは上記試料を乾燥するため、密閉した乾

燥室と補う必要がある。

C) 分析

更によりサービスを行ひ、選鉱工程を効率的に行なうために

浮選回路の鍵となる。直接的の情報で提供されるX線
分析装置と、化学分析結果、デジタル化を考慮する必要がある。

D) パイロット・プラントに対する部品

プラント使用にて损耗した場合、常に修理できることが必

要であり、この意味でこれらのサービスを効率的に且確実的
に提供するためには必要な基本的部品リストを掲げる。

浮選セル用モーター 3

ポンプ用モーター 2

通用減速モーター 2

床シガ用ヒートルバイン 12箱(特製品)

(フロント準備 滞留)

(署名者)

JICA 銀山保安ミッション

チーフ アドバイサー	源田 高正
専門家	千村 和弘
	中村 明
	谷口 永恭
	鍵和田 鉄男

地質銀山冶金研究所(INGEMMET)

冶金部長	Ing. ELEUTERIO LEON R.
	Ing. AQUILES FIGUEROA L.
	Ing. EDGAR PERALTA V.
	Ing. ERASMO JOAQUIN V.

以 上

